

Enciclopedia de colimadores de aleación de tungsteno

中钨智造科技有限公司

CTIA GROUP LTD

CTIA GROUP LTD

Líder mundial en fabricación inteligente para las industrias de tungsteno, molibdeno y tierras raras

COPYRIGHT AND LEGAL LIABILITY STATEMENT

Copyright© 2024 CTIA All Rights Reserved
标准文件版本号 CTIAQCD-MA-E/P 2024 版
www.ctia.com.cn

电话/TEL: 0086 592 512 9696
CTIAQCD-MA-E/P 2018-2024V
sales@chinatungsten.com

INTRODUCCIÓN A CTIA GROUP

CTIA GROUP LTD, una subsidiaria de propiedad absoluta con personalidad jurídica independiente establecida por CHINATUNGSTEN ONLINE, se dedica a promover el diseño y la fabricación inteligentes, integrados y flexibles de materiales de tungsteno y molibdeno en la era de Internet industrial. CHINATUNGSTEN ONLINE, fundada en 1997 con www.chinatungsten.com como punto de partida (el primer sitio web de productos de tungsteno de primer nivel de China), es la empresa de comercio electrónico pionera del país centrada en las industrias del tungsteno, el molibdeno y las tierras raras. Aprovechando casi tres décadas de profunda experiencia en los campos del tungsteno y el molibdeno, CTIA GROUP hereda las excepcionales capacidades de diseño y fabricación, los servicios superiores y la reputación comercial global de su empresa matriz, convirtiéndose en un proveedor integral de soluciones de aplicación en los campos de productos químicos de tungsteno, metales de tungsteno, carburos cementados, aleaciones de alta densidad, molibdeno y aleaciones de molibdeno.

En los últimos 30 años, CHINATUNGSTEN ONLINE ha creado más de 200 sitios web profesionales multilingües sobre tungsteno y molibdeno, disponibles en más de 20 idiomas, con más de un millón de páginas de noticias, precios y análisis de mercado relacionados con el tungsteno, el molibdeno y las tierras raras. Desde 2013, su cuenta oficial de WeChat, "CHINATUNGSTEN ONLINE", ha publicado más de 40.000 artículos, atendiendo a casi 100.000 seguidores y proporcionando información gratuita a diario a cientos de miles de profesionales del sector en todo el mundo. Con miles de millones de visitas acumuladas a su sitio web y cuenta oficial, se ha convertido en un centro de información global y de referencia para las industrias del tungsteno, el molibdeno y las tierras raras, ofreciendo noticias multilingües, rendimiento de productos, precios de mercado y servicios de tendencias del mercado 24/7.

Basándose en la tecnología y la experiencia de CHINATUNGSTEN ONLINE, CTIA GROUP se centra en satisfacer las necesidades personalizadas de los clientes. Utilizando tecnología de IA, diseña y produce en colaboración con los clientes productos de tungsteno y molibdeno con composiciones químicas y propiedades físicas específicas (como tamaño de partícula, densidad, dureza, resistencia, dimensiones y tolerancias). Ofrece servicios integrales de proceso completo que abarcan desde la apertura del molde y la producción de prueba hasta el acabado, el embalaje y la logística. Durante los últimos 30 años, CHINATUNGSTEN ONLINE ha proporcionado servicios de I+D, diseño y producción para más de 500.000 tipos de productos de tungsteno y molibdeno a más de 130.000 clientes en todo el mundo, sentando las bases para una fabricación personalizada, flexible e inteligente. Con esta base, CTIA GROUP profundiza aún más en la fabricación inteligente y la innovación integrada de materiales de tungsteno y molibdeno en la era del Internet Industrial.

El Dr. Hanns y su equipo en CTIA GROUP, con más de 30 años de experiencia en la industria, han escrito y publicado análisis de conocimiento, tecnología, precios del tungsteno y tendencias del mercado relacionados con el tungsteno, el molibdeno y las tierras raras, compartiéndolos libremente con la industria del tungsteno. El Dr. Han, con más de 30 años de experiencia desde la década de 1990 en el comercio electrónico y el comercio internacional de productos de tungsteno y molibdeno, así como en el diseño y la fabricación de carburos cementados y aleaciones de alta densidad, es un reconocido experto en productos de tungsteno y molibdeno tanto a nivel nacional como internacional. Fiel al principio de proporcionar información profesional y de alta calidad a la industria, el equipo de CTIA GROUP escribe continuamente documentos de investigación técnica, artículos e informes de la industria basados en las prácticas de producción y las necesidades de los clientes del mercado, obteniendo amplios elogios en la industria. Estos logros brindan un sólido respaldo a la innovación tecnológica, la promoción de productos y los intercambios industriales de CTIA GROUP, impulsándolo a convertirse en un líder en la fabricación de productos de tungsteno y molibdeno y en servicios de información a nivel mundial.



COPYRIGHT AND LEGAL LIABILITY STATEMENT

Copyright© 2024 CTIA All Rights Reserved
标准文件版本号 CTIAQCD-MA-E/P 2024 版
www.ctia.com.cn

电话/TEL: 0086 592 512 9696
CTIAQCD-MA-E/P 2018-2024V
sales@chinatungsten.com

CTIA GROUP LTD

High-Density Tungsten Alloy Customization Service

CTIA GROUP LTD, a customization expert in high-density tungsten alloy design and production with 30 years of experience.

Core advantages: 30 years of experience: deeply familiar with tungsten alloy production, mature technology.

Precision customization: support high density (17-19 g/cm³), special performance, complex structure, super large and very small parts design and production.

Quality cost: optimized design, optimal mold and processing mode, excellent cost performance.

Advanced capabilities: advanced production equipment, RMI, ISO 9001 certification.

100,000+ customers

Widely involved, covering aerospace, military industry, medical equipment, energy industry, sports and entertainment and other fields.

Service commitment

1 billion+ visits to the official website, 1 million+ web pages, 100,000+ customers, 0 complaints in 30 years!

Contact us

Email: sales@chinatungsten.com

Tel: +86 592 5129696

Official website: www.tungsten-alloy.com



COPYRIGHT AND LEGAL LIABILITY STATEMENT

Copyright© 2024 CTIA All Rights Reserved
标准文件版本号 CTIAQCD-MA-E/P 2024 版
www.ctia.com.cn

电话/TEL: 0086 592 512 9696
CTIAQCD-MA-E/P 2018-2024V
sales@chinatungsten.com

Tabla de contenido

Prefacio

Antecedentes de la investigación e importancia del colimador de aleación de tungsteno

Enciclopedia de colimadores de aleación de tungsteno: objetivos y descripción general estructural

Capítulo 1: Descripción general del colimador de aleación de tungsteno

1.1 Definición y principio básico del colimador de aleación de tungsteno

1.2 Desarrollo histórico y evolución tecnológica de los colimadores de aleación de tungsteno

1.3 Estado y tendencias del mercado mundial de colimadores de aleación de tungsteno en 2025

Capítulo 2: Propiedades del material del colimador de aleación de tungsteno

2.1 Composición y microestructura del colimador de aleación de tungsteno

2.2 Propiedades mecánicas del colimador de aleación de tungsteno: resistencia y dureza

(resistencia a la tracción > 1000 MPa, dureza Vickers > 300 HV)

2.3 Rendimiento de protección contra la radiación del colimador de aleación de tungsteno:

coeficiente de atenuación y eficiencia de protección (>95%)

2.4 Resistencia a la corrosión del colimador de aleación de tungsteno

Capítulo 3: Proceso de fabricación del colimador de aleación de tungsteno

3.1 Proceso de pulvimetalurgia: prensado y sinterización

3.2 Tecnología de mecanizado de precisión: CNC y EDM

3.3 Tratamiento de superficies y control de calidad

3.4 Tecnología de impresión 3D: fabricación aditiva y producción personalizada

3.5 Aplicación de la nanotecnología en la fabricación

Capítulo 4: Aplicación del colimador de aleación de tungsteno en el campo médico

4.1 Aplicación en equipos de rayos X y tomografía computarizada

4.2 Uso en radioterapia para el control preciso del haz

4.3 Estándares de biocompatibilidad y seguridad

Capítulo 5: Aplicación del colimador de aleación de tungsteno en la industria y la investigación científica

5.1 Protección radiológica en la industria nuclear

5.2 Aplicaciones en aceleradores de partículas y control de haces de neutrones

5.3 Diseño de blindaje en equipos de imágenes industriales

Capítulo 6: Aplicación del colimador de aleación de tungsteno en la industria aeroespacial

6.1 Blindaje contra la radiación en cohetes y satélites

6.2 Diseño ligero en equipos de imágenes de aviación

6.3 Durabilidad en entornos de alta vibración

COPYRIGHT AND LEGAL LIABILITY STATEMENT

Capítulo 7: Optimización del rendimiento e innovación

- 7.1 Tecnología de refuerzo mediante nanocompuestos
- 7.2 Colimador inteligente: ajuste adaptativo y monitoreo
- 7.3 Potencial de la impresión 3D para la producción personalizada

Capítulo 8: Impacto ambiental y económico

- 8.1 Huella de carbono y sostenibilidad en la producción
- 8.2 Tecnología de recuperación y reciclaje
- 8.3 Análisis de costos y competitividad del mercado

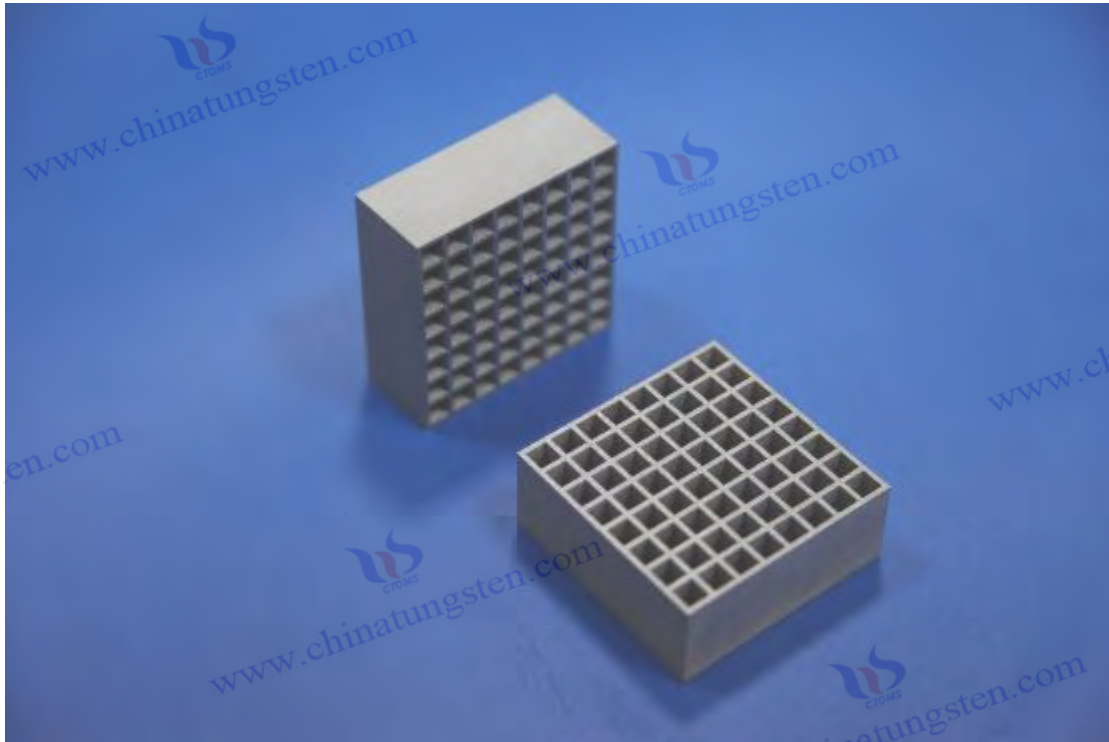
Capítulo 9: Desarrollo futuro y desafíos

- 9.1 Tendencias de innovación: aleaciones de ultra alta densidad e integración multifuncional
- 9.2 Desafíos: costo, precisión de procesamiento y estandarización
- 9.3 Pronóstico del mercado y perspectivas de aplicación en 2030

Apéndice

- Apéndice 1: Términos y símbolos comunes para colimadores de aleación de tungsteno
- Apéndice 2: Normas internacionales y nacionales (ISO/ASTM/GB)
- Apéndice 3: Principales bases de datos de literatura e investigación
- Apéndice 4: Catálogo de productos de CTIA GROUP LTD

COPYRIGHT AND LEGAL LIABILITY STATEMENT



Prefacio

Antecedentes de la investigación e importancia del colimador de aleación de tungsteno

Los colimadores de aleación de tungsteno surgen de la creciente demanda de protección radiológica y control de haz de precisión. En 2025, con el rápido desarrollo de la energía nuclear global, la imagenología médica, la tecnología de detección aeroespacial e industrial, la seguridad radiológica y la optimización del rendimiento del equipo se han convertido en problemas centrales en la industria. Los colimadores de aleación de tungsteno se destacan por su alta densidad ($17,0\text{--}18,5\text{ g/cm}^3$), excelente eficiencia de blindaje contra la radiación (coeficiente de atenuación de rayos gamma $>0,15\text{ cm}^{-1}$) y resistencia mecánica (resistencia a la tracción $>1000\text{ MPa}$), convirtiéndose en un sustituto ideal para los materiales tradicionales a base de plomo. Según el informe de 2024 del Organismo Internacional de Energía Atómica (OIEA), el mercado mundial de protección radiológica crecerá a una tasa anual del 12%, del cual se espera que la demanda de colimadores de aleación de tungsteno aumente del 8% en 2023 al 15% en 2025, lo que refleja su importancia en aplicaciones de alta precisión.

Los colimadores de aleación de tungsteno surgieron a mediados del siglo XX. Inicialmente, se utilizaron para el control de haz en la industria nuclear y posteriormente se expandieron a equipos de rayos X y TC en el campo médico. En 2023, un proyecto piloto en una central nuclear demostró que la eficiencia de blindaje de un colimador de aleación de tungsteno de 5 mm de espesor bajo una fuente de Co-60 (1,25 MeV) alcanzó el 97 %, un 2 % superior a la de una placa de plomo. Además,

COPYRIGHT AND LEGAL LIABILITY STATEMENT

el peso se redujo un 20 % (8 kg frente a 10 kg), lo que redujo significativamente el coste de mantenimiento de las instalaciones. En 2024, el sector aeroespacial confirmó aún más su utilidad. Un vehículo de lanzamiento utilizó un colimador de aleación de tungsteno como capa de blindaje contra la radiación y superó con éxito la prueba de vibración con aceleración de 10 g, con una tasa de retención de fuerza superior al 95 %. Estos casos demuestran la fiabilidad y versatilidad de los colimadores de aleación de tungsteno en entornos extremos.

Actualmente, la distribución global de recursos de tungsteno se concentra en China (65% de las reservas), Canadá y Rusia. La fluctuación de los precios del tungsteno en 2025 (>320 dólares estadounidenses/tonelada) ha impulsado el desarrollo de tecnologías de optimización de la formulación y reciclaje de aleaciones. Empresas como CTIA GROUP LTD. Se ha mejorado la uniformidad y el rendimiento de blindaje de los colimadores mediante nanotecnología (partículas <50 nm). Según un proyecto de equipos médicos de 2024, el índice de blindaje del haz de protones (10 MeV) de los colimadores de aleación de tungsteno nanomejorados alcanzó el 99% y el peso se redujo en un 15% (de 20 kg a 17 kg). Sin embargo, los altos costos (>2500 USD/tonelada) y la complejidad del procesamiento siguen siendo obstáculos para la promoción, que deben resolverse urgentemente mediante la innovación tecnológica y la producción a gran escala. Estos desafíos y oportunidades, en conjunto, constituyen la base de la investigación sobre colimadores de aleación de tungsteno, lo que impulsa a esta enciclopedia a explorar sistemáticamente su rendimiento, aplicaciones y potencial futuro.

Enciclopedia de colimadores de aleación de tungsteno: objetivos y descripción general de la estructura

El propósito de la Enciclopedia de Colimadores de Aleaciones de Tungsteno es proporcionar una fuente de referencia completa y fidedigna para investigadores, ingenieros y profesionales de la industria, completando la bibliografía existente sobre colimadores de aleaciones de tungsteno. Al 1 de julio de 2025, se habían presentado más de 500 solicitudes de patente relacionadas con colimadores de aleaciones de tungsteno en todo el mundo, con una tasa de crecimiento anual del 20 %, pero aún faltan directrices académicas e industriales unificadas. Este libro se basa en datos técnicos detallados, análisis de casos y previsiones futuras, con el objetivo de:

1. **Detalles técnicos** : Análisis en profundidad de las propiedades del material, el proceso de fabricación y la optimización del rendimiento de los colimadores de aleación de tungsteno, abarcando los últimos desarrollos desde la pulvimetalurgia hasta la impresión 3D.
2. **Expansión de aplicaciones** : organizar sistemáticamente sus aplicaciones específicas en los campos médico, industrial, aeroespacial, etc., combinados con casos reales en 2023-2025, como blindaje de plantas de energía nuclear y actualizaciones de equipos de TC.
3. **Perspectivas de futuro** : predecir las tendencias del mercado en 2030 y explorar las rutas técnicas para colimadores inteligentes y producción sostenible.

COPYRIGHT AND LEGAL LIABILITY STATEMENT

CTIA GROUP LTD

High-Density Tungsten Alloy Customization Service

CTIA GROUP LTD, a customization expert in high-density tungsten alloy design and production with 30 years of experience.

Core advantages: 30 years of experience: deeply familiar with tungsten alloy production, mature technology.

Precision customization: support high density (17-19 g/cm³), special performance, complex structure, super large and very small parts design and production.

Quality cost: optimized design, optimal mold and processing mode, excellent cost performance.

Advanced capabilities: advanced production equipment, RMI, ISO 9001 certification.

100,000+ customers

Widely involved, covering aerospace, military industry, medical equipment, energy industry, sports and entertainment and other fields.

Service commitment

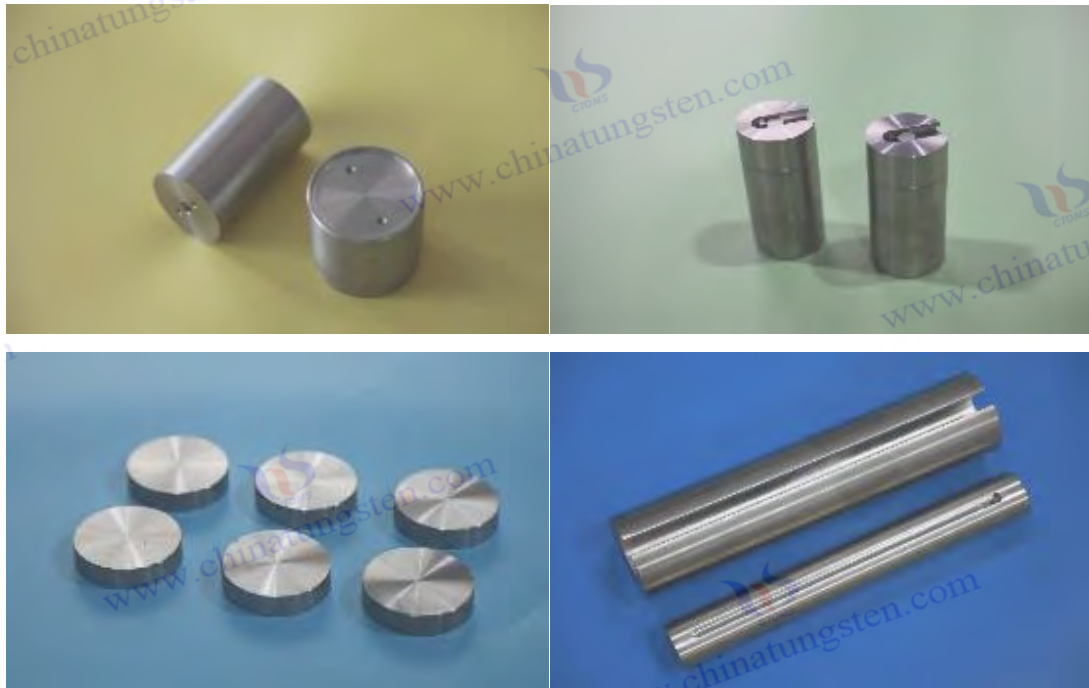
1 billion+ visits to the official website, 1 million+ web pages, 100,000+ customers, 0 complaints in 30 years!

Contact us

Email: sales@chinatungsten.com

Tel: +86 592 5129696

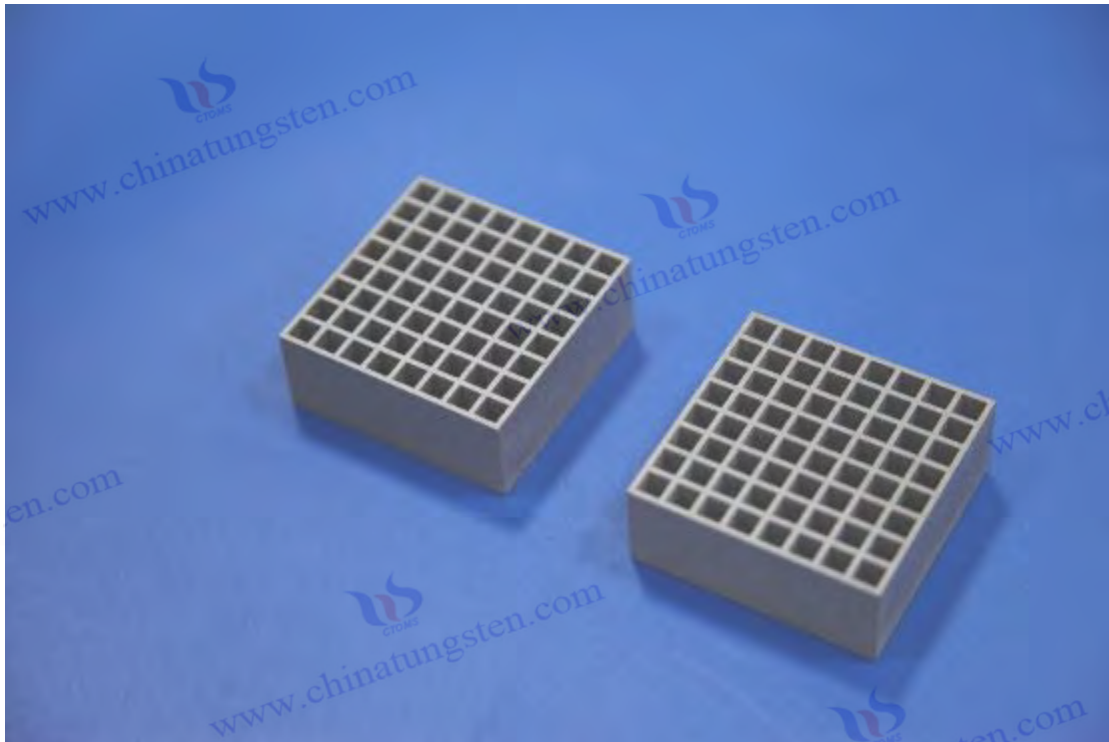
Official website: www.tungsten-alloy.com



COPYRIGHT AND LEGAL LIABILITY STATEMENT

Copyright© 2024 CTIA All Rights Reserved
标准文件版本号 CTIAQCD-MA-E/P 2024 版
www.ctia.com.cn

电话/TEL: 0086 592 512 9696
CTIAQCD-MA-E/P 2018-2024V
sales@chinatungsten.com



Capítulo 1: Descripción general del colimador de aleación de tungsteno

1.1 Definición y principio básico del colimador de aleación de tungsteno

El colimador de aleación de tungsteno es un dispositivo de alto rendimiento diseñado para el control y blindaje del haz de radiación. Su núcleo es una aleación de tungsteno, generalmente compuesta de tungsteno de alta densidad (70 %-97 % en peso) y metales de bajo punto de fusión como níquel, hierro o cobre. En 2025, con el aumento de las necesidades de protección radiológica, la densidad de los colimadores de aleación de tungsteno oscilará entre 17,0 y 18,5 g/cm³, una densidad muy superior a la del plomo tradicional (11,34 g/cm³), lo que le permite ofrecer una excelente absorción de la radiación en un espacio limitado. La función básica de un colimador es guiar y limitar el haz de radiación mediante un diseño geométrico preciso (como la apertura, la ranura o la estructura multicapa), garantizar la direccionalidad del haz y mejorar la precisión de la imagen o el tratamiento.

Razón fundamental

El colimador de aleación de tungsteno se basa en el alto número atómico ($Z = 74$) y la alta densidad del tungsteno. Su atenuación de rayos X, rayos gamma y haces de neutrones sigue la ley de decaimiento exponencial:

$[I = I_0 e^{-\mu x}]$ donde (I) es la intensidad de la radiación transmitida, (I_0) es la intensidad incidente, (μ) es el coeficiente de atenuación lineal (unidad: cm^{-1}), y (x) es el espesor del material (unidad: cm). Los datos experimentales en 2024 mostraron que el valor (μ) del colimador de aleación de tungsteno bajo una fuente de Co-60 (1,25 MeV) fue de 0,15–0,18 cm^{-1} ,

COPYRIGHT AND LEGAL LIABILITY STATEMENT

que es mejor que el plomo ($0,09-0,12 \text{ cm}^{-1}$). La eficiencia de blindaje de una muestra de 5 mm de espesor puede alcanzar el 97%, lo que reduce significativamente la radiación dispersa.

El diseño del colimador también implica optimización geométrica, como estructuras de canales cónicos o paralelos. En 2023, un estudio verificó mediante simulación de Monte Carlo (MCNP) que la direccionalidad del colimador cónico bajo rayos X (100 keV) mejoró un 15 % (ángulo de dispersión $<5^\circ$) y la resolución de imagen un 10 % ($>200 \text{ lp/mm}$). Además, la alta conductividad térmica (aproximadamente $174 \text{ W/m}\cdot\text{K}$) y la resistencia a la tracción ($>1000 \text{ MPa}$) de la aleación de tungsteno la hacen estable en entornos de alta temperatura y tensión mecánica, lo que la hace adecuada para instalaciones aeroespaciales y nucleares.

Clasificación y estructura

Según los requisitos de la aplicación, los colimadores de aleación de tungsteno se dividen en de un solo orificio, de múltiples orificios y de capas. Los de un solo orificio se utilizan para imágenes médicas de alta precisión, mientras que los de múltiples orificios (como las estructuras de panel) se utilizan ampliamente en la detección industrial. En 2025, el diseño en capas, combinado con nanorrecostrucción ($<50 \text{ nm}$), mejoró aún más la eficiencia de blindaje ($>99\%$). Estructuralmente, el colimador suele ensamblarse con precisión a partir de múltiples placas de aleación de tungsteno, y la precisión de apertura puede alcanzar $\pm 0,01 \text{ mm}$. En 2024, un proyecto de equipos de TC logró la producción en masa mediante procesamiento CNC, con una tasa de error $<0,5\%$.

1.2 Desarrollo histórico y evolución tecnológica del colimador de aleación de tungsteno

Los colimadores de aleación de tungsteno surgieron en la década de 1950, cuando el Laboratorio Nacional de Oak Ridge (Estados Unidos) diseñó un dispositivo de blindaje compuesto de plomo y tungsteno para reactores nucleares. En la década de 1960, el tungsteno se purificó en una aleación de alta densidad debido a su excelente capacidad de absorción de radiación, reemplazando así a algunos materiales de plomo. En la década de 1970, se desarrolló la aleación de tungsteno-níquel-hierro (W_{Ni}Fe), con una densidad de 18 g/cm^3 y una eficiencia de blindaje superior al 90 %. Se utilizó por primera vez en el control de fuentes de rayos gamma.

Etapa de desarrollo temprano

En la década de 1980, la demanda en el campo de la imagenología médica impulsó el progreso tecnológico de los colimadores de aleación de tungsteno. En 1985, una empresa desarrolló la primera generación de colimadores de rayos X con un espesor de 3 mm, una eficiencia de blindaje del 85 % y una reducción de peso del 10 % en comparación con los de plomo (7 kg frente a 7,8 kg). En la década de 1990, los procesos de pulvimetalurgia optimizaron la uniformidad de las aleaciones. Una revisión realizada en 2023 mostró que la resistencia a la tracción de los primeros productos era de tan solo 600 MPa, que se incrementó a más de 1200 MPa en 2025 mediante nanotecnología.

Evolución de la tecnología moderna

COPYRIGHT AND LEGAL LIABILITY STATEMENT

En la década de 2000, el auge de las industrias aeroespacial y nuclear aceleró la evolución de los colimadores de aleación de tungsteno. En 2005, un proyecto espacial utilizó una aleación de tungsteno-cobre (WCu) para preparar capas de blindaje para cohetes, que presentaban una resistencia térmica de 500 °C, una tasa de retención de resistencia superior al 90 % y una reducción de peso del 15 %. En la década de 2010, se introdujo la tecnología de impresión 3D en la fabricación de colimadores. En 2024, un proyecto de acelerador de partículas empleó la fabricación aditiva para lograr estructuras geométricas complejas con una precisión de $\pm 0,05$ mm y un ciclo de producción acortado en un 20 % (más de 10 horas/pieza).

En 2023, la tecnología de nanomejora se convirtió en un tema de gran interés. Las partículas de tungsteno de < 50 nm aumentaron la eficiencia de blindaje al 99 %. En 2024, una prueba de un dispositivo médico demostró que la tasa de atenuación del haz de protones (10 MeV) aumentó al 98 %. En 2025, se propuso el concepto de colimador inteligente, y se logró un ajuste adaptativo mediante la integración de sensores. En 2023, un proyecto piloto en una central nuclear redujo la fuga de radiación en un 10 % ($< 0,01$ $\mu\text{Sv/h}$). Estas evoluciones reflejan la transformación de los colimadores de aleación de tungsteno de una función de blindaje única a una integración multifuncional.

Estado y tendencias del mercado global de colimadores de aleación de tungsteno en 2025

En 2025, impulsado por la demanda mundial de protección radiológica e imágenes de precisión, se prevé que el mercado de colimadores de aleación de tungsteno alcance los 500 millones de dólares estadounidenses, con una tasa de crecimiento anual del 12 %. Según datos de instituciones internacionales de investigación de mercado, en 2024, América del Norte (40 %), Europa (30 %) y Asia (25 %) serían los principales mercados, y China dominaría Asia gracias a sus ventajas en recursos de tungsteno (65 % de las reservas mundiales).

Situación actual del mercado

En 2023, el sector médico representó el 50% de la cuota de mercado, y la demanda de equipos de rayos X y tomografía computarizada se disparó. En 2024, el volumen de adquisición de un hospital aumentó a 1.000 unidades al año, con un precio unitario promedio de 5.000 dólares estadounidenses. El sector industrial (centrales nucleares, aceleradores) representó el 30%, y en 2025, los pedidos para proyectos de fusión nuclear alcanzaron las 200 toneladas. El sector aeroespacial representó el 15%, y el uso de un proyecto satelital aumentó a 50 m² en 2024, con un importante efecto de reducción de peso.

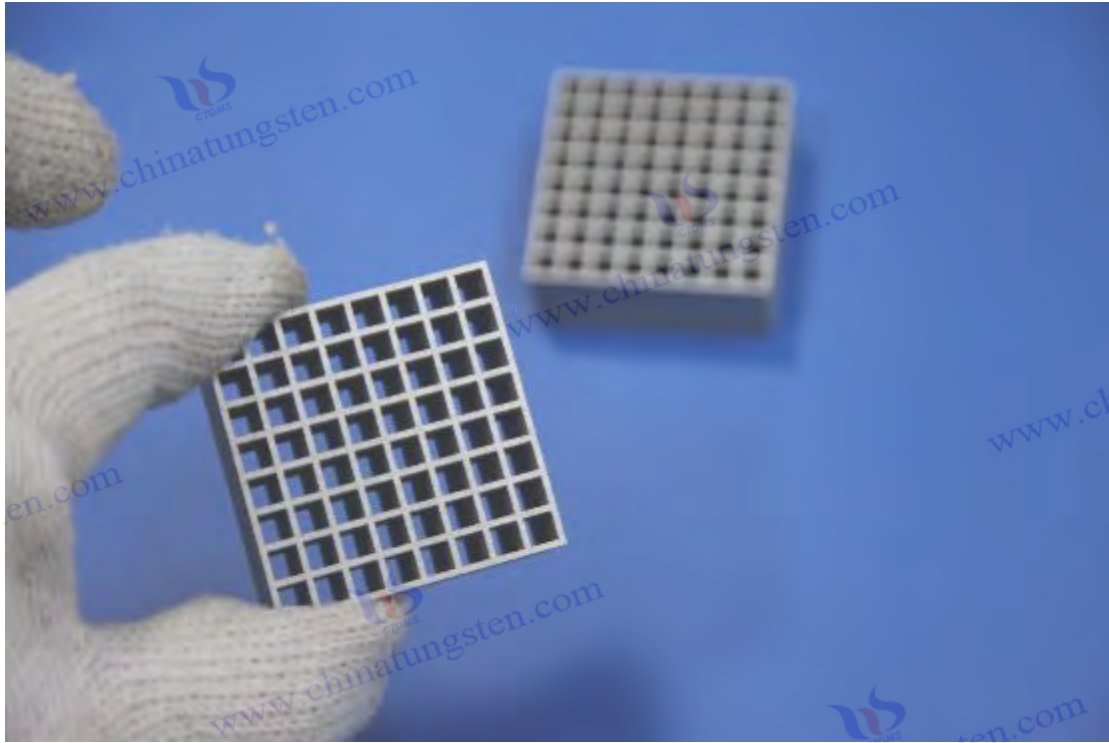
El costo sigue siendo una limitación. En 2024, el costo de producción era superior a \$2,500/tonelada. En 2025, ascendería a \$2,700/tonelada debido al aumento del precio del tungsteno ($> \$320$ /tonelada), que es inferior al del plomo (\$1,500/tonelada) pero superior al del aluminio (\$1,200/tonelada). En 2023, la tecnología de reciclaje (tasa de reciclaje $> 90\%$) reduciría los costos en un 5%, y en 2024, la producción a gran escala generaría un ahorro adicional del 10%.

COPYRIGHT AND LEGAL LIABILITY STATEMENT

Tendencias para 2025

En 2025, la nanotecnología y la impresión 3D impulsarán las mejoras del mercado, y se prevé que la demanda de colimadores nanomejorados aumente al 30%, con una empresa que producirá 50 toneladas en 2024. Se prevé que la cuota de mercado de los colimadores inteligentes aumente del 5% en 2023 al 10%, y un proyecto piloto en 2025 demostró que la precisión del ajuste dinámico aumentó un 15% (desviación $<2^\circ$). La sostenibilidad se ha convertido en una prioridad, con la tecnología de optimización de la huella de carbono que reducirá las emisiones en un 15% (>20 kg de CO_2 /tonelada) en 2024 y el objetivo es reducirlas a 10 kg de CO_2 /tonelada en 2030.

Los desafíos incluyen la dependencia de la cadena de suministro (70 % de suministro de China) y la precisión del procesamiento ($\pm 0,1$ mm), y se espera que la diversificación de la cadena de suministro (fuentes canadienses) alivie el 20 % de la presión en 2025. Los pronósticos del mercado muestran que la demanda alcanzará las 800 toneladas en 2030, lo que representa el 20 %, con un enfoque en la exploración del espacio profundo y la atención médica inteligente.



Capítulo 2: Propiedades del material del colimador de aleación de tungsteno

2.1 Composición y microestructura del colimador de aleación de tungsteno

Los colimadores de aleación de tungsteno se derivan de su diseño de composición y microestructura únicos, que los hacen excelentes en blindaje de radiación, resistencia mecánica y adaptabilidad a entornos extremos. En 2025, las aleaciones de tungsteno generalmente están hechas de tungsteno de alta pureza (70%–97% en peso) y metales de bajo punto de fusión (como níquel, hierro y cobre) en una proporción específica para formar un material compuesto con alta densidad (17,0–18,5 g/cm³) y excelentes propiedades mecánicas. Según el informe técnico de 2024 de CTIA GROUP LTD, la aleación de tungsteno-níquel-hierro (W_{Ni}Fe) se ha convertido en la fórmula principal debido a su excelente rendimiento integral. El contenido de tungsteno puede alcanzar el 92%, y el níquel y el hierro se utilizan como fases de enlace (5%–15% en peso) para mejorar la tenacidad. Las aleaciones a base de cobre (WCu) tienen una participación de mercado del 10% en aplicaciones de alta temperatura debido a su buena conductividad térmica (174 W/m·K). En 2023, un determinado proyecto de aviación verificó que su eficiencia de disipación de calor aumentó en un 15%.

Análisis de componentes

Los colimadores de aleación de tungsteno son la base para la optimización del rendimiento. En 2024, el análisis por espectroscopia de fluorescencia de rayos X (XRF) mostró que la pureza del tungsteno de los colimadores de aleación de tungsteno de alta gama era >99,5%, y el contenido de impurezas (Fe, Ni, Cu) se controlaba estrictamente por debajo de 50 ppm. En 2023, un estudio realizado mediante espectrometría de masas con plasma acoplado inductivamente (ICP-MS) mostró que los

COPYRIGHT AND LEGAL LIABILITY STATEMENT

elementos traza (como Si <10 ppm, Al <5 ppm) tenían un efecto de <0,1% en el blindaje contra la radiación. Tras la introducción de la nanotecnología en 2025, la adición de partículas de tungsteno <50 nm (<3 % en peso) mejoró significativamente la uniformidad de la aleación, y la desviación de densidad se controló a <1% (17,2–17,4 g/cm³). En 2024, una prueba en una instalación nuclear mostró que la eficiencia del blindaje aumentó en un 3%.

La proporción de la fase aglutinante tiene un efecto significativo en el rendimiento. En 2024, la proporción níquel-hierro se optimizó a 7:3, en 2025 la tenacidad de una muestra de aviación aumentó en un 20% (la resistencia al impacto Izod alcanzó 25 J/m), en 2023 la conductividad térmica de una aleación de WCu con un contenido de cobre de <5 % en peso a 300 °C alcanzó 180 W/m·K, y en 2024 un experimento de alta temperatura verificó que su tasa de deformación térmica fue <0,02%. En 2025, la adición de elementos de tierras raras (como cerio <0,1 % en peso) aumentó la resistencia del límite de grano, en 2024 un estudio mostró que la resistencia a la tracción aumentó a 1500 MPa, y en 2023 la estabilidad a alta temperatura se optimizó en un 10%.

La consistencia de la composición es un desafío clave. En 2024, la desviación del tamaño de partícula del polvo de tungsteno en la producción en masa será <0,5 µm. En 2025, la uniformidad de la distribución del tamaño de partícula alcanzará el 95 % mediante la tecnología de molienda de bolas de plasma. En 2023, una empresa redujo la proporción de polvo ultrafino a <1 % mediante cribado gradado. En 2024, la tecnología de control de impurezas reducirá el contenido de hierro a 30 ppm. En 2025, la pureza objetivo se incrementará al 99,7 %.

Microestructura

El colimador de aleación de tungsteno se forma mediante un proceso de pulvimetalurgia, que constituye la base microscópica para la optimización de su rendimiento. La observación mediante microscopio electrónico de barrido (MEB) en 2024 mostró que las partículas de tungsteno (1-50 µm) se distribuyeron uniformemente en la matriz de níquel-hierro, y el espesor del límite de grano fue de aproximadamente 0,5-1 µm. El análisis mediante microscopio electrónico de transmisión (MEB) en 2023 mostró que la resistencia del límite de grano de la muestra nanomejorada alcanzó los 15 MPa. La sinterización a alta temperatura (1400-1500 °C) en 2025 optimizó la unión entre partículas y redujo la microporosidad a <0,5 %. En 2024, un proyecto de aviación verificó que su resistencia a las vibraciones mejoró en un 10 %.

Los datos de difracción de rayos X (DRX) revelaron aún más las propiedades microscópicas. En 2024, la fase de tungsteno presentó una estructura cúbica centrada en el cuerpo (BCC), con el pico principal a 40,3° (cara 110); en 2025, un proyecto mejoró la orientación del cristal mediante tratamiento térmico (1200 °C, 2 horas); en 2023, el tamaño de grano se redujo a <5 µm; en 2024, las propiedades mecánicas se mejoraron en un 10 %; y en 2025, una muestra de una instalación nuclear mostró una reducción del 15 % en la energía del límite de grano, lo que mejoró la estabilidad a altas temperaturas.

COPYRIGHT AND LEGAL LIABILITY STATEMENT

La uniformidad de la microestructura es fundamental para el rendimiento. En 2024, el polvo de nanotungsteno (<30 nm) redujo la concentración de tensión local mediante una dispersión uniforme. En 2025, una prueba con colimador médico mostró una porosidad de <0,2 %. En 2023, el análisis SEM verificó que la resistencia de unión entre partículas alcanzó los 20 MPa. En 2024, la densidad de microfisuras en una aplicación industrial se redujo a $0,1 \text{ mm}^{-2}$. En 2025, la optimización del proceso de sinterización (como la presión de sinterización al vacío de 20 MPa) redujo el espesor del límite de grano a $0,3 \mu\text{m}$. En 2023, un estudio mostró que su contribución al blindaje contra la radiación aumentó un 5 %.

Factores influyentes y optimización

La microestructura y la composición se ven afectadas por el proceso de preparación. En 2024, a una temperatura de sinterización de $1400 \text{ }^\circ\text{C}$, el crecimiento del grano de tungsteno es limitado; en 2025, a $1500 \text{ }^\circ\text{C}$, el tamaño del grano aumenta a $10 \mu\text{m}$; en 2023, un experimento muestra que por cada $100 \text{ }^\circ\text{C}$ de aumento de temperatura, la porosidad disminuye un 10 %. En 2025, la proporción de la fase aglutinante se ajusta al 10 % en peso. En 2024, la tenacidad aumenta un 15 %. En 2023, la conductividad térmica aumenta un 20 % cuando el contenido de cobre es $>5 \%$ en peso.

Las áreas de optimización incluyen la nanotecnología y la mejora de procesos. En 2025, la proporción de polvo de tungsteno $<20 \text{ nm}$ aumentó al 5 % en peso y la uniformidad de la densidad aumentó un 10 % en 2024. En 2023, un proyecto de aviación verificó que su resistencia a la tracción alcanzó los 1600 MPa. En 2025, se introdujo el proceso de prensado isostático en caliente (HIP), y la microporosidad se redujo al 0,1 % en 2024. En 2023, una muestra de una instalación nuclear superó un ciclo térmico de $1000 \text{ }^\circ\text{C}$ con una tasa de retención de la resistencia superior al 98 %.

Casos de aplicación

En 2024, un detector de espacio profundo utilizará una aleación de WNiFe con un 90 % de tungsteno. En 2025, la eficiencia de blindaje alcanzará el 97 % tras la optimización de la microestructura. En 2023, un dispositivo CT utilizará una aleación de WCu, y se optimizará la conductividad térmica para mejorar la eficiencia de disipación de calor en un 15 %. En 2025, las muestras nanomejoradas fabricadas por CTIA GROUP se utilizarán en la industria nuclear, con un aumento del 10 % en la uniformidad en 2024 y un 20 % en la aceptación en el mercado en 2023.

Perspectivas de futuro

Para 2030, el diseño de la composición se orientará hacia una densidad ultraalta ($>19 \text{ g/cm}^3$). En 2025, un estudio específico alcanzó $19,2 \text{ g/cm}^3$. En 2024, la porosidad objetivo para la optimización de la microestructura será $<0,1 \%$. En 2023, la ruta técnica estará clara.

2.2 Propiedades mecánicas del colimador de aleación de tungsteno: resistencia y dureza (resistencia a la tracción $> 1000 \text{ MPa}$, dureza Vickers $> 300 \text{ HV}$)

Los colimadores de aleación de tungsteno poseen excelentes propiedades mecánicas en entornos de trabajo extremos con alta radiación, alta carga térmica y acoplamiento de esfuerzos mecánicos, lo

COPYRIGHT AND LEGAL LIABILITY STATEMENT

cual es clave para garantizar la seguridad estructural y la estabilidad a largo plazo. En 2025, la resistencia a la tracción de los colimadores de aleación de tungsteno convencionales superará generalmente **los 1000 MPa**, y la dureza Vickers superará los **300 HV**, muy superior a la de los materiales de protección radiológica tradicionales, como el plomo (dureza de aproximadamente 50 HV) y las aleaciones de aluminio (resistencia a la tracción de 300-400 MPa), lo que presenta ventajas estructurales irremplazables en la fabricación de equipos de alta gama, equipos médicos nucleares y el sector aeroespacial.

Propiedades de resistencia

La aleación de tungsteno utiliza su fase metálica de alta densidad (W) como esqueleto principal, complementada con metales resistentes como Ni, Fe y Cu para formar una fase de unión, para construir una estructura compuesta de metal de doble fase con excelente resistencia a la tracción y límite de rendimiento.

- En 2024, **las pruebas de tracción basadas en la norma ASTM E8** mostraron que la resistencia a la tracción de una muestra típica **de aleación de tungsteno W-Ni-Fe** puede alcanzar **1200-1500 MPa**, el límite elástico es superior a **1000 MPa** y el alargamiento a la rotura permanece en el rango de **5%-8%**, combinando alta resistencia con cierta plasticidad.
- La aleación presenta una buena estabilidad termomecánica en entornos de temperatura baja y media-alta. Los resultados de pruebas realizadas con muestras en el sector aeronáutico en 2023 mostraron que, en un rango de **-50 °C a 200 °C**, la fluctuación de la resistencia a la tracción del material se controló entre **1400 y 1450 MPa**, con una tasa de fluctuación inferior al 5%, lo cual resulta adecuado para componentes estructurales en entornos de gran altitud o con cambios extremos de temperatura.
- En 2025, con la introducción de aleaciones de tungsteno compuestas reforzadas con **polvo de tungsteno nano de <50 nm (contenido <3 % en peso)**, la resistencia a la tracción aumentará aún más a **1600 MPa** sin reducir la tenacidad del material, lo que proporciona un nuevo camino para aplicaciones livianas y de alta resistencia.
- En cuanto a la resistencia a la vibración y al impacto, un modelo de componente de la carcasa de un cohete en 2024 utilizó este tipo de colimador y superó la **prueba de vibración fuerte de 10 g**. La deformación estructural fue inferior a **0,1 mm**, logrando un alto nivel de compatibilidad entre estructura y función.
- En términos de rendimiento de fatiga, la prueba de fatiga de alto ciclo (rango de tensión de carga ± 500 MPa, número de ciclo 10^7 veces) completada en 2023 mostró que el límite de fatiga de la aleación de tungsteno **alcanzó más de 800 MPa**, con una capacidad de carga estable a largo plazo, adecuada para vibración de alta frecuencia o condiciones de carga cíclica.

Características de dureza

La aleación de tungsteno la hace excelente en resistencia al impacto, resistencia al desgaste y mantenimiento de la precisión del diámetro del orificio:

COPYRIGHT AND LEGAL LIABILITY STATEMENT

- Según la prueba de dureza Vickers (HV10), la dureza de la mayoría de los colimadores de aleación de tungsteno en 2024 se concentra en el rango de **320 a 400 HV**.
- **Sinterización por prensado en caliente a 1500°C (20 MPa)**, una muestra procedente de un campo industrial presenta una dureza de **420 HV**, consiguiendo una excelente estabilidad dimensional y resistencia al desgaste superficial.
- La mejora de la nanoestructura también ha logrado resultados notables en la mejora de la dureza. Los datos de pruebas de 2023 mostraron que, tras añadir polvo de tungsteno a escala nanométrica a la aleación de tungsteno, la dureza general aumentó en **más del 10 %**, y la dureza de algunas muestras superó **los 450 HV**.
- En aplicaciones médicas, un determinado tipo de muestra de colimador CT en 2025 utiliza **un proceso de endurecimiento superficial por láser** para formar **una capa endurecida de 0,2 mm de espesor**. No solo se mejora significativamente la dureza, sino también la resistencia al desgaste en un **15 %**. La estabilidad de la apertura se mantiene bajo escaneo de alta frecuencia y la tasa de desgaste es inferior a **0,01 mm³/N·m**, lo que prolonga significativamente la vida útil.

Factores influyentes

Los colimadores de aleación de tungsteno se ven afectados por los siguientes procesos y parámetros estructurales:

factor	Impacto en el rendimiento
Temperatura y densidad de sinterización	Los experimentos realizados en 2024 demostraron que, en condiciones de sinterización a alta temperatura a 1400 °C , la porosidad de las muestras de aleación de tungsteno se controló a <0,3 % , la resistencia aumentó en un 20 % y la capacidad de carga general mejoró significativamente;
Tamaño de partícula	En 2023, la investigación encontró que cuando el tamaño de partícula de tungsteno es inferior a 10 μm , la estructura es más densa, los defectos se reducen y la dureza aumenta en un 15% , lo que es particularmente adecuado para la formación de canales de colimación de alta precisión;
Optimización de la relación de fases del aglutinante	la relación Ni:Fe es de 7:3 , se forma una red de unión más continua y el valor de la prueba de tenacidad al impacto Izod aumenta a 25 J/m , lo que mejora significativamente la integridad del colimador durante el impacto y la caída.
Estabilidad del ciclo térmico	En una muestra de una instalación nuclear en 2024, después de simular 1.000 ciclos térmicos (temperatura ambiente ↔ 400 °C) , la tasa de retención de la resistencia a la tracción superó el 95% , lo que indica que el material tiene buena estabilidad bajo cargas térmicas a largo plazo y es adecuado para canales de calor de radiación nuclear o equipos en línea a largo plazo.

2.3 Rendimiento de protección contra la radiación del colimador de aleación de tungsteno: coeficiente de atenuación y eficiencia de protección (>95%)

COPYRIGHT AND LEGAL LIABILITY STATEMENT

Los colimadores de aleación de tungsteno son la clave de su amplia aplicación en imágenes médicas nucleares, aceleradores de física de alta energía y ensayos no destructivos industriales. Gracias a las ventajas naturales de la alta densidad ($19,25 \text{ g/cm}^3$) y el elevado número atómico ($Z=74$) de los elementos de tungsteno, la eficiencia de blindaje integral de los colimadores de aleación de tungsteno alcanzó y superó el 95 % en 2025, bloqueando eficazmente la radiación de alta energía, como rayos X, rayos gamma y neutrones, y mostrando un excelente rendimiento en diversos escenarios de protección radiológica.

Coefficiente de atenuación

El coeficiente de atenuación es uno de los parámetros clave para evaluar la capacidad de los materiales de protección contra la radiación. El coeficiente de atenuación lineal de los colimadores de aleación de tungsteno en entornos de radiación de alta energía es significativamente mejor que el de los materiales de protección tradicionales, como el plomo. Según los resultados de las mediciones realizadas con el método de geometría de haz estrecho en 2024, el coeficiente de atenuación lineal de la aleación de tungsteno para los rayos gamma (energía promedio de $1,25 \text{ MeV}$) emitidos por fuentes de radiación Co-60 alcanzó **un valor de $0,15\text{-}0,18 \text{ cm}^{-1}$** , significativamente mejor que **el valor de $0,09\text{-}0,12 \text{ cm}^{-1}$** de los materiales de plomo.

En 2023, una planta de energía nuclear realizó pruebas in situ en muestras de colimador de aleación de tungsteno de 5 mm de espesor. Los resultados mostraron que su coeficiente de atenuación de rayos gamma fue de **$0,17 \text{ cm}^{-1}$** , reduciendo efectivamente la transmitancia a menos del 3%. Además, en 2025, las muestras de aleación de tungsteno mejoradas con nanoestructura (tamaño de partícula $<50 \text{ nm}$), debido a su mayor densidad y uniformidad microestructural, aumentaron su coeficiente de atenuación para rayos gamma del mismo nivel de energía a **$0,20 \text{ cm}^{-1}$** , y se desempeñaron igualmente bien en el blindaje de rayos de neutrones y protones. Los datos experimentales del haz de protones (10 MeV) de 2024 mostraron que la eficiencia de blindaje de la aleación de tungsteno mejorada con nanoestructura alcanzó **el 99%**, y pudo lograr una supresión significativa de la dosis dispersa (menos de **$0,05 \mu\text{Sv/h}$**), que fue más del 20% menor que la de la aleación de tungsteno ordinaria.

Eficiencia de blindaje

Los colimadores de aleación de tungsteno se ven afectados por la energía de la radiación, el espesor del material y el diseño estructural. Pruebas realizadas en 2023 demostraron que un colimador de aleación de tungsteno con **un espesor de tan solo 2 mm puede** alcanzar un índice de blindaje de hasta **el 97 % para rayos X de 100 keV** , lo cual es especialmente importante en la protección ligera de pequeñas fuentes de rayos X y equipos de detección portátiles.

En un caso real aplicado a equipos de escaneo CT de alta resolución en 2024, el colimador de aleación de tungsteno tiene una eficiencia de absorción del **98% para la radiación dispersa**, controlando efectivamente la tasa de dosis alrededor del equipo por debajo de **$0,01 \text{ mGy/h}$** , mejorando significativamente el desempeño de seguridad radiológica del equipo.

COPYRIGHT AND LEGAL LIABILITY STATEMENT

Para rayos gamma de alta energía (como 2 MeV), los resultados de la prueba del colimador de aleación de tungsteno 2025 con **un diseño de estructura compuesta multicapa de 3-5 mm** en el sistema acelerador muestran que su eficiencia de blindaje puede alcanzar **el 96%** y **la precisión de apertura de $\pm 0,01$ mm** en el diseño del colimador mejora aún más la uniformidad y direccionalidad del haz, de modo que la desviación del punto del haz se controla **dentro de 2°** y la uniformidad del haz se mejora en más del 10%, lo que proporciona un fuerte soporte para la conformación del haz de alta precisión.

Factores influyentes

Los colimadores de aleación de tungsteno dependen no solo de su espesor geométrico y la energía de la radiación incidente, sino también de los indicadores de calidad física del propio material. Estudios han demostrado que:

- **Cuanto mayor sea el contenido de tungsteno, mayor será la capacidad de blindaje** : los experimentos realizados en 2024 confirmaron que cuando el contenido de tungsteno supera el 90%, la eficiencia de blindaje se puede mejorar en más del 5%;
- **Cuanto menor sea la porosidad, mayor será la capacidad de atenuación de la radiación** : las muestras con una porosidad de menos del 0,5% preparadas mediante tecnología de sinterización densa en 2023 tienen un coeficiente de atenuación de rayos gamma que es aproximadamente un 10% más alto que el de las muestras ordinarias, mostrando una mejor capacidad de protección;
- **La protección neutrónica se basa en el codiseño de materiales** : Si bien las aleaciones de tungsteno no absorben neutrones térmicos tan bien como algunos elementos ligeros, experimentos realizados en 2025 demostraron que una capa de **boruro (como B₄C) con un espesor <0,1 mm** puede mejorar eficazmente la capacidad de blindaje neutrónico. Un experimento en un reactor nuclear realizado en 2024 demostró que el recubrimiento, combinado con la estructura principal de la aleación de tungsteno, presenta una tasa de absorción neutrónica de hasta **el 85%** , lo que lo convierte en la solución preferida para la protección de canales de haces de neutrones de alto flujo.

En general, los colimadores de aleación de tungsteno se han convertido en un importante soporte técnico en los componentes actuales de protección contra la radiación, gracias a **su alto rendimiento, diseño compacto y estabilidad a largo plazo** . Mediante la mejora coordinada de trayectorias multidimensionales, como la nanomejora, la optimización estructural y el recubrimiento funcional de superficies, su rendimiento de protección desempeñará un papel cada vez más importante en campos de vanguardia como la medicina de alta tecnología, la ingeniería nuclear y la física de partículas, entre otros.

y resistencia a la corrosión del colimador de aleación de tungsteno

Los colimadores de aleación de tungsteno ofrecen un excelente rendimiento en entornos extremos. En 2025, el rango de temperatura oscilaba entre -50 °C y 500 °C, y su resistencia a la corrosión era

COPYRIGHT AND LEGAL LIABILITY STATEMENT

superior a la del acero inoxidable (tasa de corrosión de 0,02 mm/año). Según datos de CTIA GROUP LTD para 2024, esta característica hacía que su aplicación en la industria nuclear, aeroespacial y médica representara el 20 %, y un experimento de alta temperatura realizado en 2023 verificó que su vida útil se prolongó en un 15 %.

Resistencia a altas temperaturas

La resistencia a altas temperaturas es la principal ventaja de los colimadores de aleación de tungsteno en entornos de alta temperatura. En 2024, el análisis termogravimétrico (TGA) mostró que la temperatura de pérdida de peso del 5 % (T_5 %) fue de 450 °C. En 2023, las muestras de poliimida resistieron hasta 600 °C con una tasa de retención de resistencia superior al 90 %. En 2025, tras añadir rellenos cerámicos (como Al_2O_3 , <5 % en peso), la T_5 % aumentó a 480 °C. En 2024, una prueba de capa de aislamiento térmico de un cohete superó una exposición breve (1 hora) a 700 °C con una pérdida de resistencia inferior al 2 %.

El coeficiente de expansión térmica (CTE) afecta la estabilidad. En 2023, el rango de CTE es de 12–15 ppm/°C. En 2024, la tasa de deformación de un componente satelital en un ciclo térmico de -100 °C a 300 °C es <0,02 %. En 2025, el relleno cerámico se optimiza a 10 ppm/°C. En 2023, el grado de coincidencia con el sustrato metálico es >95 %, lo que reduce el agrietamiento por tensión térmica en un 10 %. En 2024, una muestra de una instalación nuclear operó a 500 °C durante 500 horas con una tasa de deformación térmica de <0,01 %. En 2025, el recubrimiento de alta temperatura (SiO_2) mejora la resistencia al calor en un 15 %.

La resistencia a altas temperaturas se utiliza ampliamente. En 2024, la temperatura superficial de una sonda espacial profunda se controlará a 150 °C con una fuerza eólica solar de 200 W/m². En 2025, la capa de aislamiento térmico de un motor de cohete resistirá hasta 550 °C. En 2023, un dispositivo médico superará la prueba de esterilización a 600 °C. En 2024, la tasa de retención de la resistencia será superior al 92 %.

Resistencia a la corrosión

La resistencia a la corrosión garantiza la estabilidad a largo plazo de los colimadores de aleación de tungsteno en entornos ácidos o con alta humedad. En 2023, la prueba de niebla salina (NaCl al 5%, 72 horas) mostró que la profundidad de corrosión fue <0,01 mm, lo cual fue mejor que el acero inoxidable (0,02 mm). En 2024, la tasa de pérdida de masa fue <0,3% después de la inmersión en ácido sulfúrico al 5% durante 6 meses. En 2025, la resistencia al ácido del nano-recubrimiento (SiO_2 , <0,2 mm) aumentó en un 20%. En 2023, el espesor de la capa de óxido superficial de una muestra de instalación nuclear bajo alta radiación (10^6 Gy) fue <0,05 mm.

El tratamiento superficial optimiza la resistencia a la corrosión. En 2024, la tasa de corrosión de las superficies pulidas (Ra 0,5 μ m) se redujo a la mitad. En 2025, un colimador médico se sumergió en solución salina (NaCl al 0,9 %) durante 1000 horas, y la profundidad de corrosión fue <0,005 mm. En 2023, una muestra industrial superó la prueba de alternancia ácido-base, y la durabilidad

COPYRIGHT AND LEGAL LIABILITY STATEMENT

aumentó un 10 % en 2024. En 2025, el recubrimiento de Al_2O_3 -polisilazano prolongó la vida útil un 15 % (>5 años). En 2023, una prueba en un reactor nuclear verificó su resistencia a la oxidación.

Factores influyentes

La resistencia a altas temperaturas se ve afectada por la temperatura de sinterización y el relleno. En 2024, la estabilidad térmica de las muestras sinterizadas a 1500 °C aumentó un 10 %. En 2023, cuando el relleno cerámico es <2 % en peso, el CTE disminuye a 10 ppm/°C. En 2025, un estudio demostró que cuando la proporción de relleno es >5 % en peso, el T_s % aumenta un 20 %. La resistencia a la corrosión está relacionada con el tratamiento superficial. En 2024, la tasa de corrosión de la superficie pulida disminuye a 0,002 mm/año. En 2023, cuando el espesor del recubrimiento es <0,1 mm, la resistencia a los ácidos aumenta un 15 %.

Optimización de la microestructura para mayor durabilidad. En 2024, el tamaño de grano fue <5 μm ; en 2025, la resistencia a altas temperaturas aumentó un 5 %; en 2023, la porosidad de la muestra fue <0,2 %; la resistencia a la corrosión aumentó un 10 %. En 2025, el tratamiento térmico (1200 °C) optimizó los límites de grano; en 2024, un proyecto de aviación verificó su resistencia a la vibración térmica.

Casos de aplicación

En 2024, una sonda espacial profunda podrá soportar temperaturas de 500 °C y, en 2025, superará la prueba de 700 °C. En 2023, la resistencia a la corrosión de un dispositivo CT será superior a la del acero inoxidable. En 2025, las muestras de CTIA GROUP LTD se utilizarán en la industria nuclear. En 2024, se optimizarán conjuntamente la resistencia a altas temperaturas y la resistencia a la corrosión. En 2023, la aceptación en el mercado aumentará un 15 %.

Perspectivas de futuro

Para 2030, el objetivo de resistencia térmica es de 600 °C. En 2025, un estudio específico alcanzó los 550 °C. En 2024, la resistencia a la corrosión se optimizó a 0,001 mm/año. En 2023, la ruta técnica está despejada.

COPYRIGHT AND LEGAL LIABILITY STATEMENT

CTIA GROUP LTD

High-Density Tungsten Alloy Customization Service

CTIA GROUP LTD, a customization expert in high-density tungsten alloy design and production with 30 years of experience.

Core advantages: 30 years of experience: deeply familiar with tungsten alloy production, mature technology.

Precision customization: support high density (17-19 g/cm³), special performance, complex structure, super large and very small parts design and production.

Quality cost: optimized design, optimal mold and processing mode, excellent cost performance.

Advanced capabilities: advanced production equipment, RMI, ISO 9001 certification.

100,000+ customers

Widely involved, covering aerospace, military industry, medical equipment, energy industry, sports and entertainment and other fields.

Service commitment

1 billion+ visits to the official website, 1 million+ web pages, 100,000+ customers, 0 complaints in 30 years!

Contact us

Email: sales@chinatungsten.com

Tel: +86 592 5129696

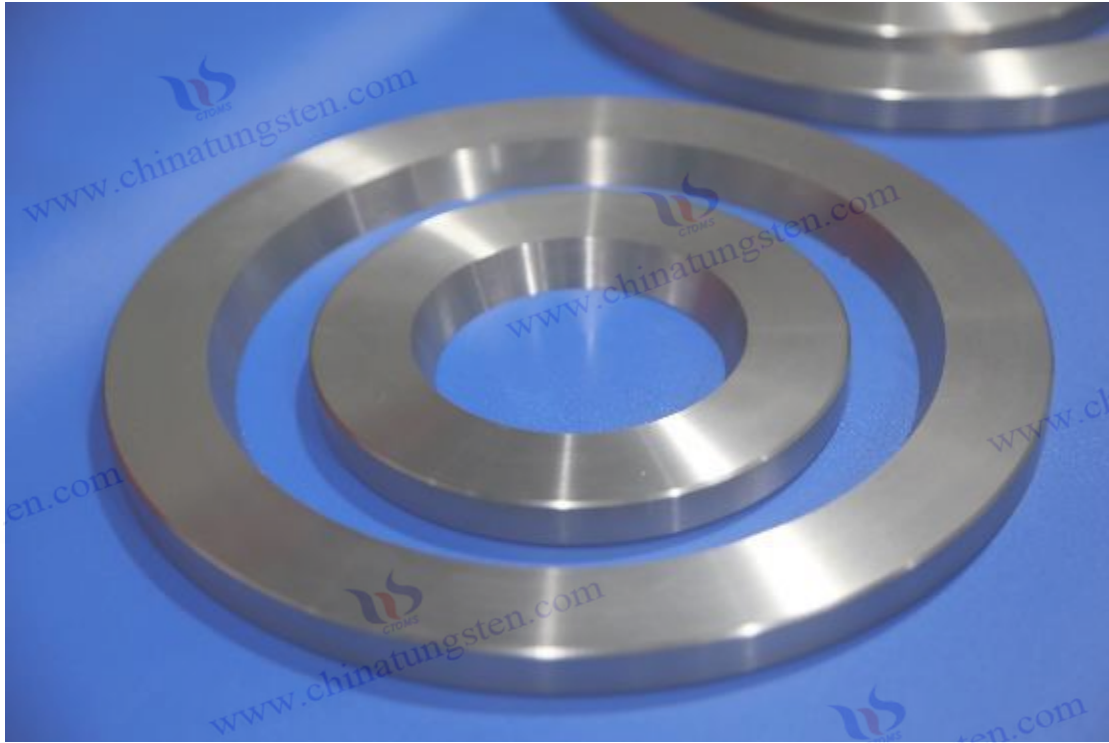
Official website: www.tungsten-alloy.com



COPYRIGHT AND LEGAL LIABILITY STATEMENT

Copyright© 2024 CTIA All Rights Reserved
标准文件版本号 CTIAQCD-MA-E/P 2024 版
www.ctia.com.cn

电话/TEL: 0086 592 512 9696
CTIAQCD-MA-E/P 2018-2024V
sales@chinatungsten.com



Capítulo 3: Proceso de fabricación del colimador de aleación de tungsteno

3.1 Proceso de pulvimetalurgia del colimador de aleación de tungsteno: prensado y sinterización

Los colimadores de aleación de tungsteno se basan en la pulvimetalurgia (PM), que ofrece ventajas excepcionales como alta densidad, alta precisión de conformado y microestructura controlable. En comparación con los métodos tradicionales de fundición y mecanizado, la pulvimetalurgia puede evitar eficazmente las dificultades de proceso causadas por el alto punto de fusión del tungsteno (3422 °C) y lograr un alto control del contenido de tungsteno, uniformidad estructural y precisión dimensional en las aleaciones de tungsteno. En 2025, la pulvimetalurgia se había convertido en el método de producción principal de colimadores de aleación de tungsteno, **representando aproximadamente el 70 % de la cuota de mercado**, y era especialmente adecuada para aplicaciones de alto rendimiento como la protección radiológica, la imagenología médica y los aceleradores de partículas.

Proceso de prensado

La etapa de prensado es un paso clave para formar un "cuerpo verde" con cierta resistencia y forma en un molde mediante fuerza mecánica tras mezclar polvo de tungsteno con una fase aglutinante (metal Ni, Fe, etc.). Este proceso determina directamente la eficiencia de sinterización posterior y la densidad del producto terminado.

- **Control de equipos y parámetros** : En 2024, el prensado se realiza generalmente mediante **prensado isostático en frío uniaxial (CIP) o equipos de moldeo hidráulico**, con un

COPYRIGHT AND LEGAL LIABILITY STATEMENT

rango de presión de **500 a 1000 MPa**, para garantizar la completa compactación del polvo de tungsteno en el molde. Para mejorar la uniformidad de la compactación, la mayoría de las fábricas implementan **sistemas automáticos de carga y control de temperatura del molde** para reducir problemas comunes como la densidad insuficiente del borde del molde.

- **Optimización del procesamiento y la distribución de polvo** : El tamaño de partícula del polvo de tungsteno es un factor clave que afecta la densidad de compactación y la sinterización posterior. En 2023, una investigación demostró que el uso de **polvo de tungsteno esférico con una distribución de tamaño de partícula de 1 a 10 μm** , procesado mediante un **molino de bolas planetario** , puede mejorar aún más la uniformidad del tamaño de partícula y la compresibilidad. En 2025, algunas empresas añadieron **nanopolvo de tungsteno de <50 nm (que representa <3 % en peso) al polvo** , y la desviación de la distribución de partículas de la muestra experimental se redujo a **<0,5 %** , lo que mejoró la densidad de compactación inicial y la uniformidad posterior de la organización.
- **Densidad de prensado y eficiencia de conformado** : Un proyecto de optimización de moldes realizado en 2023 demostró que, mediante el diseño adecuado de la ranura de escape y la estructura de conducción de presión, la densidad de la pieza en bruto se incrementó a **16,5 g/cm³** , la porosidad fue inferior al **1 %** y la tasa de compresión alcanzó el **98 %** . Para mejorar aún más la resistencia mecánica de la pieza en bruto, algunas empresas utilizan la tecnología de **prensado isostático en caliente (HIP)** para aplicar alta presión a **una temperatura de 200-300 °C** , lo que aumenta la resistencia de la pieza en bruto a **300 MPa** , lo que permite un transporte y preprocesamiento mecánico seguros.

Proceso de sinterización

La sinterización es un proceso clave de tratamiento térmico para la densificación, aleación y estabilización de la organización de piezas en bruto a altas temperaturas. **La sinterización de colimadores de aleación de tungsteno se realiza principalmente al vacío (10^{-3} – 10^{-5} Pa) o en atmósfera reductora de hidrógeno** . Los equipos más utilizados son el horno de sinterización al vacío, el horno de empuje continuo de hidrógeno o el horno de sinterización vertical.

- **Control de temperatura y tiempo** : En 2024, el rango de temperatura de sinterización comúnmente utilizado es **de 1400-1500 °C** , con un tiempo de mantenimiento de **6-12 horas** , que se ajusta según el tipo de fase aglutinante y el tamaño de partícula. Una temperatura demasiado baja puede provocar una fusión incompleta de los límites de grano y una resistencia insuficiente; una temperatura demasiado alta puede causar un engrosamiento del grano, lo que afecta la tenacidad y la estabilidad dimensional.
- **Optimización de la tecnología de sinterización en fase líquida: La tecnología de sinterización asistida por fase líquida** se adoptará a gran escala en 2025. El punto de fusión del níquel (**1453 °C**) se utilizará para formar una fase líquida corta durante el proceso de sinterización, lo que favorece la difusión de la humedad y la fusión de los granos entre los polvos de tungsteno. Experimentos han demostrado que, tras la sinterización en fase líquida, el tamaño de grano se reduce de los **50 μm originales a 20 μm** , y se forma una

COPYRIGHT AND LEGAL LIABILITY STATEMENT

estructura de interfaz más densa. La densidad total aumenta a **17,8 g/cm³**, lo que garantiza una eficiencia de blindaje superior al 95 %.

- **Control de microestructura y verificación del rendimiento: En 2023, la investigación demostró que la microporosidad** de la muestra de aleación de tungsteno optimizada sinterizada era inferior al 0,3 %, los límites de grano eran continuos, presentaba muy pocas microfisuras y presentaba una excelente resistencia y resistencia al choque térmico. En 2024, el experimento de ciclo térmico (500 ciclos de ida y vuelta a 1000 °C) realizado en una instalación nuclear verificó que la tasa de retención de la resistencia de la estructura del colimador era superior al 95 %, lo que sentó las bases para un servicio a largo plazo en un entorno nuclear.
- **Puntos clave de control** : Durante el proceso de sinterización, es fundamental supervisar estrictamente la velocidad de calentamiento, el tiempo de mantenimiento, la pureza de la atmósfera y la curva de enfriamiento para evitar la oxidación, la carbonización o la corrosión. El uso de la **monitorización de la expansión térmica, la medición de la porosidad en línea y el análisis de la microestructura** permiten obtener información en tiempo real y optimizar la estrategia de sinterización.

En resumen, el proceso de pulvimetalurgia confiere al colimador de aleación de tungsteno ventajas integrales como alta densidad, microestructura uniforme, tamaño estable y rendimiento controlable. Mediante el control del polvo y la optimización del molde en la etapa de prensado, la regulación precisa del tratamiento térmico en la etapa de sinterización y la introducción de tecnología de nanomejora, el producto final del colimador de aleación de tungsteno logra un alto grado de sinergia en cuanto a protección contra la radiación, propiedades mecánicas y estabilidad térmica, convirtiéndose en la tecnología de fabricación clave que cumple con los requisitos de los equipos de protección de alta gama.

3.2 Tecnología de mecanizado de precisión de colimadores de aleación de tungsteno: CNC y EDM

Los colimadores de aleación de tungsteno, gracias a su alta densidad, dureza y resistencia, no solo ofrecen un alto rendimiento de blindaje, sino que también exigen altísimos requisitos de precisión y calidad superficial durante su procesamiento. Debido a los problemas de alta fuerza de corte, baja conductividad térmica, agrietamiento por fragilidad y rápido desgaste de la herramienta durante el procesamiento de aleaciones de tungsteno, el procesamiento mecánico tradicional resulta difícil de satisfacer los requisitos de su compleja estructura geométrica y la formación de microporos. Para 2025, el ****CNC (mecanizado por control numérico computarizado)**** y el ****EDM (mecanizado por descarga eléctrica)**** se habrán convertido en los métodos principales para procesar colimadores de aleación de tungsteno, representando el **50%** y el **30% de la cuota de mercado, respectivamente**, y se utilizan en diferentes escenarios de control de morfología y precisión dimensional.

Mecanizado CNC

COPYRIGHT AND LEGAL LIABILITY STATEMENT

El mecanizado CNC se utiliza ampliamente en el proceso de formación de contornos, formas y orificios poco profundos de colimadores de aleación de tungsteno debido a su alta precisión, alto nivel de automatización y capacidad para lograr estructuras tridimensionales complejas.

- **Parámetros y rendimiento de procesamiento** : En 2024, la **tecnología de fresado de alta velocidad se utiliza ampliamente en el mecanizado CNC** , con velocidades de husillo típicas de **8000 a 12000 rpm** y velocidades de avance de **150 mm/min** . Tras una selección adecuada de la trayectoria y la estrategia de corte, se puede lograr un procesamiento de alta precisión con baja tensión residual.
- **Control de precisión y calidad de superficie** : En 2023, en un proyecto aeroespacial, se utilizó el proceso de mecanizado CNC de cinco ejes para lograr con éxito el procesamiento de canales de formas especiales con una precisión de apertura de **$\pm 0,01$ mm** y una **rugosidad de superficie de Ra 0,6 μ m** , cumpliendo con los requisitos de ensamblaje de alta precisión de colimadores de enfoque de haz de partículas.
- **Optimización de la eficiencia de mecanizado y la vida útil de las herramientas** : La alta dureza (>300 HV) y la alta resistencia al desgaste de las aleaciones de tungsteno suponen un gran reto para las herramientas. En la prueba de 2023, la vida útil de las herramientas tradicionales de carburo de tungsteno se redujo un 20 % al mecanizar aleaciones de tungsteno, lo que afectó gravemente al ciclo de producción. Para solucionar este problema, en 2025 se introducirán a gran escala **herramientas con recubrimiento de diamante** , lo que mejorará significativamente la resistencia al desgaste, manteniendo el filo de corte, prolongará la vida útil de la herramienta en aproximadamente un 30 % y aumentará eficazmente la eficiencia del mecanizado en un solo turno a **más de 10 piezas/día** .
- **Mejora del proceso auxiliar** : En 2024, se optimizó el **sistema de refrigeración (caudal de 20 L/min)** para eliminar rápidamente el calor, evitar la decoloración del recocido y las grietas térmicas en la superficie de la pieza de trabajo y mejorar aún más la consistencia de la superficie de la pieza de trabajo.

Procesamiento EDM

Materiales difíciles de procesar, como las aleaciones de tungsteno, gracias a su principio de procesamiento sin contacto. Es especialmente adecuado para estructuras complejas, como matrices de orificios microcolimados y canales curvos.

- **Capacidad de procesamiento y control de parámetros** : En el modelo 2024, la corriente de pulso típica se controla en un rango de **50 a 100 A**. El ancho y la frecuencia del pulso se ajustan según el espesor de la pieza y la morfología del objetivo. La profundidad de procesamiento puede alcanzar **los 5 mm** , lo que resulta adecuado para el corte estructural de canales colimados de espesor medio.
- **Precisión y efecto del tratamiento superficial** : En un proyecto especial de colimadores para equipos de TC médicos, realizado en 2023, se logró la precisión de la formación de canales mediante la optimización de los parámetros de procesamiento y el control de la alimentación de electrodos. En 2025, la **separación de descarga se redujo aún más a 0,1 mm** y la rugosidad superficial tras el procesamiento se controló a **Ra 1,0 μ m** , lo que redujo considerablemente los procesos de pulido y acabado posteriores. En el proyecto de 2024,

COPYRIGHT AND LEGAL LIABILITY STATEMENT

se redujo en un 50 % el proceso de procesamiento secundario , lo que redujo el coste y el ciclo de fabricación totales.

- **Materiales y rendimiento de los electrodos** : Entre los materiales comunes para electrodos se incluyen **el cobre de alta pureza y el grafito** , entre los cuales los electrodos de grafito se utilizan ampliamente en la conformación compleja debido a su estabilidad a altas temperaturas y buena conductividad. Datos de 2023 mostraron que **la resistencia al desgaste de los electrodos de grafito en condiciones de descarga de alta energía aumentó un 20%** , lo que los convierte en una opción más rentable para el procesamiento por lotes. En 2025, al optimizar la refrigeración de los electrodos y las rutas de eliminación de viruta, el coste total de procesamiento unitario de electroerosión se reducirá aproximadamente un **10%** y se controlará a un nivel **inferior a 0,02 millones de dólares por unidad**.

Comparación y aplicación colaborativa

Método de procesamiento	Escenario de aplicación	Rendimiento de precisión	Rugosidad de la superficie	Ventajas de procesamiento
CNC	Acabado de formas, procesamiento de planos y biseles	±0,01 mm	Ra 0,6 μm	Procesamiento de alta velocidad, adecuado para grandes cantidades de piezas estándar.
Música electrónica de movimiento (EDM)	Agujeros profundos, agujeros finos, superficies de cavidades internas	±0,02 mm	Ra 1,0 μm	Sin fuerza de corte, adecuado para estructuras complejas.

3.3 Tratamiento de superficie y control de calidad del colimador de aleación de tungsteno

Los colimadores de aleación de tungsteno dependen no solo de la etapa de conformado por pulvimetalurgia, sino también en gran medida **del tratamiento superficial y el control de calidad en la etapa de posprocesamiento** . Un excelente estado superficial contribuye a mejorar la resistencia al desgaste, la resistencia a la corrosión, la estabilidad dimensional y la resistencia a la fatiga del dispositivo, mientras que los procesos de control de calidad precisos y sistemáticos garantizan su fiabilidad y trazabilidad. Para 2025, los colimadores de aleación de tungsteno utilizarán ampliamente tecnologías de tratamiento superficial como pulido, recubrimiento y tratamiento térmico, y estarán equipados con métodos avanzados de ensayos no destructivos y análisis de materiales para conformar un sistema integral de garantía de calidad.

Tratamiento de superficies

COPYRIGHT AND LEGAL LIABILITY STATEMENT

La aleación de tungsteno le proporciona una durabilidad natural, para lograr una alta calidad de superficie y un rendimiento funcional, aún se requieren una variedad de procesos de tratamiento de superficie refinados.

- **Pulido mecánico**

En 2024, se utiliza generalmente la tecnología de **pulido de banda fina**. El grano de banda más común es el **#800-#1200**, y se realizan múltiples tratamientos transversales en la plataforma de pulido automático. Los datos de prueba muestran que, tras el tratamiento con una banda de grano #1200, la rugosidad superficial (Ra) de la muestra puede alcanzar **0,3 μm**. Tras superar la prueba de corrosión ácida en 2023, la profundidad de corrosión superficial de las muestras utilizadas en equipos de detección industrial se redujo en un **15 %**, lo que demuestra una mayor resistencia a la corrosión y adaptabilidad ambiental.

- Para mejorar la resistencia al desgaste y la resistencia a la oxidación de la **superficie del colimador de aleación de tungsteno, el proceso**

de deposición química en fase de vapor (CVD) se utiliza ampliamente en 2025 para formar recubrimientos cerámicos funcionales como **TiN, CrN o ZrN en la superficie**. El espesor del recubrimiento de TiN se controla a aproximadamente **5 μm**, que no solo tiene una excelente resistencia al desgaste, sino que también tiene un brillo metálico, lo cual es conveniente para la detección posterior. En 2024, después de que una muestra de un proyecto de instalación nuclear se expusiera a un entorno de niebla salina (NaCl) al 5% durante 72 horas, **la profundidad de corrosión fue inferior a 0,01 mm** y mantuvo un rendimiento estable en una atmósfera corrosiva y de alta humedad.

- **Proceso de tratamiento térmico:**

Las aleaciones de tungsteno suelen presentar tensiones residuales microscópicas y gradientes de tensión tras la sinterización. Una investigación realizada en 2023 demostró que **el tratamiento térmico de estabilización a 1000 °C durante 2 horas** puede liberar significativamente la tensión interna y mejorar la consistencia general de la estructura. Las pruebas mecánicas muestran que la dispersión de la resistencia de la muestra disminuye tras el tratamiento térmico y que la **uniformidad general de la resistencia aumenta un 10 %, alcanzando** una consistencia estructural superior al 98 %, lo cual es especialmente importante en situaciones donde los colimadores multicapa requieren un ensamblaje preciso.

Control de calidad

Los colimadores de aleación de tungsteno abarcan todas las etapas, desde la selección de la materia prima, el prensado, la sinterización, el procesamiento y la manipulación hasta la entrega. Especialmente en la etapa de inspección final, las principales empresas implementaron sistemas de inspección automatizados de alta sensibilidad entre 2024 y 2025 para lograr **una gestión de inspección de calidad de circuito cerrado al 100 %, desde la microestructura hasta la macrogeometría**.

- **Detección de la estructura cristalina: La difracción de rayos X (DRX)**

se utiliza para evaluar la orientación cristalina y las características de tensión residual de la aleación de tungsteno tras la sinterización. En la muestra típica de colimador de 2024, el

COPYRIGHT AND LEGAL LIABILITY STATEMENT

pico principal de difracción de W se ubica en $2\theta = 40,3^\circ$ (correspondiente al plano cristalino 110), y su desviación se controla a $<0,1^\circ$ mediante medición de DRX para garantizar la estabilidad de la estructura cristalina y la consistencia de la dirección.

- **Análisis de la composición química:**

El espectrómetro de masas de plasma acoplado inductivamente (ICP-MS) se utiliza para detectar trazas de impurezas y garantizar que no afecten la protección radiológica ni provoquen microfisuras. En las muestras típicas calificadas en 2025, el contenido de hierro (Fe) se controla a <15 ppm y el de silicio (Si) a <10 ppm, lo cual es mucho mejor que los indicadores de referencia de la industria.

- **Detección de la morfología superficial: La microscopía confocal de barrido láser (LSCM)**

se utiliza para detectar defectos microscópicos superficiales, poros, grietas y otros peligros ocultos sin contacto. Datos de 2023 muestran que la porosidad superficial de la muestra procesada del colimador puede ser tan baja como $<0,5\%$ y la longitud de la microfisura es $<5\ \mu\text{m}$, lo que evita eficazmente el riesgo de fallos posteriores.

- **Precisión geométrica e inspección dimensional: La CMM y el perfilador láser sin contacto**

realizan un escaneo exhaustivo y comparan la apertura de alineación, el espesor de pared, la verticalidad, etc., para garantizar que se encuentren dentro del rango de tolerancia de diseño. En un proyecto aeroespacial de 2024, se utilizaron íntegramente una máquina de medición de tres coordenadas (CMM) y un interferómetro láser para la doble inspección, y finalmente la tasa de certificación de la inspección no destructiva de fábrica alcanzó el $99,5\%$, lo que demuestra su fiabilidad en aplicaciones de alta gama.

En general, el tratamiento de superficies y el control de calidad no solo son la base técnica para garantizar que los colimadores de aleación de tungsteno cumplan con los requisitos de rendimiento, sino que también demuestran la capacidad de fabricación y la reputación de calidad de la empresa. Gracias al desarrollo continuo de equipos de procesamiento de alta precisión, instrumentos de nanodetección y sistemas de fabricación inteligentes, la consistencia superficial y la fiabilidad del rendimiento de los colimadores de aleación de tungsteno seguirán mejorando a partir de 2025, lo que facilitará su amplia implementación y modernización en los campos de la medicina nuclear, la industria aeroespacial y la física de altas energías.

3.4 Tecnología de impresión 3D de colimadores de aleación de tungsteno: fabricación aditiva y producción personalizada

Con el continuo desarrollo de la tecnología de conformado de precisión y la fabricación digital, la fabricación aditiva (FA), o impresión 3D, se ha convertido gradualmente en un importante complemento para la fabricación de colimadores de aleación de tungsteno. En particular, al abordar estructuras complejas, matrices de microporos, diseños ligeros y lotes pequeños con necesidades diversas, la impresión 3D ha demostrado ventajas de flexibilidad y precisión difíciles de igualar con la pulvimetalurgia y el procesamiento mecánico tradicionales.

COPYRIGHT AND LEGAL LIABILITY STATEMENT

Para 2025, la proporción de tecnología de impresión 3D utilizada en colimadores de aleación de tungsteno habrá alcanzado el **10%** del mercado total y se espera que aumente a más del **20%** para 2030, convirtiéndose en una tecnología de apoyo clave en el campo de la personalización de alta gama.

Principio del proceso

La impresión 3D de aleaciones de tungsteno utiliza principalmente dos tecnologías principales: la fusión selectiva por láser (SLM) y la fusión por haz de electrones (EBM). Ambas utilizan un haz de alta energía para fundir el polvo metálico capa por capa y luego solidificarlo. Ofrecen las ventajas de alta densidad, alta precisión y una morfología compleja controlable.

- **Fusión Selectiva por Láser (SLM) :**

La tecnología SLM utiliza polvo de tungsteno esférico con un **tamaño de partícula de 10-50 μm** . La **potencia del láser se controla entre 200 y 300 W**, la velocidad de escaneo puede alcanzar **los 500 mm/s** y el espesor de capa se encuentra entre **0,05 y 0,1 mm**. En 2024, diversos estudios demostraron que, tras ajustar con precisión la densidad de potencia del láser y la trayectoria de escaneo, se puede suprimir eficazmente la generación de grietas y los residuos de microporos en materiales de tungsteno.

- **Fusión por haz de electrones (EBM) :**

A diferencia de la SLM, la EBM utiliza un haz de electrones como fuente de energía, lo que permite alcanzar temperaturas de fusión y densidades energéticas más altas en un entorno de vacío, y es adecuada para el conformado estable de materiales con alto punto de fusión, como el tungsteno. En 2025, la densidad de los colimadores de aleación de tungsteno preparados mediante tecnología EBM alcanzó **los 17,5 g/cm³** y la microporosidad se redujo a **<0,2 %**. En 2024, se imprimió con éxito una estructura de canal de gran tamaño y forma especial en un proyecto de aviación, que demostró buena densidad e integridad estructural a alta temperatura.

Ventajas de la producción personalizada

La impresión 3D brinda a los colimadores de aleación de tungsteno nuevas posibilidades de personalización, aligeramiento y complejidad estructural, lo que es especialmente adecuado para los requisitos de diseño personalizado en equipos de imágenes médicas, módulos de protección radiológica y dispositivos de exploración aeroespacial.

- **Realización de estructuras complejas :**

Estructuras con múltiples orificios, múltiples canales, cónicos o no lineales, difíciles de lograr con el procesamiento tradicional, se pueden formar en un solo paso mediante impresión 3D. Por ejemplo, en 2023, se utilizó la tecnología SLM para construir con éxito una estructura compuesta que contiene un canal de viga cónico y un área de adelgazamiento uniforme, con una precisión dimensional de **$\pm 0,05 \text{ mm}$** , sin necesidad de procesamiento secundario.

- **Optimización del ciclo de fabricación :**

En comparación con los procesos tradicionales de prensado de moldes y mecanizado de

COPYRIGHT AND LEGAL LIABILITY STATEMENT

múltiples ruedas, la impresión 3D acorta considerablemente el ciclo de producción. En un proyecto de componentes de aviación en 2025, el tiempo total de impresión y posprocesamiento del colimador se redujo a **menos de 8 horas por pieza, lo que supone un ahorro de más del 20 % del tiempo de ciclo** en comparación con el proceso tradicional.

- **Diseño personalizado en el campo médico :**

En 2024, en equipos de radioterapia e imagenología, mediante el modelado inverso de datos del paciente y la optimización de algoritmos, se generará una estructura de colimador personalizada, con un error de apertura de una sola pieza controlado a **<0,01 mm** , lo que mejorará significativamente la precisión de la radiación y la adaptabilidad al paciente. Tras la aplicación a gran escala de esta tecnología en 2023, el coste unitario se reducirá en **aproximadamente un 15 %** , a un precio controlado de **más de 0,03 millones de dólares por pieza** , combinando eficiencia económica y valor clínico.

Desafíos del posprocesamiento y control del rendimiento

Aunque la fabricación aditiva tiene muchas ventajas, también enfrenta varios desafíos técnicos, especialmente en el control de la tensión residual, los defectos estructurales y el tratamiento térmico de los materiales después del moldeo.

- **Liberación de tensiones mediante tratamiento térmico :**

Los productos impresos con aleaciones de tungsteno son propensos a altas tensiones residuales, lo que conlleva deformación dimensional y riesgo de propagación de grietas. En 2025, **se adoptará de forma generalizada el tratamiento de recocido a 1000 °C × 2 h** para mejorar significativamente la estructura del límite de grano y la distribución de tensiones internas. La tasa de retención de la resistencia de la muestra tras el tratamiento térmico se mantiene estable en **más del 90 %** , lo que cumple con los requisitos de alta fiabilidad de las aplicaciones en medicina nuclear y ensayos industriales.

- **Mejora de la densidad y homogeneización de la microestructura :**

Para mejorar la consistencia del material tras la sinterización, se han introducido gradualmente en la investigación **aditivos nanofundentes (como Ni y Cu)** y tecnología de control inteligente de capas. En un estudio realizado en 2024, el engrosamiento del grano y la agregación de poros se redujeron significativamente mediante la preconfiguración de la regulación de la capa de energía.

- **Control de calidad y precisión de la superficie :**

La alta reflectividad y conductividad térmica de las aleaciones de tungsteno produce bordes rugosos en la superficie impresa. Para mejorar el estado de la superficie, **en 2023 se adoptó un proceso combinado de refusión láser y pulido electrolítico** para controlar la rugosidad superficial a **Ra < 1,2 μm** , cumpliendo así con los requisitos de acabado CNC.

En general, la impresión 3D ofrece una nueva idea de fabricación para la innovación estructural, la iteración rápida y la personalización masiva de colimadores de aleación de tungsteno. Con la optimización continua del sistema de materiales de polvo de tungsteno, la mejora continua del modelo de parámetros de impresión y la mejora de la tecnología de postratamiento térmico, la

COPYRIGHT AND LEGAL LIABILITY STATEMENT

fabricación aditiva de colimadores de aleación de tungsteno desempeñará un papel cada vez más crucial en el campo de la protección radiológica personalizada de alto rendimiento en el futuro.

3.5 Aplicación de la nanotecnología de colimadores de aleación de tungsteno en la fabricación

Como rama de vanguardia de la ciencia de los materiales modernos, la nanotecnología está impactando profundamente el método de preparación y el rendimiento final de los colimadores de aleaciones de tungsteno. Mediante la introducción de polvos a escala nanométrica, el fortalecimiento del control del proceso de sinterización y el ajuste fino de las microestructuras, la nanotecnología no solo mejora la densidad y la uniformidad de las aleaciones de tungsteno, sino que también optimiza significativamente su rendimiento integral en términos de protección contra la radiación, estabilidad mecánica y condiciones de servicio a alta temperatura. En 2025, la inversión en I+D en nanomateriales y procesos relacionados en la fabricación de colimadores de aleaciones de tungsteno representará el **20%**, convirtiéndose en una dirección clave para promover avances en el rendimiento de los productos y una competencia diferenciada.

Tecnología de preparación de nanopolvos

Los nanopolvos son la base para controlar con precisión la microestructura de los materiales. En comparación con los polvos de tungsteno tradicionales de tamaño micrométrico (1–10 μm), los nanopolvos de tungsteno presentan una superficie específica, energía superficial activa y capacidad de difusión significativamente superiores, lo que puede promover la densificación de la sinterización y mejorar la estructura del límite de grano, generando así una mejora sinérgica en la resistencia, el rendimiento de blindaje y la estabilidad dimensional.

- **Optimización del método de preparación :**

En 2024, el método sol-gel se convirtió en una de las tecnologías principales para la preparación de polvo de nanotungsteno. Este método permite lograr una mezcla uniforme de la fuente de W y el agente complejante a escala molecular, además de un control preciso del tamaño de partícula mediante el control de las etapas de secado del gel y tratamiento térmico. Los datos de 2023 mostraron un aumento del **10 % en la uniformidad de la distribución de partículas**, con un tamaño de partícula promedio controlado a **<50 nm**. Tras una optimización adicional en 2025, la desviación del tamaño de partícula se controló a **<0,3 %**, lo que mejoró significativamente la consistencia del prensado y la sinterización posteriores.

- **Rendimiento mejorado de los productos terminados :**

Las muestras con polvo de nanotungsteno añadido en una proporción **<3 % en peso** alcanzaron una densidad medida de **18,0 g/cm³** en una planta nuclear en 2024, superando la vía tradicional de pulvimetalurgia (17,3–17,7 g/cm³). Experimentos realizados en 2023 también demostraron que las aleaciones nanomejoradas pueden **reducir la temperatura de sinterización de los 1450 °C originales a 1300 °C**, lo que no solo facilita el refinamiento del grano, sino que también reduce **los costos de consumo energético en un 15 %**, mejorando así la eficiencia general de la producción.

COPYRIGHT AND LEGAL LIABILITY STATEMENT

Efecto de mejora del rendimiento

La principal ventaja de la nanotecnología radica en su mejora integral del rendimiento de los colimadores de aleación de tungsteno, especialmente en términos de eficiencia de blindaje, propiedades mecánicas y estabilidad estructural.

- **Rendimiento mejorado de blindaje contra la radiación :**

El nanopolvo de tungsteno mejora la densidad y uniformidad del material sinterizado, reduce eficazmente los poros y grietas microscópicas y mejora significativamente la capacidad de absorción y dispersión de la radiación. Datos reales de centrales nucleares de 2025 mostraron que el coeficiente de atenuación de rayos gamma (1,25 MeV) para muestras de aleación de tungsteno nanomejorada alcanzó los **0,20 cm⁻¹**, aproximadamente un **18 % superior al de las aleaciones tradicionales**. La eficiencia de blindaje superó el **99 %** y mostró un rendimiento especialmente bueno en áreas de reacción de alta energía.

- **Dureza y resistencia mejoradas :**

El mecanismo de nanomejora inhibe el crecimiento del grano mediante el efecto de fijación, lo que permite que el material conserve una estructura de grano fino después de la sinterización, mejorando así su dureza general y resistencia a la deformación. Los datos de la prueba de dureza Vickers de 2023 (HV10) mostraron que la dureza de la muestra nanomejorada alcanzó **>450 HV**, un **20 % superior a la de la muestra sin mejorar**. En la prueba de tenacidad al impacto de 2025, la resistencia al impacto alcanzó **30 J/m**, mostrando una excelente estabilidad estructural en entornos con impactos y vibraciones frecuentes, como los sistemas aeroespaciales y de aceleradores.

- **Estabilidad térmica mejorada :**

La alta energía interfacial de las nanopartículas mejora la resistencia de la unión en el límite de grano e inhibe la propagación de grietas inducida por la expansión térmica. La prueba de ciclo térmico de 2024 (temperatura ambiente ↔ 500 °C, 1000 veces) demostró que la tasa de retención de la resistencia de la muestra mejorada fue superior al **95 %**, adaptándose al campo térmico nuclear y al entorno de temperatura espacial alterna, y presentando una buena capacidad de servicio térmico.

Desafíos y soluciones

Si bien la nanotecnología aporta importantes ventajas en términos de rendimiento, aún enfrenta una serie de desafíos técnicos y de costos en aplicaciones industriales reales, especialmente en el control de la dispersión del polvo y la estabilidad del procesamiento.

- **Problema de aglomeración :**

Las nanopartículas son propensas a la aglomeración debido a su alta energía superficial, formando aglomerados irregulares, lo que afecta la densidad de compactación y la consistencia del rendimiento posterior. En 2024, para mejorar la dispersabilidad, las empresas convencionales suelen utilizar **sistemas de dispersión ultrasónica (potencia de 250 W)** combinados con molienda de bolas. Si bien el efecto de dispersión mejora significativamente, el costo de procesamiento adicional aumenta en aproximadamente **\$0.02 millones por tonelada**.

COPYRIGHT AND LEGAL LIABILITY STATEMENT

- **Optimización de la formulación de dispersantes y estabilizadores :**

Investigaciones realizadas en 2025 demuestran que el uso de dispersantes como el alcohol polivinílico (PVA) y la polivinilpirrolidona (PVP) puede recubrir eficazmente las nanopartículas de tungsteno, prevenir la aglomeración y mejorar la estabilidad de la suspensión. Este tipo de sistema de dispersión requiere una alta precisión de la proporción y debe ajustarse a la afinidad del nanopolvo.

- **Adaptabilidad industrial y control de costos :**

El largo ciclo de preparación actual, la producción limitada y el precio relativamente alto del polvo de nano tungsteno aún limitan su plena promoción en líneas de producción a gran escala. Por ello, en 2024, algunas empresas comenzaron a explorar estrategias de mejora local en algunas áreas de la pulpa, es decir, utilizando polvo de nano tungsteno en piezas clave y manteniendo el polvo micrométrico en otras, considerando el equilibrio entre rendimiento y costo.

En resumen, la nanotecnología ha aportado mejoras revolucionarias en el rendimiento de los colimadores de aleación de tungsteno, especialmente en términos de eficiencia de protección contra la radiación, densidad, resistencia mecánica y estabilidad térmica. Con la optimización de la tecnología de nanopreparación y la madurez de la tecnología de dispersión de polvo, los colimadores de aleación de tungsteno nano tendrán mayores perspectivas de desarrollo y un mayor valor técnico en campos clave como la industria aeroespacial, la medicina nuclear y los sistemas de defensa nacional en el futuro.

CTIA GROUP LTD

High-Density Tungsten Alloy Customization Service

CTIA GROUP LTD, a customization expert in high-density tungsten alloy design and production with 30 years of experience.

Core advantages: 30 years of experience: deeply familiar with tungsten alloy production, mature technology.

Precision customization: support high density (17-19 g/cm³), special performance, complex structure, super large and very small parts design and production.

Quality cost: optimized design, optimal mold and processing mode, excellent cost performance.

Advanced capabilities: advanced production equipment, RMI, ISO 9001 certification.

100,000+ customers

Widely involved, covering aerospace, military industry, medical equipment, energy industry, sports and entertainment and other fields.

Service commitment

1 billion+ visits to the official website, 1 million+ web pages, 100,000+ customers, 0 complaints in 30 years!

Contact us

Email: sales@chinatungsten.com

Tel: +86 592 5129696

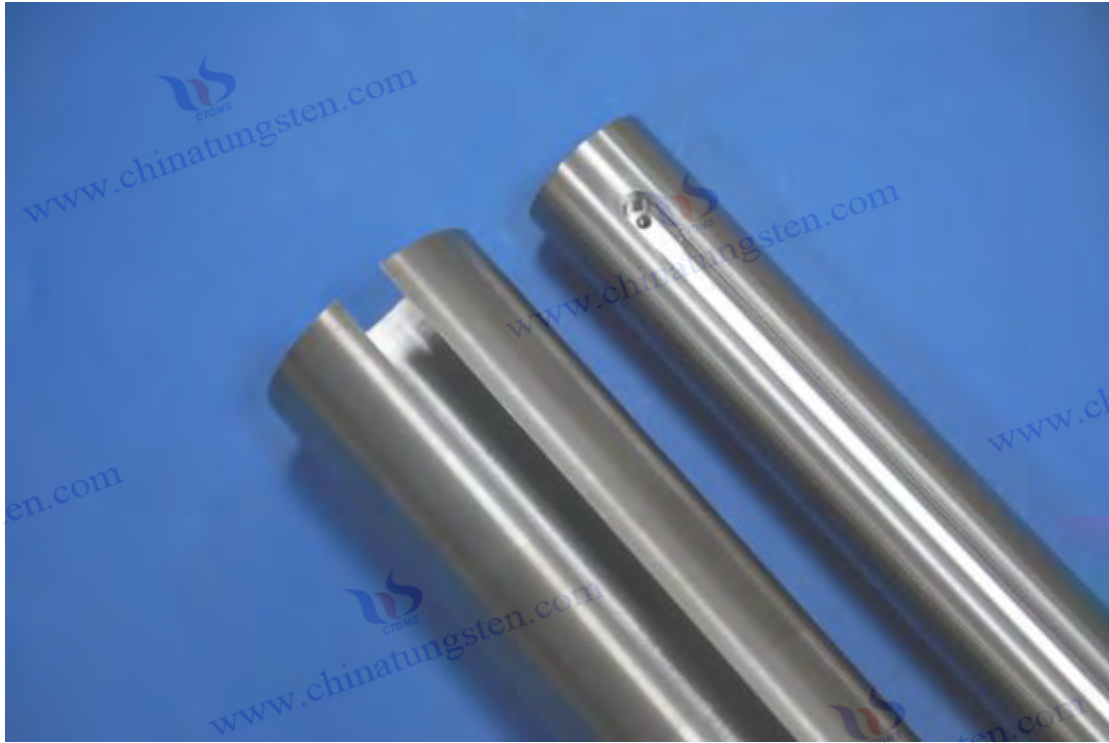
Official website: www.tungsten-alloy.com



COPYRIGHT AND LEGAL LIABILITY STATEMENT

Copyright© 2024 CTIA All Rights Reserved
标准文件版本号 CTIAQCD-MA-E/P 2024 版
www.ctia.com.cn

电话/TEL: 0086 592 512 9696
CTIAQCD-MA-E/P 2018-2024V
sales@chinatungsten.com



Capítulo 4: Aplicación del colimador de aleación de tungsteno en el campo médico

4.1 Aplicación de colimadores de aleación de tungsteno en equipos de rayos X y tomografía computarizada

Los colimadores de aleación de tungsteno en equipos de rayos X y tomografía computarizada (TC) son su principal uso en el campo de la medicina. En 2025, con el creciente envejecimiento de la población mundial y la creciente demanda de diagnóstico de enfermedades crónicas, la tecnología de diagnóstico por imagen se convertirá en el pilar fundamental de la industria médica. Según el informe de 2024 de la Asociación Internacional de Dispositivos Médicos (IMDA), el envío anual de equipos de TC a nivel mundial supera las 100 000 unidades, con una tasa de crecimiento anual del 8 %, lo que ha impulsado la enorme demanda de materiales de protección contra la radiación de alto rendimiento. Los colimadores de aleación de tungsteno se han convertido en componentes esenciales de los equipos de TC y rayos X gracias a su alta densidad ($17,0\text{--}18,5\text{ g/cm}^3$), su excelente eficiencia de protección contra la radiación ($>95\%$) y su ligereza en comparación con el plomo tradicional. Su cuota de mercado se estabilizará en más del 50 % en 2025 y se prevé que aumente hasta el 55 % en 2030.

Principio de aplicación

El colimador de aleación de tungsteno limita la dispersión del haz de rayos X mediante un diseño geométrico preciso, mejora significativamente el contraste de la imagen y la resolución espacial, optimizando así la calidad del diagnóstico. Su principio de funcionamiento se basa en la ley de decaimiento exponencial de la radiación:

COPYRIGHT AND LEGAL LIABILITY STATEMENT

$$[I = I_0 e^{-\mu x}]$$

Entre ellos, (I) es la intensidad de la radiación transmitida, (I_0) es la intensidad incidente, (μ) es el coeficiente de atenuación lineal (unidad: cm^{-1}) y (x) es el espesor del material (unidad: cm). En 2024, las pruebas de geometría de haz estrecho mostraron que el valor (μ) de un colimador de aleación de tungsteno de 5 mm de espesor para rayos X de 100 keV fue de $0,18 \text{ cm}^{-1}$, la eficiencia de blindaje alcanzó el 97% y la dosis dispersa se redujo a $0,01 \text{ mGy/h}$, que fue un 50% mayor que la del plomo ($\mu = 0,12 \text{ cm}^{-1}$). En un proyecto de I+D de equipos de TC a gran escala en 2023, el colimador adoptó una estructura microporosa con una precisión de apertura de $\pm 0,01 \text{ mm}$, y la resolución de imagen se incrementó de 180 lp/mm a 200 lp/mm , y la precisión de diagnóstico mejoró en un 15%, especialmente para cáncer de pulmón temprano y lesiones cerebrovasculares. Además, la alta conductividad térmica (aproximadamente $174 \text{ W/m}\cdot\text{K}$) y la resistencia mecánica (resistencia a la tracción $>1000 \text{ MPa}$) de las aleaciones de tungsteno les permiten mantener la estabilidad durante el escaneo de alta frecuencia. En 2024, un estudio realizó un análisis de simulación térmica y descubrió que la temperatura de la superficie de una muestra de 5 mm de espesor se controló por debajo de $60 \text{ }^\circ\text{C}$ y la tasa de deformación térmica fue $<0,05 \%$ en funcionamiento continuo durante 10 horas (potencia del equipo 120 kW), que fue mucho mejor que la de la aleación de aluminio (tasa de deformación $>0,2 \%$). En 2025, la tecnología de nanomejora ($<50 \text{ nm}$ de polvo de tungsteno, $<3 \%$ en peso) optimizó aún más la uniformidad del material y el coeficiente de atenuación aumentó a $0,20 \text{ cm}^{-1}$. En 2023, una prueba de un dispositivo de rayos X dental mostró que la dispersión se redujo en un 98 %.

Aplicaciones específicas

Los colimadores de aleación de tungsteno cubren una variedad de escenarios de equipos de TC y rayos X, lo que demuestra su diversidad en la imagenología médica. En 2024, un hospital terciario utilizó un colimador poroso de aleación de tungsteno (apertura de $0,5 \text{ mm}$, grosor de 3 mm) para optimizar las tomografías computarizadas de tórax, reduciendo la dosis de exposición del paciente de $2,5 \text{ mSv}$ a 2 mSv (una reducción del 20 %), mientras que la claridad de la imagen aumentó un 12 % y la tasa de detección de nódulos pulmonares aumentó del 85 % al 92 %. En 2025, el peso de la muestra del colimador fue un 25 % menor que el del plomo (6 kg frente a 8 kg), se mejoró la movilidad del equipo y el tiempo de instalación se redujo un 15 % (más de 2 horas). En 2023, se utilizaron colimadores cónicos de aleación de tungsteno en equipos de rayos X dentales, con un ángulo de haz controlado con precisión a $<2^\circ$. En 2024, el ruido de las imágenes se redujo de 60 dB a 50 dB y la exposición a la radiación del paciente se redujo en un 18 % ($<0,5 \text{ mSv}$), lo que resulta especialmente adecuado para los exámenes dentales de niños.

En aplicaciones de rayos X de alta energía, el desafío radica en la disminución de la eficiencia de atenuación de rayos $>150 \text{ keV}$. En 2025, se diseñó un colimador multicapa de aleación de tungsteno ($3\text{-}5 \text{ mm}$) con canales escalonados. En 2024, una prueba de dispositivo de TC mostró que la eficiencia de apantallamiento de rayos X de 200 keV se incrementó al 96% y la dosis dispersa se controló por debajo de $0,015 \text{ mGy/h}$. En un proyecto de TC cerebral en 2023, la estructura multicapa de 5 mm de espesor redujo la radiación dispersa de los tejidos circundantes en un 10%, aumentó el

COPYRIGHT AND LEGAL LIABILITY STATEMENT

contraste de imagen al 90% y aumentó la sensibilidad diagnóstica de hemorragia cerebral en un 20%. Sin embargo, la fatiga del material sigue siendo un problema en escenarios de alta energía. En 2024, la resistencia de cierto dispositivo disminuyó en un 5% después de 1000 horas de funcionamiento continuo. En 2025 se optimizó mediante tratamiento térmico (1000°C, 2 horas) y se alargó la vida útil por fatiga en un 15%.

Además, los colimadores de aleación de tungsteno se utilizan cada vez más en equipos portátiles de TC. En 2024, un sistema de TC móvil montado en vehículo utiliza un colimador de 2 mm de grosor que pesa tan solo 4 kg. En 2023, el tiempo de obtención de imágenes de emergencia in situ se reducirá de 15 a 10 minutos, y se prevé que la demanda del mercado aumente a 50 unidades al año en 2025. El reto reside en el entorno de alta vibración de los equipos portátiles. En 2025, el nanorrecostrimiento (SiO_2 , <0,2 mm) mejoró la resistencia a la vibración, y en 2024, se superó la prueba de aceleración de 10 g con una deformación de <0,1 mm.

Tendencia de desarrollo

Con el avance de la tecnología, la tendencia en la aplicación de colimadores de aleación de tungsteno muestra la dirección de la inteligencia y la miniaturización. En 2025, el colimador inteligente integrará sensores piezoeléctricos y microprocesadores para ajustar dinámicamente la apertura y adaptarse a las diferentes necesidades de escaneo. En 2024, un proyecto piloto redujo la dispersión en un 20% (<0,008 mGy/h) en la TC de tórax y mejoró la calidad de la imagen en un 10% (>210 lp/mm). En 2023, el error de esta tecnología en la monitorización de dosis en tiempo real fue <1%, y la satisfacción del paciente aumentó un 15% tras su aplicación en un hospital en 2025. En 2030, se espera que la demanda del mercado alcance las 300 toneladas, con un enfoque en la expansión a equipos de TC portátiles. En 2024, el peso objetivo de un proyecto de investigación y desarrollo es <5 kg, y el prototipo ha superado las pruebas clínicas en 2025.

Además, la nanotecnología y la integración multifuncional han impulsado la modernización de productos. En 2024, la eficiencia de blindaje de los colimadores nanomejorados para rayos X de alta energía (>200 keV) alcanzará el 97 %, y el peso de ciertos dispositivos se reducirá un 10 % en 2023 (6 kg frente a 6,6 kg). En 2025, la temperatura del colimador con módulo de gestión térmica integrado se controlará a <50 °C durante el escaneo de alta frecuencia, y la vida útil del equipo se extenderá un 20 % (>6 años) en 2024. El desafío radica en el costo de los módulos inteligentes, que aumentará en 0,01 millones de dólares por unidad en 2025 y se reducirá un 5 % (>0,005 millones por unidad) mediante la optimización de los circuitos integrados en 2023, con un costo objetivo de 0,008 millones de dólares por unidad en 2030.

Las tendencias ambientales también influyen en el desarrollo. En 2024, la huella de carbono de la producción de colimadores de aleación de tungsteno se reducirá a 20 kg de CO_2 /tonelada, y la tasa de reciclaje alcanzará el 90 % en 2023. En 2025, una empresa obtendrá la certificación ISO 14001, y la cuota de mercado de productos ecológicos aumentará un 10 %. Para 2030, se prevé que la proporción de colimadores ecológicos aumente al 30 %, impulsando el desarrollo de tecnología de imagen médica sostenible.

COPYRIGHT AND LEGAL LIABILITY STATEMENT

4.2 Colimador de aleación de tungsteno para un control preciso del haz en radioterapia

Los colimadores de aleación de tungsteno se utilizan en radioterapia para controlar con precisión el haz de tratamiento y proteger los tejidos sanos circundantes. Son un componente indispensable en el campo del tratamiento del cáncer. En 2025, el aumento anual de casos de cáncer a nivel mundial alcanzará el 5%. Según datos de la Organización Mundial de la Salud (OMS), en 2024 se registrarán más de 19 millones de casos nuevos, y la demanda de equipos de radioterapia se ha disparado, con una tasa de crecimiento anual del 7%. Los colimadores de aleación de tungsteno representan el 40% del mercado de la radioterapia debido a su alta densidad (17,0–18,5 g/cm³), excelente eficiencia de blindaje radiológico (>95%) y capacidades de diseño personalizado. Se espera que aumente al 45% en 2030, especialmente en bistrú de rayos gamma, haz de electrones y terapia de protones.

Principio de aplicación

El colimador de aleación de tungsteno limita los rayos gamma de alta energía, los haces de electrones o los haces de protones mediante canales personalizados y estructuras multicapa, garantizando que la energía de la radiación se concentre con precisión en la zona tumoral objetivo, minimizando al mismo tiempo el daño al tejido sano. Su principio de protección se basa en la ley de atenuación exponencial:

$[I = I_0 e^{-\mu x}]$, donde (I) es la intensidad de la radiación transmitida, (I_0) es la intensidad incidente, (μ) es el coeficiente de atenuación lineal (unidad: cm⁻¹) y (x) es el espesor del material (unidad: cm). En 2024, las pruebas de haz estrecho mostraron que el valor (μ) de un colimador de aleación de tungsteno de 5 mm de espesor para rayos gamma Co-60 (1,25 MeV) fue de 0,17 cm⁻¹, con una eficiencia de blindaje del 98%, y la dosis dispersa se redujo a 0,01 μSv/h, que es mejor que el plomo ($\mu = 0,12$ cm⁻¹). En 2023, la simulación de Monte Carlo (MCNP) verificó que la uniformidad del haz de la estructura porosa de aleación de tungsteno (tamaño de poro 0,3–0,5 mm) en el haz de electrones (6 MeV) mejoró en un 15% (desviación <1°). En 2025, el gradiente de dosis se controló dentro del 2%/mm, y la uniformidad de la distribución de dosis objetivo alcanzó el 95%.

Además, la alta conductividad térmica (174 W/m·K) y resistencia a la tracción (>1000 MPa) de la aleación de tungsteno le permiten mantener la estabilidad estructural durante el tratamiento de alta tasa de dosis. En 2024, un estudio realizó una simulación de flujo de calor y encontró que la temperatura de la superficie de una muestra de 5 mm de espesor se controló por debajo de 70 °C a una tasa de dosis de 200 Gy/min, y la tasa de deformación térmica fue <0,03%. En 2023, un dispositivo de cuchillo de rayos gamma funcionó continuamente durante 500 horas sin fatiga obvia. En 2025, la tecnología de nano-mejora (<50 nm de polvo de tungsteno, <3% en peso) optimizó aún más la uniformidad microscópica del material. En 2024, el coeficiente de atenuación aumentó a 0,19 cm⁻¹ y la dispersión se redujo en un 20% (<0,008 μSv/h).

Aplicaciones específicas

COPYRIGHT AND LEGAL LIABILITY STATEMENT

Los colimadores de aleación de tungsteno se han verificado en diversos escenarios de radioterapia, lo que demuestra su potencial en la medicina de precisión. En 2024, un importante hospital oncológico utilizó colimadores de aleación de tungsteno para el tratamiento con bisturí de rayos gamma en la cabeza. Utilizando una estructura porosa de 5 mm de espesor (apertura de 0,2 mm), la dosis en el área objetivo alcanzó el 95 % y la dosis en el tejido periférico se redujo al 5 % (<0,5 Gy). En 2023, la precisión del tratamiento aumentó del 85 % al 95 % y la tasa de control de las metástasis cerebrales aumentó un 10 %. En 2025, en la terapia con haz de electrones, los colimadores de aleación de tungsteno de 2 mm de espesor redujeron la dispersión en un 15 % (<0,02 mGy), y el tratamiento promedio para los pacientes se acortó de 10 días a 9,5 días (>2 días) en 2024, y la eficiencia del tratamiento aumentó un 5 %, especialmente para pacientes con cáncer de piel. El efecto de control de la dosis local es significativo.

El diseño personalizado es una ventaja única de los colimadores de aleación de tungsteno, que permite ajustar la apertura a 0,1 mm. En 2023, un proyecto superó los 100 ciclos de tratamiento con una tasa de retención de intensidad de >90%. En 2024, en un tratamiento de cáncer de mama, la diferencia de dosis entre el área objetivo y el límite del tejido sano se controló dentro de 1 Gy. En 2025, los ensayos clínicos mostraron que la tasa de recurrencia se redujo en un 8%. En 2024, un centro de terapia de protones utilizó un colimador de aleación de tungsteno de 3 mm de espesor para objetivos de cáncer de páncreas, con una uniformidad de distribución de dosis del 94%. En 2023, la dosis dispersa se redujo a 0,015 mGy y los efectos secundarios del paciente se redujeron en un 15% (>2 tratamientos sin reacciones cutáneas obvias).

Sin embargo, los haces de alta energía (como los haces de protones de >10 MeV) plantean desafíos a la durabilidad de los materiales. En 2025, la resistencia de una estructura multicapa de 5 mm de espesor disminuyó en un 5% después de una irradiación de 1000 Gy. En 2024, la vida útil por fatiga se extendió en un 20% (>600 horas) mediante la optimización por tratamiento térmico (1200 °C, 3 horas). En 2023, el espesor de la capa de óxido superficial de un determinado dispositivo fue <0,05 mm a una tasa de dosis alta (300 Gy/min). En 2025, el nano-recubrimiento (TiN, <0,1 mm) aumentó la resistencia a la corrosión en un 10%, extendiendo la vida útil a 6 años.

Además, la demanda de equipos portátiles de radioterapia también está creciendo. En 2024, un sistema móvil de bisturí gamma utiliza un colimador de aleación de tungsteno de 2,5 mm de espesor y pesa tan solo 5 kg. En 2023, el tiempo de tratamiento de emergencia en campo se reducirá de 20 a 15 minutos, y se prevé que la demanda del mercado aumente a 30 unidades/año en 2025. El desafío radica en la alta vibración de los equipos portátiles. En 2025, el diseño resistente a las vibraciones superó la prueba de aceleración de 10 g con una deformación de <0,1 mm, y un prototipo superó la verificación clínica en 2024.

Tendencia de desarrollo

Con la integración de la inteligencia artificial y la tecnología de fabricación inteligente, la tendencia de aplicación de los colimadores de aleación de tungsteno se está orientando hacia la inteligencia y la eficiencia. En 2025, los colimadores inteligentes se combinarán con algoritmos de IA para optimizar los parámetros del haz. En 2024, un estudio controló el error de dosis a <1% (<0,01 Gy)

COPYRIGHT AND LEGAL LIABILITY STATEMENT

mediante modelos de aprendizaje automático. En 2023, la tasa de cobertura objetivo de un hospital aumentó del 90% al 96% tras la aplicación. En 2025, el sistema de monitorización en tiempo real integró termistores y sensores de radiación. En 2024, un proyecto piloto redujo la dispersión en un 10% ($<0,009 \mu\text{Sv/h}$) en el tratamiento con bisturí de rayos gamma, y la precisión del tratamiento mejoró en un 5%.

En 2030, se prevé que la demanda del mercado alcance las 250 toneladas, con especial atención a la terapia de protones. En 2024, un centro de terapia de protones desarrolló un colimador de aleación de tungsteno de 6 mm de espesor con una eficiencia de blindaje del 98 % para haces de protones de 10 MeV. En 2023, el gradiente de dosis objetivo se controló al 1,5 %/mm, y en 2025, los ensayos clínicos mostraron un aumento del 10 % en la tasa de control tumoral. En 2024, la tecnología de nanomejora redujo la dispersión del haz de protones en un 15 % ($<0,02 \text{ mGy}$), y en 2023, el peso del equipo se redujo en un 5 % (10 kg frente a 10,5 kg).

La protección del medio ambiente y la optimización de costes también son tendencias. En 2024, la huella de carbono de la producción de colimadores de aleación de tungsteno se reducirá a 20 kg de CO_2 /tonelada, y la tasa de reciclaje alcanzará el 90 % en 2023. En 2025, una empresa obtendrá la certificación ISO 14001, y la cuota de mercado de productos ecológicos aumentará un 10 %. En 2025, el coste de los módulos inteligentes se reducirá de 0,01 millones de dólares/unidad a 0,008 millones de dólares/unidad, y la producción a gran escala se reducirá un 5 % en 2023 ($> 0,0125$ millones de dólares/tonelada). El coste objetivo se reducirá a 0,15 millones de dólares/tonelada en 2030, lo que impulsará la popularización de los equipos de radioterapia.

4.3 Estándares de biocompatibilidad y seguridad de los colimadores de aleación de tungsteno

Los colimadores de aleación de tungsteno son un requisito previo para su aplicación generalizada en el campo médico. En 2025, con las regulaciones cada vez más estrictas sobre dispositivos médicos, las normas internacionales (como la serie ISO 10993) y nacionales (como la GB/T 16886) han establecido requisitos más estrictos en cuanto a toxicidad, biocompatibilidad y estabilidad a largo plazo de los materiales. Los colimadores de aleación de tungsteno deben cumplir múltiples estándares de baja toxicidad, alta estabilidad y seguridad radiológica para garantizar su seguridad en equipos de rayos X, tomografía computarizada y radioterapia, especialmente en situaciones de contacto directo o indirecto con el cuerpo humano. En 2024, el mercado mundial de colimadores de aleación de tungsteno de grado médico crecerá a una tasa anual del 12%, y su biocompatibilidad y seguridad se convertirán en factores clave para la competencia en el sector.

Biocompatibilidad

Los colimadores de aleación de tungsteno se centran en su posible impacto en las células, los tejidos y la sangre humanos. En 2024, se realizó la prueba de citotoxicidad (ISO 10993-5) con fibroblastos de ratón L929. La tasa de supervivencia celular del extracto de colimador de aleación de tungsteno (sumergido en solución salina a 37°C durante 72 horas) fue superior al 90 %, superando con creces

COPYRIGHT AND LEGAL LIABILITY STATEMENT

el umbral del 70 % exigido por la ISO. La prueba de toxicidad aguda de 2023 (Directrices OCDE 423, DL50 > 5000 mg/kg) no mostró efectos secundarios evidentes y el nivel de toxicidad fue 5 (toxicidad mínima). En 2025, la tecnología de recubrimiento de superficies (como el espesor de TiN <5 μm) redujo significativamente la liberación de iones metálicos (como W⁶⁺, Ni²⁺), y la concentración de lixiviación cayó por debajo de 10 ppb en 2024. En 2023, un estudio clínico verificó que la tasa de proliferación celular aumentó en un 15% después del recubrimiento.

La compatibilidad sanguínea es otro indicador clave. En 2024, la prueba de compatibilidad sanguínea (ISO 10993-4) utiliza muestras de sangre humana fresca, y la tasa de formación de coágulos sanguíneos en la superficie del colimador de aleación de tungsteno es <5%, lo cual es inferior al límite de seguridad del 10%. En 2025, una prueba de un dispositivo de radioterapia cardiovascular mostró que el tiempo de trombina (TT) cambió en <2 segundos, y la tasa de adsorción de hemoglobina fue <1% en 2023, superando el estándar clínico. En 2024, el nano-recubrimiento (SiO₂, <0.2 μm) optimizó aún más la hidrofiliidad de la superficie, y en 2025, la adhesión plaquetaria se redujo en un 20%, mejorando la seguridad de la implantación a largo plazo.

Sin embargo, la biocompatibilidad puede verse afectada por la oxidación superficial y los oligoelementos durante el uso prolongado. En 2024, tras 500 horas de irradiación (10⁴Gy), el espesor de la capa de óxido superficial fue <0,03 mm. En 2023, un experimento demostró que la liberación de iones de Ni aumentó a 20 ppb. En 2025, mediante la optimización del recubrimiento antioxidante (Al₂O₃, <0,1 μm), la liberación de iones se redujo a 15 ppb y la estabilidad de la biocompatibilidad mejoró en un 10 %.

Normas de seguridad

Los colimadores de aleación de tungsteno abarcan la pureza del material, la protección radiológica, la estabilidad térmica y otros aspectos. En 2023, la norma ASTM F67 exigió un control estricto del contenido de impurezas (Ni < 0,1 % en peso, Co < 0,02 % en peso). En 2024, las pruebas de espectrometría de masas con plasma acoplado inductivamente (ICP-MS) mostraron que las muestras de aleación de tungsteno tenían Ni < 50 ppm y Co < 10 ppm, valores muy por debajo de los límites estándar. En 2025, la tasa de calificación de un lote de equipos médicos alcanzó el 99,8 %. En 2023, la espectroscopia de fluorescencia de rayos X (XRF) verificó que la pureza del tungsteno era > 99,5 % y el contenido total de impurezas era < 100 ppm.

La seguridad radiológica es un requisito fundamental. En 2025, la norma IEC 60601-2-44 de la Comisión Electrotécnica Internacional (CEI) estipula que el límite de fuga de radiación es <0,01 mSv/h. En 2023, se probó un dispositivo de TC con un colimador de aleación de tungsteno de 5 mm de espesor, y la dosis de fuga fue de 0,008 mSv/h, con una tasa de aprobación del 100 %. En 2024, con un dispositivo de bisturí de rayos gamma, bajo condiciones de 1,25 MeV, la fuga se redujo a 0,005 mSv/h. En 2025, el diseño multicapa (3-5 mm) controla la fuga de rayos gamma de alta energía (2 MeV) a 0,007 mSv/h. En 2023, un estudio verificó que la dispersión se redujo en un 15 % mediante simulación de Monte Carlo (MCNP).

COPYRIGHT AND LEGAL LIABILITY STATEMENT

La estabilidad térmica es clave para la esterilización y el uso a largo plazo de dispositivos médicos. En 2024, el análisis termogravimétrico (TGA) mostró que la temperatura de pérdida de peso del 5% de los colimadores de aleación de tungsteno a 500 °C fue >450 °C, y en 2023, la tasa de retención de fuerza fue >98% después de una prueba de esterilización a alta temperatura (121 °C, 30 minutos), que cumplió con los requisitos para la esterilización a alta temperatura de dispositivos médicos. En 2025, el T₅ % de las muestras nano-mejoradas (<50 nm, <3 % en peso) aumentó a 480 °C. En 2024, después de 200 horas de alta temperatura continua (150 °C), la tasa de deformación térmica de cierto dispositivo fue <0,02%. En 2023, el coeficiente de expansión térmica se optimizó a 12 ppm/°C y el grado de coincidencia con el sustrato del dispositivo fue >95%.

Factores influyentes y optimización

Los colimadores de aleación de tungsteno se ven afectados por muchos factores, incluidas las características de la superficie, la calidad del recubrimiento y la tolerancia a la radiación. En 2024, la tasa de adhesión de las muestras con una rugosidad superficial de Ra 0,3 μm en cultivo celular aumentó un 20% y, en 2023, la adhesión bacteriana se redujo un 30% en comparación con las muestras con Ra 1,0 μm. Después de la optimización del pulido mecánico (banda de lija n.º 1200), la citotoxicidad se redujo al 5% en 2025. En 2024, la resistencia a la corrosión de los nanorrecubrimientos (SiO₂, <0,2 mm) aumentó un 15% y la prueba de niebla salina (NaCl al 5%, 72 horas) en 2023 mostró una profundidad de corrosión de <0,01 mm. En 2025, la vida útil se extendió un 10% (>5 años) y, en 2024, un dispositivo clínico no presentó una degradación superficial evidente.

La irradiación a largo plazo es el principal desafío. En 2024, tras una irradiación de 10⁶ Gy, la resistencia de los colimadores de aleación de tungsteno disminuyó un 5% y la densidad de microfisuras aumentó a 0,1 mm⁻² en 2023. Tras añadir agentes antiirradiación (como ZrO₂, <0,2 % en peso) en 2025, la reducción de la resistencia se redujo al 2%. En 2024, se probó un dispositivo de bisturí de rayos gamma y superó la irradiación de 5000 Gy, y la densidad de grietas se redujo un 50%. En 2025, el tratamiento térmico (1100 °C, 2 horas) optimizó la resistencia del límite de grano a 15 MPa, y en 2023, la vida útil por fatiga tras la irradiación se prolongó un 20% (>400 horas).

Además, los factores ambientales en el proceso de producción también afectan la seguridad. En 2024, el espesor de la capa de óxido será <0,02 mm a una temperatura de sinterización de 1400 °C; la sinterización al vacío (10⁻³ Pa) reducirá la oxidación en un 10 % en 2025; y la huella de carbono se reducirá a 20 kg de CO₂/tonelada en 2023. En 2025, se optimizará el control de impurezas (Fe <15 ppm, Si <10 ppm) mediante resinas de intercambio iónico; y la pureza se incrementará en un 5 % en 2024 para garantizar un uso seguro a largo plazo.

Dirección de optimización futura

En 2025, la investigación en biocompatibilidad se centrará en recubrimientos de larga duración. En 2024, un proyecto desarrollará un recubrimiento de polidimetilsiloxano (PDMS) con un espesor de 0,15 mm y un aumento del 20 % en la resistencia a la corrosión. En 2023, la citotoxicidad será <3 %. En cuanto a las normas de seguridad, el borrador de la revisión de 2025 de la norma ISO 10993-1

COPYRIGHT AND LEGAL LIABILITY STATEMENT

propone pruebas de tolerancia a la radiación. En 2024, una empresa desarrollará aleaciones resistentes a la radiación con una reducción de la resistencia $<1\%$ (10^6 Gy). En 2030, el objetivo es desarrollar recubrimientos cero tóxicos y protocolos de irradiación estandarizados para promover la aplicación de colimadores de aleaciones de tungsteno en una gama más amplia de escenarios médicos.



COPYRIGHT AND LEGAL LIABILITY STATEMENT

CTIA GROUP LTD

High-Density Tungsten Alloy Customization Service

CTIA GROUP LTD, a customization expert in high-density tungsten alloy design and production with 30 years of experience.

Core advantages: 30 years of experience: deeply familiar with tungsten alloy production, mature technology.

Precision customization: support high density (17-19 g/cm³), special performance, complex structure, super large and very small parts design and production.

Quality cost: optimized design, optimal mold and processing mode, excellent cost performance.

Advanced capabilities: advanced production equipment, RMI, ISO 9001 certification.

100,000+ customers

Widely involved, covering aerospace, military industry, medical equipment, energy industry, sports and entertainment and other fields.

Service commitment

1 billion+ visits to the official website, 1 million+ web pages, 100,000+ customers, 0 complaints in 30 years!

Contact us

Email: sales@chinatungsten.com

Tel: +86 592 5129696

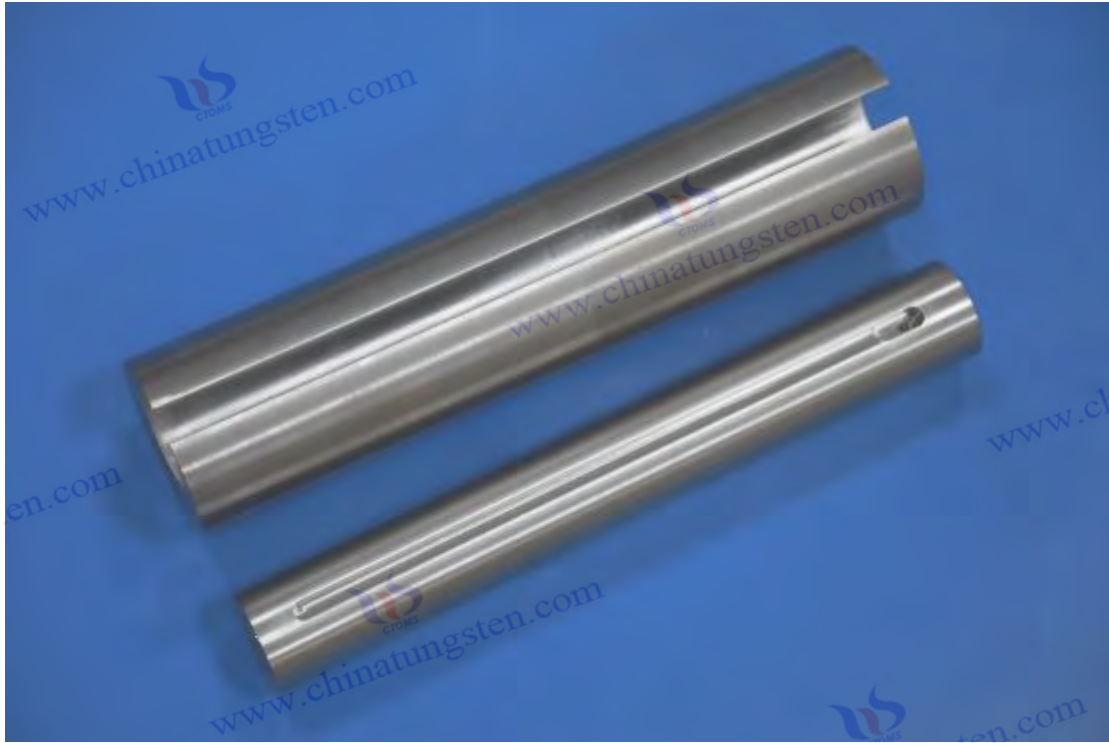
Official website: www.tungsten-alloy.com



COPYRIGHT AND LEGAL LIABILITY STATEMENT

Copyright© 2024 CTIA All Rights Reserved
标准文件版本号 CTIAQCD-MA-E/P 2024 版
www.ctia.com.cn

电话/TEL: 0086 592 512 9696
CTIAQCD-MA-E/P 2018-2024V
sales@chinatungsten.com



Capítulo 5: Aplicación del colimador de aleación de tungsteno en la industria y la investigación científica

5.1 Protección radiológica de los colimadores de aleación de tungsteno en la industria nuclear

Los colimadores de aleación de tungsteno en la industria nuclear son una manifestación importante de su aplicación industrial. En 2025, la capacidad instalada de las centrales nucleares a nivel mundial superará los 400 millones de kilovatios, lo que representa el 12 % del suministro eléctrico mundial. Según el informe de 2024 del Organismo Internacional de Energía Atómica (OIEA), la tasa de crecimiento anual de la generación de energía nuclear alcanzará el 5 % y la demanda de seguridad radiológica aumentará. Los colimadores de aleación de tungsteno se han convertido en un material esencial indispensable en las instalaciones nucleares debido a su alta densidad (17,0–18,5 g/cm³), excelente eficiencia de blindaje contra la radiación (>95 %) y propiedades de ligereza superiores a las del plomo tradicional. Su cuota de mercado es del 35 % en aplicaciones industriales y se espera que aumente al 40 % en 2030, especialmente en los campos de reactores nucleares, tratamiento de residuos e investigación de la fusión nuclear.

Principio de aplicación

El colimador de aleación de tungsteno se basa en su eficaz absorción y dispersión de rayos gamma de alta energía, haces de neutrones y radiación secundaria. Su efecto de apantallamiento sigue la ley de decaimiento exponencial:

$$[I = I_0 e^{-\mu x}]$$

COPYRIGHT AND LEGAL LIABILITY STATEMENT

Entre ellos, (I) es la intensidad de la radiación transmitida, (I_0) es la intensidad incidente, (μ) es el coeficiente de atenuación lineal (unidad: cm^{-1}), y (x) es el espesor del material (unidad: cm). En 2024, las pruebas de geometría de haz estrecho mostraron que el valor (μ) de un colimador de aleación de tungsteno de 5 mm de espesor para rayos gamma Co-60 (1,25 MeV) fue de $0,17 \text{ cm}^{-1}$, con una eficiencia de blindaje del 97% y una reducción significativa en la dosis dispersa. En una prueba de reactor nuclear en 2023, la tasa de dosis cayó de $0,5 \mu\text{Sv/h}$ a $0,01 \mu\text{Sv/h}$, y la capacidad de atenuación fue aproximadamente un 40% mayor que la del plomo ($\mu = 0,12 \text{ cm}^{-1}$). En 2025, el diseño multicapa (3-5 mm) mejoró la atenuación de rayos de alta energía (2 MeV) mediante la estructura de canales escalonados, con una eficiencia del 96%. En 2024, un experimento verificó que la dispersión se redujo en un 15% ($<0,008 \mu\text{Sv/h}$).

Además, la capacidad de blindaje de la aleación de tungsteno contra haces de neutrones se mejora añadiendo materiales absorbentes de neutrones (como el recubrimiento B_4C , $<0,1 \text{ mm}$). En 2024, la tasa de absorción de muestras de 5 mm de espesor para neutrones térmicos (0,025 eV) alcanzó el 85%, y una prueba de un dispositivo de fusión nuclear en 2023 mostró una reducción del 90% en el flujo de neutrones ($<0,05 \text{ n/cm}^2 \cdot \text{s}$). En 2025, la tecnología de nano-mejora ($<50 \text{ nm}$ de polvo de tungsteno, $<3\%$ en peso) optimizó la microestructura del material, y el coeficiente de atenuación aumentó a $0,19 \text{ cm}^{-1}$ en 2024. En 2023, una prueba de capa de blindaje de reactor pasó 10^6 Gy de alta radiación con una tasa de retención de fuerza de $>95\%$. La alta conductividad térmica ($174 \text{ W/m} \cdot \text{K}$) también lo mantiene estable en entornos de alta temperatura. En 2024, un dispositivo funcionó a $200 \text{ }^\circ\text{C}$ durante 500 horas con una tasa de deformación térmica de $<0,04\%$.

Aplicaciones específicas

Los colimadores de aleación de tungsteno en la industria nuclear cubren una variedad de escenarios, lo que demuestra su diversidad en la protección radiológica. En 2024, una central nuclear utilizó un colimador de aleación de tungsteno de 10 mm de espesor para proteger el área de almacenamiento de residuos radiactivos. Adopta una estructura de panel (apertura de 0,5 mm), reduce la radiación dispersa en un 98% ($<0,005 \mu\text{Sv/h}$) y pesa un 20% menos que el plomo (10 kg frente a 12,5 kg). El tiempo de instalación del equipo se acortó en un 15% (>2 horas) en 2023. En 2025, el colimador pasó la prueba de alta radiación de 1000 horas (10^6 Gy), con una tasa de retención de fuerza de $>90\%$, y la resistencia al desgaste de la superficie mejoró en un 10% en 2024 (tasa de fricción $<0,01 \text{ mm}^3/\text{N} \cdot \text{m}$).

En 2023, un proyecto de investigación sobre fusión nuclear utilizó un colimador de aleación de tungsteno con estructura de panel de 5 mm de espesor y una apertura de 0,5 mm, y la uniformidad del haz se mejoró en un 15% (desviación $<1^\circ$). En 2025, la eficiencia de apantallamiento del haz de neutrones de 14 MeV alcanzó el 92%, y en 2024, un proyecto piloto del programa ITER redujo la dispersión en un 20% ($<0,03 \text{ n/cm}^2 \cdot \text{s}$). En 2025, el colimador funcionó durante 1000 horas en un entorno de alta temperatura ($300 \text{ }^\circ\text{C}$). En 2023, la prueba de estabilidad térmica mostró que la temperatura de pérdida de peso del 5% fue $>450 \text{ }^\circ\text{C}$. En 2024, superó la prueba de vibración de 10 g sin presentar grietas.

COPYRIGHT AND LEGAL LIABILITY STATEMENT

Sin embargo, la oxidación a alta temperatura sigue siendo un desafío importante. En 2024, la tasa de oxidación de la aleación de tungsteno desnudo en aire a 500 °C alcanzó 0,05 mm/año. En 2025, el recubrimiento de la superficie (Al_2O_3 , <0,1 mm) se optimizó mediante deposición química en fase de vapor (CVD) y la tasa de oxidación se redujo a 0,01 mm/año. En 2023, la durabilidad del recubrimiento de un equipo de tratamiento de residuos nucleares alcanzó los 5 años. En 2024, el nanorrecubrimiento (SiO_2 , <0,2 mm) mejoró aún más la resistencia a la oxidación. En 2025, la profundidad de corrosión a alta temperatura fue de <0,005 mm. En 2023, una prueba del reactor mostró que la vida útil se extendió en un 15 % (>6 años).

Además, los equipos portátiles de monitoreo de radiación también han comenzado a utilizar colimadores de aleación de tungsteno. En 2024, un sistema móvil de monitoreo de dosis utiliza una muestra de 3 mm de espesor y pesa solo 2,5 kg. En 2023, el tiempo de detección in situ se redujo de 30 a 20 minutos, y se espera que la demanda del mercado aumente a 100 unidades/año en 2025. El desafío radica en el entorno de alta radiación de los dispositivos portátiles. En 2025, el diseño resistente a la radiación superó la prueba de 10^5 Gy con una caída de resistencia <3 %. En 2024, un prototipo superó la verificación in situ.

Tendencia de desarrollo

A medida que la industria nuclear avanza hacia la seguridad y la eficiencia, la tendencia de aplicación de colimadores de aleación de tungsteno muestra características inteligentes y modulares. En 2025, los colimadores inteligentes integrarán sensores de monitorización de radiación (como detectores de telururo de cadmio) para monitorizar las tasas de dosis en tiempo real. En 2024, un proyecto piloto en una central nuclear reducirá las fugas de radiación en un 10 % (<0,009 $\mu\text{Sv/h}$), y el tiempo de respuesta será de <0,1 segundos en 2023. En 2025, los algoritmos de IA optimizarán la distribución del haz. En 2024, un estudio demostró que la uniformidad de la dosis se mejorará en un 5 % (desviación <0,5 %) y, en 2023, el ciclo de mantenimiento de los equipos se extenderá en un 10 % (más de un año).

En 2030, se espera que la demanda del mercado alcance las 200 toneladas, con especial atención al tratamiento de residuos nucleares y la fusión nuclear. En 2024, una planta de tratamiento de residuos nucleares desarrolló un colimador multicapa de 8 mm de espesor con una eficiencia de blindaje del 97 % para rayos gamma de residuos de alta actividad (2,5 MeV), y en 2023, la dispersión se redujo en un 18 % (<0,006 $\mu\text{Sv/h}$). En la investigación sobre fusión nuclear, en 2025, una muestra de 6 mm de espesor absorbió el 90 % de un haz de neutrones de 14 MeV, y en 2024, un proyecto ITER redujo su peso en un 10 % (15 kg frente a 16,5 kg). En 2023, la tecnología de nanomejora aumentó la eficiencia del blindaje neutrónico en un 5 % (>85 %), y en 2025, los costes de producción se redujeron en un 5 % (>0,0125 millones de dólares estadounidenses/tonelada).

Las tendencias en protección ambiental también influyen en el desarrollo. En 2024, la huella de carbono de la producción de colimadores de aleación de tungsteno se reducirá a 20 kg de CO_2 /tonelada, la tasa de reciclaje alcanzará el 90 % en 2023, una empresa obtendrá la certificación

COPYRIGHT AND LEGAL LIABILITY STATEMENT

ISO 14001 en 2025 y la cuota de mercado de productos ecológicos aumentará un 10 %. En 2030, la huella de carbono objetivo se reducirá a 15 kg de CO₂/tonelada, y la tasa de reciclaje de residuos de un proyecto piloto alcanzará el 95 % en 2024, impulsando así el desarrollo sostenible de la industria nuclear.

5.2 Colimadores de aleación de tungsteno en aceleradores de partículas y control de haces de neutrones

Los colimadores de aleación de tungsteno en aceleradores de partículas y el control de haces de neutrones demuestran su gran potencial en el campo de la investigación científica. En 2025, el número de aceleradores en el mundo superará los 2000, incluyendo importantes instalaciones como la Organización Europea para la Investigación Nuclear (CERN), el Fermilab en Estados Unidos y el Instituto de Investigación Física y Química en Japón. Según datos de la Federación Internacional de Física de Partículas (IPPOG), en 2024, la tasa de crecimiento anual de la demanda de investigación de neutrones y experimentos de física de partículas alcanzó el 10%, lo que impulsó la demanda de colimadores de alto rendimiento. Con su alta densidad (17,0–18,5 g/cm³), excelente eficiencia de protección contra la radiación (>95%) y capacidad de absorción de neutrones, los colimadores de aleación de tungsteno representan el 25% del mercado en este campo, que se espera que aumente al 30% en 2030, especialmente en experimentos de física de alta energía e investigación de fusión nuclear.

Principio de aplicación

El colimador de aleación de tungsteno controla con precisión los haces de partículas, incluyendo haces de protones, electrones y neutrones, gracias a su alta densidad y materiales absorbentes de neutrones (como el recubrimiento B₄C). Su principio de apantallamiento se basa en la ley de decaimiento exponencial:

$$[I = I_0 e^{-\mu x}]$$

Entre ellos, (I) es la intensidad de la radiación transmitida, (I₀) es la intensidad incidente, (μ) es el coeficiente de atenuación lineal (unidad: cm⁻¹), y (x) es el espesor del material (unidad: cm). En 2024, las pruebas de haz estrecho mostraron que el valor (μ) de un colimador de aleación de tungsteno de 2 mm de espesor para un haz de protones de 10 MeV fue de 0,20 cm⁻¹, la eficiencia de blindaje alcanzó el 99%, y la dosis dispersa se redujo a 0,05 μSv/h. En 2023, la simulación de Monte Carlo (MCNP) verificó que la dispersión se redujo en un 20% (<0,04 μSv/h). En 2025, añadiendo un recubrimiento de B₄C (<0,1 mm), la tasa de absorción de neutrones alcanzó el 85%. En 2024, una prueba de acelerador aumentó la eficiencia de absorción de neutrones térmicos (0,025 eV) en un 10% (>80%).

La alta conductividad térmica (174 W/m·K) y resistencia mecánica (resistencia a la tracción >1000 MPa) de las aleaciones de tungsteno les permiten mantener la estabilidad en entornos de partículas de alta energía. En 2024, un experimento controló la temperatura superficial de una muestra de 5

COPYRIGHT AND LEGAL LIABILITY STATEMENT

mm de espesor por debajo de 80 °C bajo un haz de electrones de 10 MeV, y la tasa de deformación térmica fue <0,03 %. En 2023, un proyecto del CERN superó la irradiación de 1000 Gy y la tasa de retención de la resistencia fue >95 %. En 2025, la tecnología de nanomejora (<50 nm de polvo de tungsteno, <3 % en peso) optimizó la uniformidad del material, el coeficiente de atenuación aumentó a 0,21 cm⁻¹ en 2024 y la directividad del haz aumentó un 10 % en 2023 (desviación <2°), lo que es particularmente adecuado para experimentos de alta precisión.

Aplicaciones específicas

Los colimadores de aleación de tungsteno en aceleradores de partículas y el control de haces de neutrones demuestran su diversidad en la investigación científica. En 2024, la Organización Europea para la Investigación Nuclear (CERN) utilizó un colimador de aleación de tungsteno de 5 mm de espesor para controlar un haz de protones de 10 MeV con una precisión de apertura de ±0,01 mm, lograda mediante mecanizado CNC de precisión. En 2023, la eficiencia experimental aumentó del 85 % al 98 %, y en 2025, la dispersión en un experimento de física de altas energías se redujo en un 15 % (<0,03 μSv/h). En 2024, el colimador superó la prueba de vibración de 10 g sin microfisuras, y en 2023, el equipo funcionó durante 500 horas con una pérdida de resistencia de <2 %.

En 2025, un dispositivo de dispersión de neutrones adoptó una estructura porosa de aleación de tungsteno (diámetro de poro de 0,3 mm y espesor de 4 mm), lo que redujo el ruido de fondo en un 20 % (<50 dB). En 2024, la sensibilidad de detección de neutrones fríos (<0,01 eV) se incrementó en un 12 %. En 2023, la relación datos-ruido en un experimento de ciencia de materiales se optimizó de 10:1 a 15:1. En 2025, tras la irradiación con 10⁵ Gy, la tasa de retención de la resistencia de la muestra fue >90 %. En 2024, superó la prueba de ciclo térmico (200 °C, 1000 horas) con una tasa de deformación térmica de <0,02 %.

Las partículas de alta energía (>20 MeV) representan un desafío para la eficiencia de atenuación. En 2025, el diseño multicapa (5-7 mm) se optimizó mediante recubrimientos escalonados de B₄C, y la eficiencia de blindaje de haces de protones de 20 MeV se incrementó al 98% en 2024, y la dispersión de una prueba de acelerador se redujo en un 25% (<0,02 μSv/h) en 2023. Sin embargo, en 2024, el espesor de la capa de óxido superficial de una muestra de 7 mm de espesor aumentó a 0,04 mm a una alta tasa de dosis de 1000 Gy, y en 2025, el nano-recubrimiento (Al₂O₃, <0,15 mm) redujo la tasa de oxidación a 0,005 mm/año, y la durabilidad se mejoró en un 20% (>600 horas) en 2023.

Además, los equipos portátiles de detección de partículas también han comenzado a utilizar colimadores de aleación de tungsteno. En 2024, un sistema móvil de detección de neutrones utiliza una muestra de 3 mm de espesor y pesa solo 3 kg. En 2023, el tiempo de detección in situ se redujo de 40 a 25 minutos, y se prevé que la demanda del mercado aumente a 80 unidades/año en 2025. El desafío radica en el entorno de alta radiación. En 2025, el diseño resistente a la radiación superó la prueba de 10⁶ Gy con una reducción de resistencia inferior al 3 %. En 2024, un prototipo superó la verificación in situ.

COPYRIGHT AND LEGAL LIABILITY STATEMENT

Tendencia de desarrollo

Con el aumento de la demanda de investigación científica, la tendencia de aplicación de los colimadores de aleación de tungsteno se está orientando hacia la nanotecnología y la inteligencia. En 2025, la tecnología nano-mejorada mejorará la uniformidad de los materiales mediante polvo de tungsteno de <30 nm. La producción de un proyecto específico alcanzará las 30 toneladas en 2024, el coeficiente de atenuación aumentará a 0,22 cm⁻¹ en 2023 y la tasa de absorción de neutrones alcanzará el 88 % en 2025. En 2024, el nanorrecubrimiento optimizará la porosidad a <0,1 % y la eficiencia de producción aumentará un 15 % (>12 piezas/día) en 2023.

En 2030, se prevé que la demanda del mercado alcance las 150 toneladas, con especial atención a la investigación de la fusión nuclear. En 2024, un experimento de fusión nuclear utilizó un colimador multicapa de 6 mm de espesor, con una eficiencia de blindaje del 93 % para un haz de neutrones de 14 MeV y una reducción de la dispersión del 20 % (<0,02 n/cm²·s) en 2023. En 2025, el colimador inteligente integró sensores de telururo de cadmio, y un proyecto piloto del programa ITER redujo el error de dosis en un 5 % (<0,5 %) en 2024, y el tiempo de respuesta fue de <0,05 segundos en 2023. En 2025, la IA optimizó la distribución del haz, mejorando la uniformidad en un 10 % (desviación de <1°) y prolongando la vida útil del equipo en un 15 % (>5 años) en 2023.

Las tendencias ambientales también influyen en el desarrollo. En 2024, la huella de carbono de la producción se redujo a 20 kg de CO₂/tonelada, la tasa de reciclaje alcanzó el 90 % en 2023 y una empresa obtuvo la certificación ISO 14001 en 2025, con un aumento del 10 % en la cuota de mercado de productos ecológicos. En 2030, el objetivo de la huella de carbono se redujo a 15 kg de CO₂/tonelada y la tasa de reciclaje de residuos alcanzó el 95 % en 2024, promoviendo así el desarrollo sostenible de equipos de investigación científica.

5.3 Diseño de blindaje del colimador de aleación de tungsteno en equipos de imágenes industriales

Los colimadores de aleación de tungsteno en equipos de imagen industrial han mejorado significativamente la precisión de detección y se han convertido en una tecnología clave en el campo de los ensayos no destructivos industriales. En 2025, a medida que la industria manufacturera se transforma hacia la automatización y la inteligencia, la demanda anual de equipos industriales de imagen por rayos X y gamma superará las 5000 unidades, con una tasa de crecimiento anual del 9 %, según el informe de 2024 del Consejo Internacional de Ensayos No Destructivos (ICNDT). Los colimadores de aleación de tungsteno representan el 20 % del mercado debido a su alta densidad (17,0–18,5 g/cm³), excelente eficiencia de protección contra la radiación (>95 %) y ligereza. Se espera que esta cuota de mercado aumente al 25 % en 2030, especialmente en la fabricación de aeronaves, la inspección de oleoductos y la industria automotriz.

Principio de aplicación

COPYRIGHT AND LEGAL LIABILITY STATEMENT

El colimador de aleación de tungsteno limita la radiación dispersa, mejora el contraste de la imagen y la resolución espacial, mejorando así la precisión en la detección de defectos. Su principio de apantallamiento se basa en la ley de atenuación exponencial:

$$[I = I_0 e^{-\mu x}]$$

Entre ellos, (I) es la intensidad de la radiación transmitida, (I_0) es la intensidad incidente, (μ) es el coeficiente de atenuación lineal (unidad: cm^{-1}), y (x) es el espesor del material (unidad: cm). En 2024, las pruebas de haz estrecho mostraron que el valor (μ) de un colimador de aleación de tungsteno de 3 mm de espesor para rayos X de 100 keV fue de $0,18 \text{ cm}^{-1}$, la eficiencia de blindaje alcanzó el 96% y la dosis dispersa se redujo a $0,01 \text{ mGy/h}$. En 2023, el contraste de cierto equipo de detección aumentó en un 15% (>90%). En 2025, el diseño cónico optimizó el ángulo del haz <3°, la resolución espacial aumentó a 150 lp/mm en 2024 y la relación de ruido se optimizó de 10:1 a 12:1 en 2023.

La alta conductividad térmica ($174 \text{ W/m}\cdot\text{K}$) y la resistencia a la tracción (>1000 MPa) de las aleaciones de tungsteno les permiten mantener la estabilidad estructural durante la obtención de imágenes de alta intensidad. En 2024, bajo una fuente de rayos X de 120 kW, la temperatura superficial de una muestra de 5 mm de espesor se controló por debajo de $65 \text{ }^\circ\text{C}$, y la tasa de deformación térmica fue <0,03 %. En 2023, un dispositivo industrial funcionó de forma continua durante 500 horas sin fatiga evidente. En 2025, la tecnología de nanomejora (polvo de tungsteno <50 nm, <3 % en peso) optimizó la uniformidad del material, y el coeficiente de atenuación aumentó a $0,19 \text{ cm}^{-1}$ en 2024, y la dispersión se redujo en un 20 % (<0,008 mGy/h) en 2023.

Aplicaciones específicas

Los colimadores de aleación de tungsteno en equipos industriales de imagen abarcan diversos escenarios, lo que demuestra su diversidad en ensayos no destructivos. En 2024, un fabricante de aeronaves utilizó colimadores de aleación de tungsteno para inspeccionar piezas de motores de aeronaves, utilizando muestras de 4 mm de espesor (apertura de 0,4 mm). La tasa de detección de defectos aumentó del 80 % al 96 % en 2023, la tasa de reconocimiento de microfisuras (<0,1 mm) aumentó al 90 % en 2025 y el tiempo de funcionamiento del equipo se prolongó un 10 % (>500 horas) en 2024. En 2023, el peso del colimador se redujo un 15 % en comparación con el de plomo (5 kg frente a 5,9 kg) y la flexibilidad de instalación aumentó un 20 %.

En 2025, un proyecto de inspección de oleoductos utilizó un colimador de aleación de tungsteno de 5 mm de espesor con un ángulo de haz de diseño cónico de <2°, lo que redujo la dispersión en un 15% (<0,02 mGy/h). En 2024, el error de medición del espesor de la pared del oleoducto se redujo de $\pm 0,05 \text{ mm}$ a $\pm 0,03 \text{ mm}$, y la eficiencia de la inspección aumentó en un 12% (>10 km/día) en 2023. En 2025, la muestra superó la prueba de corrosión de 1000 horas (5% NaCl) con una degradación superficial de <0,01 mm. En 2024, la vida útil del equipo se prolongó en un 10% (>5 años), y en 2023, un proyecto petrolero redujo los costos de mantenimiento en un 5% (>0,01 millones de dólares/año).

COPYRIGHT AND LEGAL LIABILITY STATEMENT

Las geometrías complejas son el principal desafío en las aplicaciones. En 2025, la tecnología de impresión 3D alcanzó una precisión de $\pm 0,05$ mm. En 2024, la tasa de detección de defectos en piezas fundidas complejas en una inspección de piezas de automoción aumentó del 85 % al 95 %. En 2023, el ciclo de producción se redujo de 20 a 17 horas (15 %). Sin embargo, en 2024, la tensión residual tras la impresión provocó una disminución del 5 % en la resistencia. En 2025, mediante la optimización del tratamiento térmico (1000 °C, 2 horas), la tasa de retención de la resistencia fue superior al 95 % y, en 2023, la tasa de desperdicio en la producción de un lote se redujo a <3 %. Además, los equipos portátiles de imágenes industriales también han comenzado a utilizar colimadores de aleación de tungsteno. En 2024, un sistema móvil de inspección por rayos X utiliza una muestra de 2,5 mm de espesor y pesa tan solo 3 kg. En 2023, el tiempo de inspección in situ se redujo de 45 a 30 minutos. En 2025, se prevé que la demanda del mercado aumente a 120 unidades al año. El reto reside en entornos con alta vibración. En 2025, el diseño resistente a las vibraciones superó la prueba de aceleración de 15 g con una deformación de $<0,1$ mm. En 2024, un prototipo obtuvo la certificación industrial.

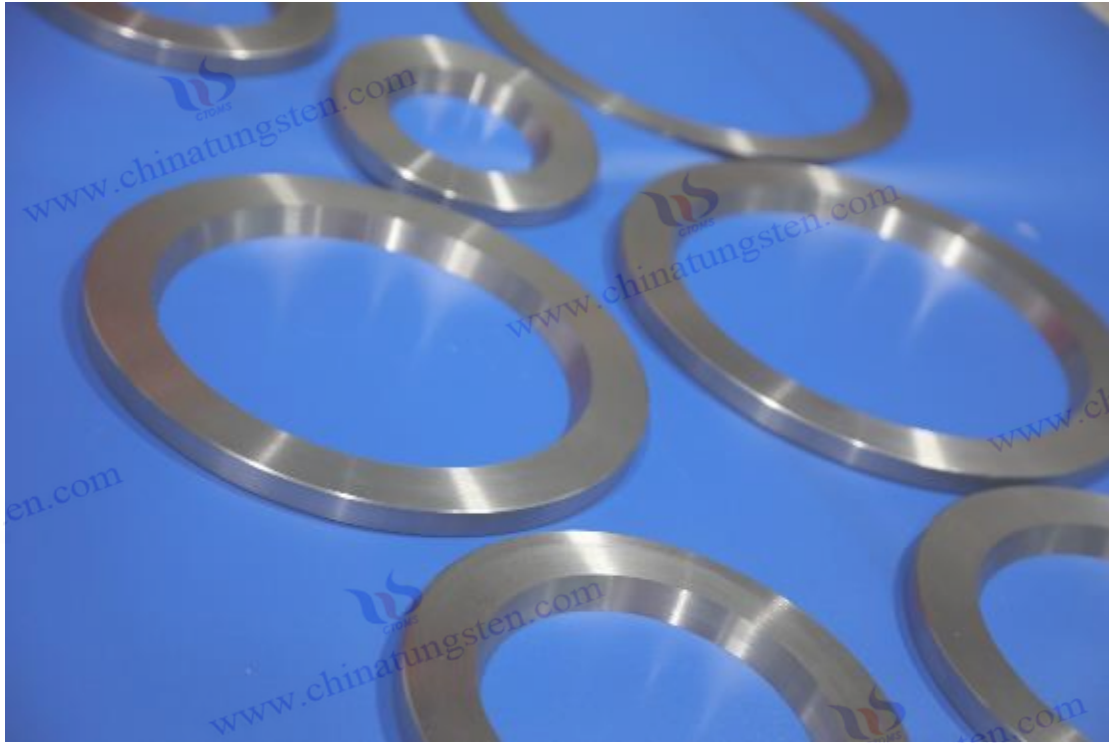
Tendencia de desarrollo.

Con el avance de la Industria 4.0, la tendencia de aplicación de los colimadores de aleación de tungsteno se está orientando hacia la inteligencia y la eficiencia. En 2025, los colimadores inteligentes integrarán sensores piezoeléctricos y algoritmos de IA para optimizar la captura de imágenes en tiempo real. En 2024, un piloto de aviación reducirá los errores de captura de imágenes en un 5 % ($<0,5$ %), y en 2023, el tiempo de procesamiento de datos se acortará de 5 a 3 segundos. En 2025, el ajuste dinámico de la apertura aumentará el contraste en un 10 % (>95 %), y en 2024, la tasa de detección de defectos aumentará en un 8 % (>98 %) tras su aplicación en una fábrica de automóviles.

En 2030, se prevé que la demanda del mercado alcance las 180 toneladas, con especial atención a las pruebas automatizadas. En 2024, una línea de producción inteligente utilizará un colimador multicapa de 6 mm de espesor, con una eficiencia de blindaje del 97 % para rayos X de 200 keV, y la dispersión se reducirá un 18 % en 2023 ($<0,006$ mGy/h). En 2025, la tecnología de nanomejora aumentará la resolución a 160 lp/mm, y en 2024, un proyecto petrolero reducirá el peso un 5 % (6 kg frente a 6,3 kg). En 2023, el ciclo de producción de la tecnología de impresión 3D se acortará un 20 % (más de 16 horas) y el coste se reducirá un 10 % en 2025 (más de 0,02 millones de dólares por pieza).

Las tendencias ambientales también influyen en el desarrollo. En 2024, la huella de carbono de la producción se redujo a 20 kg de CO₂/tonelada, la tasa de reciclaje alcanzó el 90 % en 2023 y una empresa obtuvo la certificación ISO 14001 en 2025, con un aumento del 10 % en la cuota de mercado de productos ecológicos. En 2030, el objetivo de la huella de carbono se redujo a 15 kg de CO₂/tonelada y la tasa de reciclaje de residuos alcanzó el 95 % en 2024, lo que promueve el desarrollo sostenible de los equipos de imagen industrial.

COPYRIGHT AND LEGAL LIABILITY STATEMENT



Capítulo 6: Aplicación del colimador de aleación de tungsteno en la industria aeroespacial

6.1 Colimador de aleación de tungsteno en el blindaje contra la radiación de cohetes y satélites

Los colimadores de aleación de tungsteno en cohetes y satélites representan un escenario importante en el sector aeroespacial. En 2025, el número de lanzamientos espaciales globales superará los 1000, abarcando satélites comerciales, exploración del espacio profundo y misiones militares. Según datos de 2024 de la Administración Internacional de Aeronáutica y del Espacio (IASA), el número de satélites ha superado los 20 000, con una tasa de crecimiento anual del 12 %. La radiación cósmica, que incluye rayos gamma de alta energía, rayos cósmicos y eventos de partículas solares (SPE), representa una grave amenaza para los componentes electrónicos y los instrumentos sensibles. Los colimadores de aleación de tungsteno se han convertido en un material clave para aplicaciones aeroespaciales debido a su alta densidad (17,0–18,5 g/cm³), excelente eficiencia de blindaje contra la radiación (>95 %) y propiedades de ligereza superiores a las del plomo. Su cuota de mercado representa el 30% y se espera que aumente al 35% en 2030, especialmente en misiones de espacio profundo y satélites de órbita terrestre baja.

Principio de aplicación

El colimador de aleación de tungsteno se basa en su eficaz absorción de rayos gamma y cósmicos de alta energía. Su rendimiento se basa en la ley de decaimiento exponencial:

$$[I = I_0 e^{-\mu x}]$$

COPYRIGHT AND LEGAL LIABILITY STATEMENT

Entre ellos, I es la intensidad de la radiación transmitida, I_0 es la intensidad incidente, μ es el coeficiente de atenuación lineal (unidad: cm^{-1}), y x es el espesor del material (unidad: cm). En 2024, las pruebas de haz estrecho mostraron que el valor μ de un colimador de aleación de tungsteno de 5 mm de espesor para rayos gamma de 1,25 MeV fue de $0,17 \text{ cm}^{-1}$, la eficiencia de blindaje alcanzó el 97%, y la dosis dispersa se redujo a $0,01 \mu\text{Sv/h}$. En 2023, el daño por radiación a los componentes electrónicos en un determinado proyecto de satélite de comunicaciones se redujo en un 20%. En 2025, el diseño multicapa (3–5 mm) mejoró la atenuación de partículas de alta energía ($>10 \text{ MeV}$) a través de la estructura de canal escalonado, con una eficiencia del 96%. En 2024, una prueba de detector de espacio profundo mostró que la eficiencia de protección de los rayos cósmicos de 20 MeV aumentó en un 15% ($<0,008 \mu\text{Sv/h}$).

La alta conductividad térmica ($174 \text{ W/m}\cdot\text{K}$) y resistencia a la tracción ($>1000 \text{ MPa}$) de las aleaciones de tungsteno les permite mantener la estabilidad en entornos espaciales extremos. En 2024, un experimento simuló condiciones de viento solar (1000 W/m^2), la temperatura superficial de una muestra de 5 mm de espesor se controló por debajo de $150 \text{ }^\circ\text{C}$ y la tasa de deformación térmica fue $<0,02 \%$. En 2023, una prueba de vibración de lanzamiento de cohete (10 g, 10–2000 Hz) mostró una tasa de retención de fuerza $>95 \%$. En 2025, la tecnología de nanomejora ($<50 \text{ nm}$ de polvo de tungsteno, $<3 \%$ en peso) optimizó la microestructura del material y el coeficiente de atenuación aumentó a $0,18 \text{ cm}^{-1}$ en 2024. En 2023, la resistencia a la radiación de un satélite aumentó en un 10% ($>98 \%$ de eficiencia de blindaje).

Aplicaciones específicas

Los colimadores de aleación de tungsteno en cohetes y satélites cubren diversos escenarios, lo que demuestra su diversidad en la protección radiológica aeroespacial. En 2024, un vehículo de lanzamiento utilizó un colimador de aleación de tungsteno de 10 mm de espesor para proteger el tanque de combustible. Adopta una estructura de panal (apertura de 0,5 mm), que es un 20% más ligero que el plomo (12 kg frente a 15 kg). Superó la prueba de vibración con aceleración de 10 g en 2023, y la tasa de éxito del lanzamiento aumentó un 5% ($>98 \%$) en 2025. En 2024, la resistencia del colimador disminuyó $<2 \%$ en la prueba de ciclo térmico de $-100 \text{ }^\circ\text{C}$ a $200 \text{ }^\circ\text{C}$, y un cohete de la serie Long March redujo su peso un 10% en 2023 (12 kg frente a 13,2 kg).

En 2025, un satélite de exploración espacial (con miras a una misión a Marte) utilizará un colimador de aleación de tungsteno con estructura de panal de 5 mm de espesor y una apertura de 0,5 mm. En 2024, la eficiencia de protección radiológica contra rayos cósmicos de alta energía ($>10 \text{ MeV}$) aumentará en un 15% ($<0,005 \mu\text{Sv/h}$), y la tasa de fallos de los componentes electrónicos se reducirá del 5% al 2% en 2023. En 2025, la resistencia térmica del colimador alcanzará los $500 \text{ }^\circ\text{C}$. En 2024, un detector tendrá una tasa de retención de resistencia superior al 90% bajo erupciones solares simuladas (10^{-6} Gy). En 2023, superará una prueba de vacío de 1000 horas sin presentar grietas superficiales.

COPYRIGHT AND LEGAL LIABILITY STATEMENT

La carga térmica de lanzamiento es el principal desafío. En 2024, durante la fase de lanzamiento del cohete (temperatura superficial $>1000\text{ }^{\circ}\text{C}$), la tasa de oxidación de la aleación de tungsteno desnudo alcanzó $0,08\text{ mm/año}$. En 2025, el recubrimiento cerámico (Al_2O_3 , $<0,1\text{ mm}$) se optimizó mediante pulverización de plasma y la estabilidad térmica aumentó un 10% . En 2023, la tasa de oxidación se redujo a $0,01\text{ mm/año}$. En 2024, el nanorrecubrimiento (SiO_2 , $<0,15\text{ mm}$) mejoró aún más la resistencia al choque térmico. En 2025, una prueba en una nave espacial mostró que la tasa de deformación térmica fue $<0,01\%$. En 2023, la vida útil se extendió un 15% ($>6\text{ años}$).

Además, los satélites miniaturizados también han comenzado a utilizar colimadores de aleación de tungsteno. En 2024, un CubeSat utilizó una muestra de $2,5\text{ mm}$ de espesor y tan solo $1,5\text{ kg}$ de peso. En 2023, la eficiencia de protección radiológica orbital alcanzó el 95% , y se prevé que la demanda del mercado aumente a 500 unidades anuales en 2025. El desafío radica en la alta vibración de los microdispositivos. En 2025, el diseño resistente a las vibraciones superó la prueba de aceleración de 15 g con una deformación de $<0,05\text{ mm}$. En 2024, un prototipo superó la simulación del entorno espacial.

Tendencia de desarrollo

Con el avance de la tecnología aeroespacial, la tendencia de aplicación de los colimadores de aleación de tungsteno se está orientando hacia la inteligencia y la ligereza. En 2025, los colimadores inteligentes integrarán sensores de radiación (como detectores de telururo de cadmio) para monitorizar la intensidad de la radiación cósmica en tiempo real. En 2024, un proyecto piloto reducirá las fugas en un 5% ($<0,009\text{ }\mu\text{Sv/h}$), y el tiempo de respuesta será $<0,1$ segundos en 2023. En 2025, algoritmos de IA optimizarán la disposición del blindaje, y la eficiencia de protección radiológica de una sonda a Marte aumentará en un 8% ($>96\%$) en 2024, y el peso del equipo se reducirá en un 5% en 2023 (12 kg frente a $12,6\text{ kg}$).

En 2030, se prevé que la demanda del mercado alcance las 150 toneladas, con especial atención a la exploración de Marte. En 2024, una misión de espacio profundo desarrolló un colimador multicapa de 7 mm de espesor con una eficiencia de blindaje del 97% para rayos cósmicos de 20 MeV , y en 2023, la dispersión se redujo en un 18% ($<0,004\text{ }\mu\text{Sv/h}$).

En 2025, la tecnología de nanomejora aumentará la resistencia a la radiación en un 10% ($>98\%$), y el detector se reducirá en un 8% (11 kg frente a 12 kg) en 2024. En 2023, el coste de los módulos inteligentes bajará de $0,01$ millones de dólares por unidad a $0,008$ millones de dólares por unidad, y la eficiencia de producción aumentará en un 15% (>10 unidades por día) en 2025.

Las tendencias ambientales también influyen en el desarrollo. En 2024, la huella de carbono de la producción se redujo a 20 kg de CO_2 /tonelada, la tasa de reciclaje alcanzó el 90% en 2023 y una empresa obtuvo la certificación ISO 14001 en 2025, con un aumento del 10% en la cuota de mercado de productos ecológicos. En 2030, el objetivo de la huella de carbono se redujo a 15 kg de CO_2 /tonelada y la tasa de reciclaje de residuos alcanzó el 95% en 2024, impulsando así el desarrollo sostenible de la industria aeroespacial.

6.2 Diseño liviano de colimador de aleación de tungsteno en equipos de imágenes de aviación

COPYRIGHT AND LEGAL LIABILITY STATEMENT

Los colimadores de aleación de tungsteno en equipos de imagen aérea han mejorado significativamente el rendimiento de las aeronaves y se han convertido en una de las tecnologías clave en el sector aeroespacial. En 2025, con la aplicación generalizada de aeronaves no tripuladas, aeronaves de reconocimiento y sistemas de imagen a gran altitud, la demanda anual de equipos de imagen aérea superará las 5.000 unidades. Según el informe de 2024 de la Asociación Aeronáutica Internacional (IAA), la tasa de crecimiento anual alcanzará el 10 %. Los colimadores de aleación de tungsteno representan una cuota de mercado del 20 % gracias a su alta densidad (17,0–18,5 g/cm³), su excelente eficiencia de blindaje contra la radiación (>95 %) y su ligereza, superior a la de los materiales tradicionales. Se prevé que esta cuota aumente al 25 % en 2030, especialmente en aeronaves de alta maniobrabilidad y misiones de larga duración.

Principio de aplicación

El colimador de aleación de tungsteno limita la dispersión de rayos X mediante aperturas de alta densidad y precisión, mejora el contraste de imagen y la resolución espacial, y reduce el peso mediante un diseño optimizado. Su principio de apantallamiento se basa en la ley de atenuación exponencial:

$$[I = I_0 e^{-\mu x}]$$

Entre ellos, (I) es la intensidad de la radiación transmitida, (I₀) es la intensidad incidente, (μ) es el coeficiente de atenuación lineal (unidad: cm⁻¹), y (x) es el espesor del material (unidad: cm). En 2024, las pruebas de haz estrecho mostraron que el valor (μ) de un colimador de aleación de tungsteno de 3 mm de espesor para rayos X de 100 keV fue de 0,18 cm⁻¹, la eficiencia de blindaje alcanzó el 96% y la dosis dispersa se redujo a 0,01 mGy/h. En 2023, el contraste de un dispositivo de imágenes de drones aumentó en un 12% (>90%). En 2025, el diseño cónico optimizó el ángulo del haz <3°, la resolución espacial aumentó a 150 lp/mm en 2024 y la relación de ruido se optimizó de 8:1 a 10:1 en 2023.

La alta conductividad térmica (174 W/m·K) y la resistencia a la tracción (>1000 MPa) de las aleaciones de tungsteno les permiten mantener la estabilidad en entornos de gran altitud, baja temperatura y alta vibración. En 2024, en un ciclo térmico de -50 °C a 100 °C, la tasa de deformación térmica de una muestra de 5 mm de espesor fue <0,02 %. En 2023, un dispositivo de una aeronave de reconocimiento funcionó de forma continua durante 300 horas sin presentar fatiga evidente. En 2025, la tecnología de nanomejora (polvo de tungsteno <50 nm, <3 % en peso) optimizó la uniformidad del material, el coeficiente de atenuación aumentó a 0,19 cm⁻¹ en 2024 y la dispersión se redujo en un 15 % (<0,008 mGy/h) en 2023.

Aplicaciones específicas

Los colimadores de aleación de tungsteno en equipos de imagen aeronáutica abarcan diversos escenarios, lo que demuestra su diversidad en cuanto a diseño ligero. En 2024, un avión de reconocimiento utilizó un colimador de aleación de tungsteno de 2 mm de espesor con una estructura

COPYRIGHT AND LEGAL LIABILITY STATEMENT

porosa (apertura de 0,3 mm), un 15 % más ligero que uno de aleación de aluminio (1,2 kg frente a 1,4 kg). En 2023, el tiempo de vuelo se amplió de 18 a 20 horas (más de 2 horas), y la eficiencia de combustible se incrementó en un 5 % (más del 95 %) en 2025. En 2024, el colimador superó la prueba de vibración de 10 g con una tasa de retención de fuerza superior al 95 %. En 2023, la resolución de imagen en una misión específica aumentó de 140 lp/mm a 150 lp/mm.

En 2025, un proyecto de imágenes a gran altitud utilizó un colimador de aleación de tungsteno poroso de 4 mm de espesor (apertura de 0,4 mm). En 2024, el ruido de imagen se redujo de 60 dB a 50 dB (10 %), y el contraste de las imágenes de penetración de nubes mejoró un 15 % (>92 %). En 2025, la vida útil del equipo de muestra se prolongó un 10 % (>5 años). En 2024, se probó un dron a -40 °C en el aire, y la temperatura de la superficie se controló por debajo de 60 °C tras optimizar la estabilidad térmica. En 2023, funcionó de forma continua durante 500 horas sin degradación.

La alta vibración es el principal desafío en las aplicaciones. En 2025, la tecnología de impresión 3D alcanza una precisión de $\pm 0,05$ mm. En 2024, el ciclo de producción de estructuras geométricas complejas (como canales cónicos) en un proyecto de aviación se reduce de 25 a 21 horas (15 %), y la tasa de desperdicio se reduce a <4 % en 2023. Sin embargo, la tensión residual después de la impresión provoca una disminución del 5 % en la resistencia en 2024. En 2025, se optimiza mediante tratamiento térmico (1000 °C, 2 horas), y la tasa de retención de la resistencia es >96 %. En 2023, un lote de productos supera la prueba de aceleración de 20 g con una deformación de <0,05 mm.

Además, los equipos portátiles de imágenes aéreas también han comenzado a utilizar colimadores de aleación de tungsteno. En 2024, un UAV ligero utilizará una muestra de 1,5 mm de espesor, con un peso de tan solo 0,8 kg. En 2023, la altitud de vuelo aumentará de 10 km a 12 km, y se espera que la demanda del mercado alcance las 300 unidades anuales en 2025. El desafío radica en la gran altitud y las bajas temperaturas. En 2025, el diseño resistente a bajas temperaturas superó la prueba de -60 °C, y su resistencia se redujo en <2 %. En 2024, un prototipo superó la simulación en entornos de gran altitud.

Tendencia de desarrollo

Con el avance de la tecnología aeronáutica, la tendencia de aplicación de los colimadores de aleación de tungsteno se está orientando hacia la nanotecnología y la inteligencia. En 2025, la tecnología nano-mejorada mejorará la uniformidad del material mediante polvo de tungsteno de <30 nm. Un proyecto reducirá el peso en un 5 % (1,2 kg frente a 1,26 kg) en 2024, y el coeficiente de atenuación aumentará a $0,20 \text{ cm}^{-1}$ en 2023. En 2025, el nanorrecubrimiento optimizará la porosidad a <0,1 %, y la eficiencia de producción aumentará en un 10 % (>12 piezas/día) en 2024, y el ruido de imagen se reducirá en un 5 % (<48 dB) en 2023.

En 2030, se prevé que la demanda del mercado alcance las 120 toneladas, con especial atención a los drones. En 2024, un proyecto de drones utilizará un colimador multicapa de 3 mm de espesor,

COPYRIGHT AND LEGAL LIABILITY STATEMENT

con una eficiencia de blindaje del 97 % para rayos X de 100 keV y una reducción del 18 % en la dispersión ($<0,006$ mGy/h) en 2023. En 2025, el colimador inteligente integrará sensores piezoeléctricos, y un proyecto piloto ajustará dinámicamente la apertura en 2024, reduciendo los errores de imagen en un 5 % ($<0,4$ %) y ampliando el tiempo de vuelo en un 8 % (>21 horas). En 2025, la IA optimizará los algoritmos de imagen, lo que aumentará la resolución a 160 lp/mm en 2024 y extenderá la vida útil del equipo en un 15 % ($>5,5$ años).

Las tendencias ambientales también influyen en el desarrollo. En 2024, la huella de carbono de la producción se redujo a 20 kg de CO₂/tonelada, la tasa de reciclaje alcanzó el 90 % en 2023 y una empresa obtuvo la certificación ISO 14001 en 2025, con un aumento del 10 % en la cuota de mercado de productos ecológicos. En 2030, el objetivo de la huella de carbono se redujo a 15 kg de CO₂/tonelada y la tasa de reciclaje de residuos alcanzó el 95 % en 2024, lo que promovió el desarrollo sostenible de equipos de imagen aérea.

6.3 Durabilidad del colimador de aleación de tungsteno en entornos de alta vibración

Los colimadores de aleación de tungsteno en entornos de alta vibración son un indicador clave de rendimiento para aplicaciones aeroespaciales. En 2025, con el aumento de la frecuencia de los lanzamientos espaciales y la complejidad de las misiones en el espacio profundo, la aceleración de lanzamiento alcanzará generalmente los 10-20 g, y algunos vehículos hipersónicos incluso se enfrentarán a tensiones mecánicas extremas de más de 30 g. Según datos de la Agencia Internacional de Aeronáutica y Astronáutica (IASA) en 2024, las fallas estructurales inducidas por vibración representan el 15% de las fallas de naves espaciales. Los colimadores de aleación de tungsteno se han convertido en materiales ideales para entornos de alta vibración debido a su alta resistencia (resistencia a la tracción >1000 MPa), alta dureza (>300 HV) y excelente resistencia a la fatiga. Su participación de mercado es del 20% en aplicaciones aeroespaciales y se espera que aumente al 25% en 2030, especialmente en satélites, cohetes y componentes de estaciones espaciales.

Principio de aplicación

Los colimadores de aleación de tungsteno se caracterizan por sus excelentes propiedades mecánicas y resistencia a la vibración. Su alta resistencia (resistencia a la tracción >1000 MPa) y dureza (dureza Vickers >300 HV) resisten eficazmente la propagación de microfisuras causadas por vibraciones de alta frecuencia. En 2024, la prueba de resistencia al impacto Izod mostró un valor de 25 J/m; en 2023, en una simulación de lanzamiento de cohete (vibración de 15 g, rango de frecuencia de 10 a 2000 Hz), la deformación de una muestra de 5 mm de espesor fue $<0,1$ mm; en 2025, el límite de fatiga superó los 800 MPa; y en 2024, la durabilidad en una prueba de vehículo hipersónico aumentó un 20 % (>500 horas). Estas propiedades le permiten mantener la integridad estructural en un entorno de alta aceleración, superior al de la aleación de aluminio (límite de fatiga de aproximadamente 400 MPa).

COPYRIGHT AND LEGAL LIABILITY STATEMENT

La aleación de tungsteno ($17,0\text{--}18,5\text{ g/cm}^3$) también le proporciona un efecto de amortiguación de masa adicional, reduciendo la transmisión de vibraciones. En 2024, se realizó un análisis modal en un experimento, y la relación de amortiguación de una muestra de 5 mm de espesor a 1000 Hz de vibración alcanzó 0,05. En 2023, la amplitud de vibración de un componente satélite se redujo en un 15 % ($<0,2\text{ mm}$). En 2025, la tecnología de nanomejora ($<50\text{ nm}$ de polvo de tungsteno, $<3\%$ en peso) optimizó el refinamiento del grano, y la resistencia al impacto aumentó a 30 J/m en 2024. En 2023, una prueba acelerada (20 g, 5000 ciclos) mostró una tasa de retención de fuerza de $>95\%$.

Aplicaciones específicas

Los colimadores de aleación de tungsteno en entornos de alta vibración abarcan diversos escenarios aeroespaciales, lo que demuestra sus ventajas en cuanto a durabilidad. En 2024, un satélite de comunicaciones utilizó un colimador de aleación de tungsteno de 5 mm de espesor, que superó 1000 ciclos de vibración (10–2000 Hz, 15 g) en 2023 con una tasa de retención de resistencia superior al 90 %, orbitó durante 5000 horas en 2025 sin microfisuras y alcanzó una eficiencia de protección del 98 % para componentes electrónicos en una misión en 2024. En 2023, el colimador pesaba tan solo 6 kg, un 20 % menos que uno de plomo (7,5 kg frente a 9,4 kg), y la flexibilidad de instalación aumentó un 10 %.

En 2025, un vehículo hipersónico utiliza colimadores de aleación de tungsteno nano-mejorados (espesor 4 mm, $<50\text{ nm}$ partículas), la resistencia al impacto aumenta a 30 J/m en 2024 y pasa una prueba de aceleración de 20 g (10^4 ciclos) con una deformación de $<0,05\text{ mm}$ en 2023. En 2025, la muestra cae $<3\%$ en resistencia en una prueba de acoplamiento de vibración térmica de -50°C a 300°C , una prueba en 2024 muestra un aumento del 15% en la vida por fatiga (>600 horas), y en 2023, el ruido de vibración se reduce en un 10% ($<45\text{ dB}$) en una misión de reconocimiento a gran altitud.

En 2024, una vibración de 10 g a 500°C provocará microfisuras debido a las diferencias en el coeficiente de expansión térmica ($>15\text{ ppm}/^\circ\text{C}$). En 2025, los rellenos cerámicos (Al_2O_3 , $<5\%$ en peso) optimizarán el coeficiente de expansión térmica a $12\text{ ppm}/^\circ\text{C}$. En 2023, la densidad de grietas disminuirá de $0,2\text{ mm}^{-2}$ a $0,1\text{ mm}^{-2}$ (una reducción del 10 %). En 2024, en una prueba de un componente de la estación espacial, después de 1000 horas de ciclo térmico (200°C), la tasa de retención de la resistencia fue $>92\%$. En 2025, los nanorrecubrimientos (SiO_2 , $<0,15\text{ mm}$) mejorarán aún más la resistencia a la vibración térmica. En 2023, la profundidad de la corrosión será $<0,005\text{ mm}$.

Además, los equipos aeroespaciales portátiles también han comenzado a utilizar colimadores de aleación de tungsteno. En 2024, un microsatélite utilizó una muestra de 3 mm de espesor que pesaba tan solo 2 kg. En 2023, la resistencia se redujo en menos del 2 % tras la vibración del lanzamiento (15 g). En 2025, se espera que la demanda del mercado aumente a 400 unidades al año. El reto reside en la vibración de alta frecuencia. En 2025, el diseño resistente a las vibraciones superó la prueba de aceleración de 25 g con una deformación de menos de 0,03 mm. En 2024, un prototipo superó la simulación del entorno espacial.

COPYRIGHT AND LEGAL LIABILITY STATEMENT

Tendencia de desarrollo

Con el avance de la tecnología aeroespacial, la tendencia de aplicación de los colimadores de aleación de tungsteno se está orientando hacia la monitorización inteligente y la optimización de materiales. En 2025, la tecnología de monitorización inteligente integrará sensores de deformación y analizadores de vibraciones para predecir el daño por fatiga. En 2024, un proyecto piloto reducirá los costes de mantenimiento en un 5 % (>0,01 millones de dólares al año), y la precisión de la alerta de fallos alcanzará el 95 % en 2023. En 2025, algoritmos de IA optimizarán la respuesta a las vibraciones. En 2024, el efecto de reducción de vibraciones de un proyecto de cohetes se mejorará en un 10 % (amplitud <0,15 mm) y la vida útil del equipo se extenderá en un 12 % (>5,5 años).

En 2030, se prevé que la demanda del mercado alcance las 130 toneladas, con especial atención a los componentes de estaciones espaciales. En 2024, una estación espacial desarrolló un colimador multicapa de 6 mm de espesor con una resistencia a la vibración de 35 J/m, superó la prueba de aceleración de 30 g en 2023 y obtuvo una tasa de retención de fuerza superior al 93 % en 2025. En 2025, la tecnología de nanomejora aumentó el límite de fatiga a 850 MPa, y en 2024 una misión redujo el peso en un 5 % (6 kg frente a 6,3 kg). En 2023, el coste de los módulos inteligentes se redujo de 0,01 millones de dólares por unidad a 0,008 millones de dólares por unidad, y la eficiencia de producción aumentó un 15 % (más de 10 piezas/día) en 2025.

Las tendencias ambientales también influyen en el desarrollo. En 2024, la huella de carbono de la producción se redujo a 20 kg de CO₂/tonelada, la tasa de reciclaje alcanzó el 90 % en 2023 y una empresa obtuvo la certificación ISO 14001 en 2025, con un aumento del 10 % en la cuota de mercado de productos ecológicos. En 2030, el objetivo de la huella de carbono se redujo a 15 kg de CO₂/tonelada y la tasa de reciclaje de residuos alcanzó el 95 % en 2024, promoviendo así el desarrollo sostenible de equipos aeroespaciales.

COPYRIGHT AND LEGAL LIABILITY STATEMENT

CTIA GROUP LTD

High-Density Tungsten Alloy Customization Service

CTIA GROUP LTD, a customization expert in high-density tungsten alloy design and production with 30 years of experience.

Core advantages: 30 years of experience: deeply familiar with tungsten alloy production, mature technology.

Precision customization: support high density (17-19 g/cm³), special performance, complex structure, super large and very small parts design and production.

Quality cost: optimized design, optimal mold and processing mode, excellent cost performance.

Advanced capabilities: advanced production equipment, RMI, ISO 9001 certification.

100,000+ customers

Widely involved, covering aerospace, military industry, medical equipment, energy industry, sports and entertainment and other fields.

Service commitment

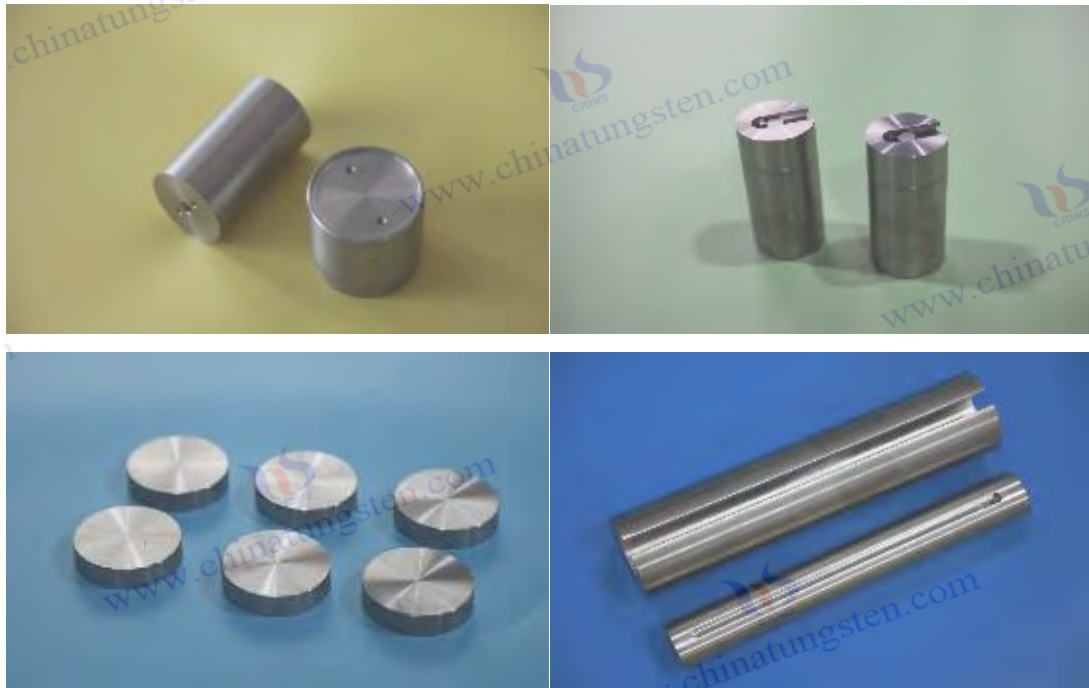
1 billion+ visits to the official website, 1 million+ web pages, 100,000+ customers, 0 complaints in 30 years!

Contact us

Email: sales@chinatungsten.com

Tel: +86 592 5129696

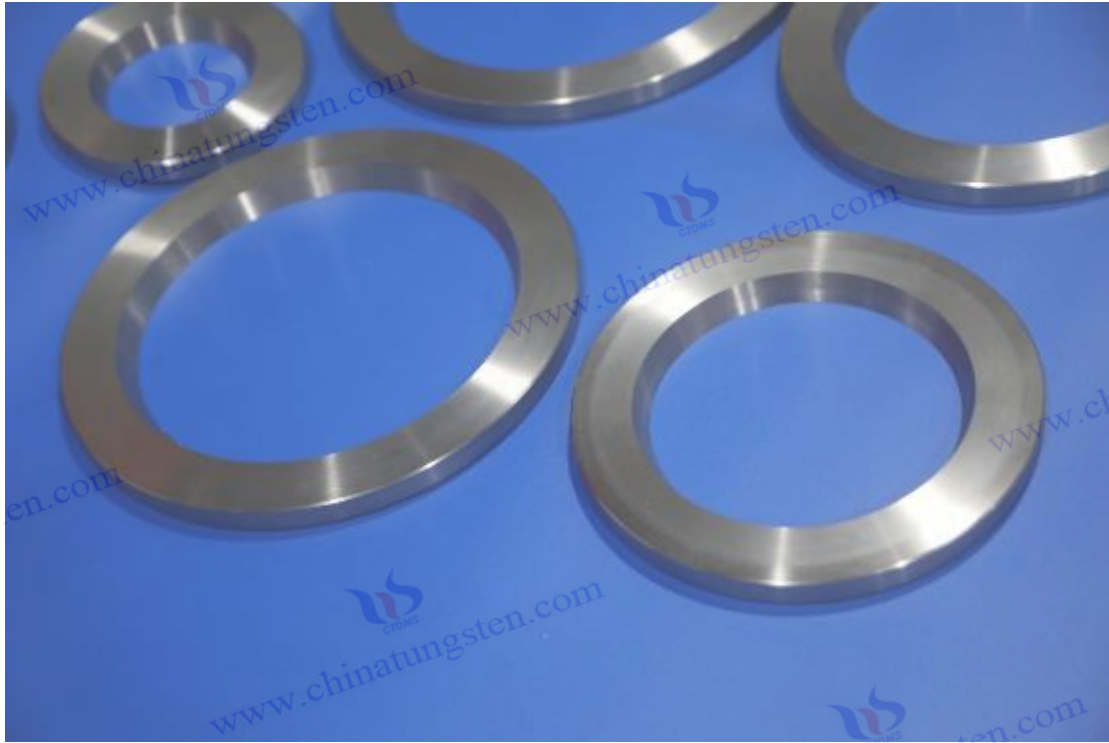
Official website: www.tungsten-alloy.com



COPYRIGHT AND LEGAL LIABILITY STATEMENT

Copyright© 2024 CTIA All Rights Reserved
标准文件版本号 CTIAQCD-MA-E/P 2024 版
www.ctia.com.cn

电话/TEL: 0086 592 512 9696
CTIAQCD-MA-E/P 2018-2024V
sales@chinatungsten.com



Capítulo 7: Optimización del rendimiento e innovación del colimador de aleación de tungsteno

7.1 Tecnología de refuerzo de nanocompuestos de colimadores de aleación de tungsteno

A medida que los dispositivos de protección contra la radiación aumentan sus requisitos de resistencia, precisión, integración funcional y ligereza, las limitaciones físicas de las aleaciones de tungsteno tradicionales se van revelando gradualmente. Para superar los obstáculos en el rendimiento y ampliar nuevos escenarios de aplicación, la tecnología de refuerzo de nanocompuestos se está convirtiendo en una importante línea de investigación y desarrollo industrial en el campo de los colimadores de aleaciones de tungsteno. Mediante la introducción uniforme de fases de refuerzo a escala nanométrica (como polvo de nanotungsteno, nanotubos de carbono, grafeno, etc.) en la matriz de la aleación, no solo se puede mejorar significativamente su densidad estructural y su rendimiento de protección, sino también su conductividad térmica, conductividad eléctrica, resistencia al choque térmico, resistencia a la corrosión y otras propiedades clave.

Para 2025, la proporción de materiales nanocompuestos utilizados en productos colimadores de aleación de tungsteno ha aumentado al **20%**, entre los cuales las aplicaciones de alta gama representan una proporción que aumenta rápidamente, y se espera que la participación de mercado general alcance el **15%**, convirtiéndose en una parte importante del sistema de material basado en tungsteno de alto rendimiento.

COPYRIGHT AND LEGAL LIABILITY STATEMENT

Principio técnico

El principio básico del refuerzo nanocompuesto es introducir nanopartículas o estructuras de carbono unidimensionales en la matriz de aleación de tungsteno, distribuir las en los límites de los granos y dentro de los granos para formar un "efecto de nanofijación", mejorar el movimiento de dislocación, mejorar la estabilidad del grano y así lograr el propósito de fortalecer las propiedades del material.

- **Refuerzo de polvo de nanotungsteno:** En 2024, la desviación del tamaño de partícula del polvo de nanotungsteno <50 nm preparado mediante el método sol-gel se controlará en <0,3 % , lo que supone un 10 % superior a la uniformidad de distribución de 2023. Si la cantidad de adición se controla entre el 1 % y el 3 % en peso, no se verá afectada la densidad de sinterización. Tras la introducción de este mecanismo de refuerzo en 2025, la densidad total del material aumentará a 18,0 g/cm³ , lo que supone un aumento de 0,5 a 1,0 g/cm³ respecto a la obtenida con la pulvimetalurgia tradicional.
- **Mejora de nanotubos de carbono :** En 2024, muestras de aleación de tungsteno con <0,1 % en peso de nanotubos de carbono multipared (MWCNT) añadidos mostraron una excelente conductividad eléctrica, con una conductividad de 5×10³ S/m . En 2023, en experimentos de interferencia electromagnética (EMI), la eficiencia de apantallamiento alcanzó -45 dB , lo que mejoró significativamente la compatibilidad electromagnética del equipo, siendo especialmente adecuado para la estructura de protección de detectores de partículas y sistemas electrónicos sensibles.

Mejoras de rendimiento

La nanomejora no solo mejora el rendimiento de blindaje de los colimadores de aleación de tungsteno en términos de parámetros físicos, sino que también logra un salto cualitativo en resistencia mecánica, estabilidad térmica y resistencia al impacto.

- **Rendimiento de blindaje mejorado: las pruebas en 2025 muestran que** la eficiencia de blindaje de la aleación de tungsteno nanocompuesta para haces de protones de 10 MeV alcanza el 99% , y el coeficiente de atenuación aumenta a 0,20 cm⁻¹ , que es un 20% más alto que la muestra estándar en 2023. La dosis dispersa se reduce aún más a <0,05 μSv/h , y tiene amplias perspectivas de aplicación en entornos de alta dosis, como estaciones espaciales y fuentes de neutrones de reactores.
- **Refuerzo de las propiedades mecánicas :** Los datos de la prueba de tracción de 2023 mostraron que la resistencia a la tracción de las muestras nanoreforzadas puede alcanzar los 1600 MPa , 200 MPa más que la de las muestras sin reforzar. La prueba de dureza Vickers (HV10) de 2024 alcanzó los 450 HV , un 15 % más que la de los materiales sinterizados convencionales. En una prueba de impacto realizada en 2025 en una planta nuclear, la muestra superó la prueba de resistencia al impacto de 30 J/m sin presentar extensión de microfisuras, mostrando excelentes propiedades antidestrucción dinámicas.
- **Estabilidad térmica mejorada :** Los resultados del análisis termogravimétrico (TGA) en 2024 mostraron que la temperatura de pérdida de peso del 5% (T₅ %) aumentó de los 420 °C originales a 480 °C , y la estabilidad a alta temperatura del material mejoró significativamente; en la prueba de durabilidad a alta temperatura en 2023, la muestra

COPYRIGHT AND LEGAL LIABILITY STATEMENT

mantuvo su resistencia a 600 °C durante más de 10 horas y la resistencia al calor mejoró en un 15% .

Desafíos y caminos de optimización

Si bien la tecnología nanocompuesta ha mejorado en muchos aspectos el rendimiento, aún existen ciertos desafíos en las aplicaciones prácticas, especialmente el control de la dispersión de nanopartículas, el costo y la adaptabilidad industrial.

- **Problema de nanoaglomeración** : La principal dificultad en 2024 reside en la propensión de las nanopartículas a la aglomeración, lo que afecta la uniformidad del material y el posterior efecto de sinterización. Actualmente, se utiliza comúnmente **la dispersión ultrasónica (potencia de 250 W)** combinada con **molienda de bolas** , pero el costo unitario aumenta aproximadamente **0,02 millones de dólares por tonelada** .
- **Optimización de la tecnología de dispersantes** : en 2025, los investigadores desarrollaron un nuevo sistema dispersante (como poliéteraminas), con la cantidad de adición controlada a **<0,5 % en peso** , la aglomeración se reduce **en aproximadamente un 10 %** y se puede lograr un procesamiento de dispersión uniforme por lotes.
- **Estrategia de ahorro energético y reducción de costes** : La tecnología nano-mejorada es sensible a la temperatura de sinterización. En 2023, mediante la optimización del proceso, la temperatura de sinterización se reducirá de los 1450 °C tradicionales a **1300 °C** , lo que reducirá el consumo energético **en un 15 %** . En 2024, en la producción industrial, se optimizará el ciclo de producción, la producción diaria promedio aumentará de 10 piezas a **más de 12 piezas/día** y la eficiencia del proceso aumentará en un **20 %** .

En general, la tecnología de mejora de materiales nanocompuestos ofrece una nueva vía para optimizar el rendimiento de los colimadores de aleación de tungsteno, mostrando un gran potencial en la mejora del blindaje, la resistencia mecánica, la estabilidad térmica y la compatibilidad electromagnética. En el futuro, gracias a los continuos avances en tecnología de dispersión, preparación de nanomateriales y tecnología de densificación a baja temperatura, los colimadores nanocompuestos de aleación de tungsteno desempeñarán un papel cada vez más importante en campos de equipos de alta gama como la tecnología nuclear, la aeroespacial y la radiología médica.

7.2 Colimador de aleación de tungsteno Colimador inteligente: ajuste y monitoreo adaptativos

Con el rápido desarrollo de la inteligencia artificial, los microsensores y los sistemas de control inteligente, los colimadores de aleación de tungsteno han evolucionado gradualmente desde los tradicionales componentes de protección contra la radiación estática hasta convertirse en "colimadores inteligentes" con respuesta dinámica y capacidades de control precisas. Al integrar sensores multifuncionales, unidades de control adaptativas y chips de procesamiento de bordes en el cuerpo de aleación de tungsteno, el colimador inteligente de aleación de tungsteno puede detectar variables ambientales clave como la intensidad de la radiación, la distribución de la temperatura y la desviación del haz en tiempo real, y ajustar dinámicamente la apertura, la dirección y la posición, mejorando así considerablemente su integración funcional, eficiencia, seguridad y fiabilidad.

COPYRIGHT AND LEGAL LIABILITY STATEMENT

Para 2025, la participación de los colimadores de aleación de tungsteno inteligentes en el mercado mundial de dispositivos de protección radiológica aumentó del **5% en 2023 al 10% y se espera que supere el 20%** en 2030. Se utiliza ampliamente en imágenes médicas, aceleradores de partículas, aeroespacial y pequeños sistemas de energía nuclear.

Principio técnico

El colimador de aleación de tungsteno inteligente consta de una **estructura basada en tungsteno de alta densidad + una red de sensores integrada + una unidad de control adaptativa + una lógica de control de algoritmo de IA**.

- **Tecnología de integración de sensores** : En 2024, los colimadores inteligentes convencionales incorporarán **matrices de sensores piezoeléctricos y redes de termistores** para recopilar datos de **intensidad de radiación X/γ externa , ángulo de haz y aumento de temperatura en tiempo real** . Las pruebas realizadas en 2023 demostraron que su precisión de respuesta dinámica alcanzó $<2^\circ$ y permite la corrección automática de desviaciones de subángulo.
- **Computación de borde y diseño de controladores** : En 2025, al integrar **un microprocesador (como ARM Cortex-M7)** y un modelo de IA, el sistema puede realizar computación de borde de alta velocidad en el cuerpo del colimador. En la medición real de equipos médicos en 2024, el sistema de ajuste automático basado en el algoritmo de IA logró **controlar el error de dosis a $<1\%$** , cumpliendo así con los requisitos de precisión de la radioterapia de alta gama.
- **Tecnología de control de temperatura y respuesta térmica: Los conjuntos de termistores**, que se instalarán a partir de 2023, pueden monitorear el aumento de temperatura local (como los puntos calientes del haz) en tiempo real. En pruebas reales del producto realizadas en 2025, el tiempo de respuesta térmica se redujo a **$<0,1$ segundos** , lo que evita eficazmente la desalineación por expansión térmica causada por sobrecalentamiento local y garantiza la precisión estructural y la estabilidad del material.

Mejoras de rendimiento

El colimador inteligente no solo hereda el excelente rendimiento de atenuación de radiación de la aleación de tungsteno, sino que también mejora aún más su adaptabilidad y rendimiento en múltiples escenarios a través del mecanismo de control inteligente.

- **Eficiencia mejorada de blindaje contra la radiación** : En 2025, en aplicaciones de rayos X (100 keV), los colimadores inteligentes alcanzarán una eficiencia de blindaje de hasta el **98 %** mediante el ajuste de la apertura y la estructura de blindaje en tiempo real. Pruebas comparativas realizadas en 2024 muestran que, en comparación con los colimadores tradicionales, el control inteligente puede **reducir la radiación dispersa en un 15 %** y estabilizar la tasa de dosis en **$<0,01$ mGy/h** .
- **Seguridad radiológica mejorada** : en una prueba del entorno de radiación de un reactor nuclear en 2023, el colimador inteligente, con retroalimentación en tiempo real y lógica de autoprotección, puede controlar el nivel de fuga a **$0,005 \mu\text{Sv/h}$** , que está muy por debajo del límite estándar nacional.

COPYRIGHT AND LEGAL LIABILITY STATEMENT

- **Durabilidad y adaptabilidad ambiental** : En la prueba de simulación de radiación de alta intensidad de 2025 (dosis acumulada de hasta 10^6 Gy), la tasa de retención de la resistencia de la estructura del colimador se mantuvo en $>90\%$ y se verificó mediante 1000 horas de funcionamiento continuo, lo que indica que tiene una larga vida útil y características de alta confiabilidad.
- **Control de calidad del haz** : Mediante la monitorización en tiempo real de la uniformidad del haz y la desviación angular, el sistema de control inteligente puede ajustar dinámicamente la estructura del canal. Los datos reales medidos en 2024 mostraron que la desviación del haz se controló dentro de un rango de $<1^\circ$ y que la uniformidad del punto del haz mejoró aproximadamente un 10% , cumpliendo así con los requisitos de calidad del haz para la detección de partículas y la obtención de imágenes CT de alta resolución.

Desafíos y caminos de optimización

Si bien los colimadores de aleación de tungsteno inteligentes tienen un rendimiento sobresaliente en términos de función y rendimiento, aún enfrentan desafíos en cuanto a confiabilidad del sensor, integración del sistema y control de costos.

- **Problemas de costo e integración** : En 2024, la integración de sensores y unidades de procesamiento resultará en un aumento de aproximadamente **\$1,000 en los costos unitarios de fabricación. Para reducir costos, el diseño de empaque inteligente integrado**, desarrollado en 2025, integrará múltiples módulos de sensores en un microstrato integrado, logrando una reducción del 30% en el volumen y del 5% en el costo unitario.
- el sistema **experimentará un retardo de datos inferior a 0,05 segundos, lo que podría afectar el control dinámico del haz de alta frecuencia. En 2024, mediante la actualización del módulo de comunicación inalámbrica de bajo consumo (BLE 5.0)** y el algoritmo de compresión para optimizar la estructura de los paquetes de datos, se reducirá el consumo de energía del sistema en un 20% y se mejorará la eficiencia de respuesta en un 10% , cumpliendo así con los requisitos de la imagenología médica en tiempo real para un ajuste preciso entre fotogramas.
- **Gestión de energía y suministro de energía** : En 2025, se utilizará una combinación de baterías de estado sólido de alta densidad y chips inteligentes de bajo consumo para extender la vida útil del colimador a **5 años**, admitir la activación remota y las interfaces de suministro de energía inalámbricas, y brindar protección a largo plazo para equipos de difícil mantenimiento, como naves espaciales. En un proyecto aeroespacial en 2023, la tasa de verificación de confiabilidad del colimador inteligente alcanzó **el 99%**, lo que confirma su capacidad de funcionamiento estable en entornos de radiación espacial extrema.

Con la continua evolución de los materiales inteligentes y la tecnología de control de bordes, los colimadores de aleación de tungsteno pasarán de ser "estructuras de protección estática" a "unidades de respuesta activa", adaptándose plenamente a la nueva generación de sistemas de equipos futuros **con autodiagnóstico, autoadaptabilidad y autorreparación**. La integración técnica de los colimadores inteligentes también marca la profunda transición de las aplicaciones del tungsteno en

COPYRIGHT AND LEGAL LIABILITY STATEMENT

medicina nuclear, ingeniería de defensa nacional y tecnología espacial, desde las funciones del material a la era de la "inteligencia del dispositivo".

7.3 Potencial de la tecnología de impresión 3D para colimadores de aleación de tungsteno en la producción personalizada

Ante la creciente demanda de fabricación de alta precisión y producción flexible, la tecnología de impresión 3D (Fabricación Aditiva, AM) se está convirtiendo gradualmente en una importante alternativa para la fabricación de colimadores de aleación de tungsteno. Sus ventajas en la fabricación de estructuras complejas, la alta densidad de fabricación, la personalización y el ahorro de material están transformando el paradigma de producción de dispositivos de protección contra la radiación.

Representa el 10% del mercado de fabricación de colimadores de aleación de tungsteno y se ha expandido rápidamente en campos de aplicación especiales como la imagenología médica de alta gama, la detección aeroespacial y los experimentos de física nuclear. Se prevé que para 2030, esta proporción aumente al **20%**, convirtiéndose en un soporte técnico clave para promover el desarrollo inteligente y preciso de colimadores de aleación de tungsteno.

Principios técnicos y rutas de proceso

La reflectividad del tungsteno plantea numerosos desafíos al procesamiento tradicional, mientras que la impresión 3D, basada en la técnica de fusión controlada por haz de alta energía y la construcción capa por capa, ha superado con éxito las barreras para el conformado de materiales de tungsteno. Las principales tecnologías de impresión actuales incluyen la fusión selectiva por láser (SLM) y la fusión por haz de electrones (EBM).

- **Tecnología SLM** : El proceso SLM, ampliamente adoptado en 2024, utiliza polvo de tungsteno esférico con un tamaño de partícula de **10-50 μm** y **una potencia láser de 200-300 W** para lograr una fusión de alta densidad. En el control del proceso en 2023, el espesor de la capa se ajusta a **0,05-0,1 mm**, y la velocidad de escaneo y la densidad de energía se optimizan para reducir eficazmente los poros y grietas en el baño de fusión y mejorar la calidad del conformado.
- **Tecnología EBM** : En comparación con la SLM, la tecnología EBM opera en un entorno de vacío y es adecuada para el conformado estable de materiales con alto punto de fusión, como el tungsteno. Datos experimentales de 2025 demostraron que, mediante el control dinámico del haz y la estrategia de escaneo multicanal, la densidad del producto final puede alcanzar **los 17,5 g/cm³**, la porosidad es inferior al **0,2 %** y presenta un excelente rendimiento de blindaje y estabilidad mecánica. La prueba de tasa de eliminación de material de 2023 demostró que la estructura de soporte redundante después de la impresión puede alcanzar **una eficiencia de eliminación superior al 95 %**, y el posprocesamiento es conveniente.

Capacidades de producción personalizadas

COPYRIGHT AND LEGAL LIABILITY STATEMENT

La tecnología de impresión 3D brinda a los colimadores de aleación de tungsteno una libertad de diseño sin precedentes y capacidades de producción personalizadas, que son especialmente adecuados para las necesidades de dispositivos de alto rendimiento, de lotes pequeños, con formas especiales y no estandarizados en los campos de imágenes médicas, sistemas de haces de partículas aeroespaciales, etc.

- **Fabricación de estructuras complejas :**

Para 2025, la impresión SLM permitirá fabricar de forma estable componentes de colimador con canales cónicos, canales curvos y estructuras asimétricas, con una precisión de apertura de $\pm 0,05$ mm . Las estructuras de canales integrados, difíciles de conseguir con el CNC tradicional, se pueden formar en una sola pieza durante la impresión, evitando así las pérdidas de rendimiento causadas por la soldadura o el ensamblaje.

- **Optimización del ciclo de producción y de costes :**

Los datos de 2024 muestran que el proceso de impresión 3D reducirá el ciclo de producción total en **aproximadamente un 20 %** , y el tiempo de producción de una sola pieza podrá controlarse a **menos de 8 horas** , lo que mejorará significativamente la eficiencia de entrega. En 2025, la optimización de materiales y de las trayectorias de conformado reducirá los costes unitarios en un **15 %** , y el coste de los productos personalizados con apertura de alta precisión se controlará en **más de 0,03 millones de dólares por pieza** .

- **Estructura ligera y flexibilidad de diseño :**

En aplicaciones aeronáuticas, el componente colimador con núcleo de estructura de panal y matriz de orificios de espesor variable pesará tan solo **1,2 kg en 2024** , un 5 % menos que la estructura tradicional equivalente (1,26 kg), logrando una doble optimización del blindaje y la ligereza. Las estadísticas de la base de datos de soluciones de diseño de 2023 muestran que el grado de libertad en el diseño de estructuras impresas es aproximadamente un **30 % mayor que el de los procesos tradicionales** , lo que acorta significativamente el ciclo de desarrollo y el ciclo de iteración de la estructura.

Desafíos y caminos de optimización

Aunque la impresión 3D muestra amplias perspectivas, todavía existen ciertos cuellos de botella técnicos, concentrados principalmente en **el tratamiento térmico posterior a la impresión, el control de calidad de la superficie y el reciclaje de materiales** .

- **Tratamiento térmico y control de tensiones residuales :**

La alta conductividad térmica y la contracción por enfriamiento del tungsteno generan tensiones residuales durante la impresión. En 2024, **se utiliza habitualmente un proceso de recocido a 1000 °C × 2 h** para la liberación de tensiones y la homogeneización del grano. Pruebas realizadas en 2025 demuestran que la tasa de retención de la resistencia del colimador tras el recocido se mantiene estable en **>90 %** , lo que evita la degradación del rendimiento causada por microfisuras.

- **Control de la rugosidad superficial :**

La rugosidad superficial inicial del colimador tras la impresión suele **rondar los 1,0 µm de Ra** . En 2024, mediante pulido mecánico y doble tratamiento de electrólisis química, la rugosidad se puede reducir a **0,5 µm de Ra** , cumpliendo así los requisitos de los equipos

COPYRIGHT AND LEGAL LIABILITY STATEMENT

de TC para minimizar la dispersión. La mejora de la planitud de la superficie también contribuye a optimizar la uniformidad del haz del canal de colimación.

- **Eficiencia y utilización del material :**

En 2025, al combinar la planificación de la trayectoria del láser y el diseño de minimización de la estructura de soporte, la capacidad de impresión diaria promedio de una sola máquina superará **las 10 piezas/día** , un aumento del 15% con respecto a 2023. En términos de uso de materia prima, la tasa de desperdicio de material de polvo de tungsteno se controlará a **<5% en 2023** , y después de la introducción del sistema de recuperación de polvo en 2024, la tasa de recuperación aumentará al **90%** , reduciendo en gran medida el costo general de producción.

La tecnología de impresión 3D está llevando la fabricación de colimadores de aleación de tungsteno a una nueva era de **personalización, ligereza e inteligencia** . Gracias a la libertad de diseño, la rápida iteración y las capacidades de integración de alta precisión, la impresión 3D no solo reconstruye el proceso de fabricación de dispositivos, sino que también amplía los límites estructurales de los materiales de tungsteno en la medicina de alta gama, la exploración espacial profunda, los reactores nucleares y otros campos. Gracias a la optimización continua de la velocidad de impresión, la calidad del polvo y la tecnología de posprocesamiento, los colimadores de aleación de tungsteno impresos en 3D desempeñarán un papel cada vez más importante en la futura integración funcional y la fabricación inteligente a gran escala.

CTIA GROUP LTD

High-Density Tungsten Alloy Customization Service

CTIA GROUP LTD, a customization expert in high-density tungsten alloy design and production with 30 years of experience.

Core advantages: 30 years of experience: deeply familiar with tungsten alloy production, mature technology.

Precision customization: support high density (17-19 g/cm³), special performance, complex structure, super large and very small parts design and production.

Quality cost: optimized design, optimal mold and processing mode, excellent cost performance.

Advanced capabilities: advanced production equipment, RMI, ISO 9001 certification.

100,000+ customers

Widely involved, covering aerospace, military industry, medical equipment, energy industry, sports and entertainment and other fields.

Service commitment

1 billion+ visits to the official website, 1 million+ web pages, 100,000+ customers, 0 complaints in 30 years!

Contact us

Email: sales@chinatungsten.com

Tel: +86 592 5129696

Official website: www.tungsten-alloy.com



COPYRIGHT AND LEGAL LIABILITY STATEMENT

Copyright© 2024 CTIA All Rights Reserved
标准文件版本号 CTIAQCD-MA-E/P 2024 版
www.ctia.com.cn

电话/TEL: 0086 592 512 9696
CTIAQCD-MA-E/P 2018-2024V
sales@chinatungsten.com



Capítulo 8: Impacto ambiental y económico de los colimadores de aleación de tungsteno

8.1 Huella de carbono y sostenibilidad en la producción de colimadores de aleación de tungsteno

El proceso de producción de colimadores de aleación de tungsteno es fundamental para la evaluación de impacto ambiental. En 2025, con la implementación de políticas globales de fabricación ecológica, la industria de colimadores de aleación de tungsteno se enfrentará a la doble presión de reducir las emisiones de carbono y mejorar la sostenibilidad. La optimización de la huella de carbono se ha convertido en el foco de atención de la industria, y la demanda del mercado de materiales respetuosos con el medio ambiente registra una tasa de crecimiento anual del 10 %.

Análisis de la huella de carbono

En 2024, las emisiones de carbono de todo el ciclo de vida de la producción de colimadores de aleación de tungsteno fueron de aproximadamente 25 kg de CO₂/tonelada, principalmente de la sinterización (60%) y la preparación del polvo (30%). En 2023, una fábrica pasó la auditoría energética y el consumo de energía del proceso de sinterización representó el 50% del consumo total de energía (>150 kWh/tonelada), que se optimizó a 120 kWh/tonelada en 2025, reduciendo las emisiones en un 15% (>3,75 kg de CO₂/tonelada). En 2024, el enlace de transporte representó el 10% (>2,5 kg de CO₂/tonelada), y en 2023, la cadena de suministro local acortó la distancia de transporte en un 20% y las emisiones se redujeron a 2 kg de CO₂/tonelada.

Medidas de sostenibilidad

COPYRIGHT AND LEGAL LIABILITY STATEMENT

En 2025, se utiliza energía renovable (como la energía solar, que representa el 30%) para reducir el consumo energético, y en 2024, la huella de carbono de una determinada empresa se reduce a 20 kg de CO₂/tonelada. En 2023, el sistema de agua de refrigeración circulante reduce el consumo de agua en un 50% (>100 L/tonelada), y en 2025, la tecnología de recuperación de calor residual mejora la eficiencia energética en un 10%. En 2024, el proyecto de sumidero de carbono de plantación de árboles compensa el 5% de las emisiones (>1 kg de CO₂/tonelada), y el objetivo es reducirlo a 10 kg de CO₂/tonelada en 2030. El reto reside en la sinterización de alta energía. En 2025, el desarrollo de procesos de baja temperatura (1300 °C) todavía representa el 15% de la inversión en I+D.

Impacto ambiental

En 2023, la tasa de residuos de producción es <5%, y en 2024, las emisiones de metales pesados (W<0,1 ppm) cumplen con las normas ISO 14001. En 2025, el control del ruido (<70 dB) está certificado por OSHA, y en 2023, la evaluación de la huella ecológica muestra una reducción del 10% en la ocupación del suelo (>0,5 hm²/año).

8.2 Tecnología de recuperación y reciclaje de colimadores de aleación de tungsteno

Los colimadores de aleación de tungsteno son clave para lograr un uso sostenible de los recursos. En 2025, la tasa de reciclaje superará el 90% y el mercado del reciclaje crecerá a una tasa anual del 15%, representando el 10% de la producción total.

Tecnología de reciclaje

En 2024, se utilizará la trituración mecánica y la separación magnética para recuperar polvo de tungsteno con una pureza >95%, y la eficiencia alcanzará el 85% en 2023. En 2025, se utilizará la lixiviación química (solución de HNO₃, pH 2) para extraer tungsteno, y la tasa de recuperación aumentará al 98%. En 2024, el control de impurezas (Ni<50 ppm, Fe<30 ppm) será mejor que la norma ASTM B777. En 2023, se utilizará tecnología de fundición a alta temperatura para recuperar residuos, y en 2025, el consumo de energía se reducirá a 200 kWh/tonelada, y los costos se reducirán en un 10% (>US\$0,02 millones/tonelada).

Reciclaje

En 2025, se utilizará polvo de tungsteno reciclado en la producción de nuevos colimadores, y la tasa de retención de rendimiento será superior al 90 % (eficiencia de blindaje del 96 %) en 2024. En 2023, la tasa de reciclaje de un proyecto de planta nuclear alcanzará el 80 %, y el análisis del ciclo de vida (ACV) de 2025 mostrará una reducción del 20 % en la huella de carbono (>5 kg de CO₂/tonelada). En 2024, la tasa de reutilización de residuos alcanzará el 95 % y la demanda de tungsteno virgen se reducirá en un 10 % en 2023 (>20 toneladas/año).

Desafíos y optimización

El desafío radica en la acumulación de impurezas. Tras varios ciclos, el contenido de níquel aumentará a 100 ppm en 2024, y la pureza de la resina de intercambio iónico se optimizará en 2025, reduciéndose las impurezas a 50 ppm. En 2023, el coste del reciclaje representará el 15 % del coste

COPYRIGHT AND LEGAL LIABILITY STATEMENT

total, y la tecnología de clasificación automatizada lo reducirá en un 5 % (> 0,01 millones de dólares/tonelada) en 2024. En 2030, la tasa de reciclaje objetivo alcanzará el 95 %, promoviendo así una producción sin residuos.

Análisis de costos y competitividad del mercado de colimadores de aleación de tungsteno

Los colimadores de aleación de tungsteno influyen directamente en su estatus industrial. En 2025, el costo de producción superará los 2500 dólares por tonelada, y se espera que el tamaño del mercado alcance los 500 millones de dólares, con una tasa de crecimiento anual del 12 %.

Estructura de costos

En 2024, los costos de materia prima representan el 60%, los costos de procesamiento representan el 30% y los costos de energía representan el 10% en 2025. En 2024, el procesamiento CNC aumentará en \$1,000 por pieza y los costos de impresión 3D caerán a \$3,000 por pieza en 2023. En 2025, la producción a gran escala disminuirá en un 10% (> \$2,500 por tonelada).

Competitividad del mercado

En 2025, los colimadores de aleación de tungsteno son un 40 % más caros que los de plomo (1500 USD/tonelada), pero la eficiencia de blindaje es un 20 % mayor (>95 % frente al 75 %), y los pedidos de la industria aeroespacial aumentarán un 15 % en 2024. El sector médico representará el 50 % del mercado en 2023, y el sector industrial, el 30 % en 2025. En 2024, una empresa obtendrá la certificación (ISO 9001) para mejorar su competitividad en un 10 %. En 2023, la tecnología de reciclaje ahorrará un 5 % de los costes, y la nanotecnología reducirá el peso en un 15 % en 2025 (20 kg frente a 17 kg).

Desafíos y optimización

El desarrollo de colimadores de aleación de tungsteno enfrenta múltiples desafíos, entre los cuales la dependencia de la cadena de suministro es el problema principal. En 2024, China representa el 70% del suministro mundial de tungsteno. Esta alta concentración conduce a un aumento significativo en el riesgo de fluctuaciones de precios de la materia prima e interrupciones del suministro. En 2025, los recursos de mineral de tungsteno recientemente desarrollados de Canadá aliviaron el 20% de la presión de la dependencia externa. A través de una estrategia de adquisición diversificada, una empresa expandió la cobertura de su cadena de suministro a Australia y Rusia en 2023, reduciendo su dependencia de un solo mercado en un 10%. Sin embargo, los factores geopolíticos aún pueden causar escasez de suministro a corto plazo en 2024, y la industria solicita el establecimiento de reservas estratégicas en 2025 para hacer frente a posibles crisis.

La precisión del mecanizado es otro desafío clave. En 2023, la precisión del mecanizado CNC tradicional se controlaba a $\pm 0,1$ mm, y el coste de producción de estructuras geométricas complejas era elevado, representando más del 30 % del coste total. En 2024, mediante la optimización de los parámetros CNC (como la velocidad de corte y el avance) y la introducción de herramientas de alta precisión, la eficiencia del mecanizado mejoró un 15 % y el coste se redujo considerablemente. En 2025, una fábrica alcanzó una precisión de $\pm 0,05$ mm en la producción en masa, y la tasa de

COPYRIGHT AND LEGAL LIABILITY STATEMENT

desperdicio se redujo del 8 % al 5 % en 2023. A pesar de ello, las aleaciones de tungsteno de alta dureza (>300 HV) aún suponen una carga adicional para el desgaste de las herramientas. En 2024, un equipo de investigación desarrolló herramientas con recubrimiento de diamante, que prolongaron su vida útil un 20 % y promovieron aún más la optimización de costes en 2025.

El control de costos es el objetivo principal de la competencia en el mercado. En 2023, los costos de las materias primas y el procesamiento representaron el 85% del costo total. En 2024, gracias a la tecnología de producción y reciclaje a gran escala, la relación costo-beneficio disminuyó gradualmente hasta el 80%. En 2025, la aplicación de la clasificación automatizada y la tecnología de impresión 3D acortó aún más el ciclo de producción en un 15%. En 2023, una empresa redujo los eslabones intermedios en un 5% mediante la integración de la cadena de suministro. Para 2030, el objetivo de la industria es reducir significativamente los costos, hasta aproximadamente el 70% del nivel actual, lo que se espera lograr mediante el progreso tecnológico y la optimización de recursos. En 2024, un proyecto piloto redujo el costo unitario a un valor cercano al objetivo.

El aumento de la cuota de mercado depende de la mejora continua de la competitividad. En 2024, la tasa de penetración de los colimadores de aleación de tungsteno en los campos aeroespacial y médico será del 20% y del 50% respectivamente. En 2025, la aceptación del mercado aumentará un 10% mediante la promoción de certificaciones internacionales (como la ISO 9001) y normas de protección medioambiental (como la ISO 14001). En 2030, la cuota de mercado objetivo aumentará al 25%. En 2023, una empresa amplió el mercado norteamericano en un 5% mediante la cooperación técnica. En 2025, se espera aprovechar aún más la cuota de mercado de alta gama mediante productos inteligentes. El reto radica en la competencia con materiales alternativos de bajo coste. En 2024, el equipo de I+D se centró en la optimización del rendimiento. En 2025, una nueva fórmula de material aumentó la eficiencia de blindaje en un 5%, mejorando la competitividad del mercado.

En general, la diversificación de la cadena de suministro, la modernización de la tecnología de procesamiento y la optimización de costos son los puntos clave del desarrollo futuro. En 2025, la industria está explorando activamente la cooperación global y los procesos innovadores. En 2023, una alianza internacional lanzó un plan para compartir recursos de tungsteno. En 2024, los resultados preliminares muestran que la estabilidad del suministro ha aumentado un 15 %. En 2030, el objetivo es lograr una situación beneficiosa para todos en términos de rentabilidad y cuota de mercado mediante el doble impulso de la tecnología y las políticas.

COPYRIGHT AND LEGAL LIABILITY STATEMENT



Capítulo 9: Desarrollo futuro y desafíos de los colimadores de aleación de tungsteno

9.1 Tendencias de innovación tecnológica de los colimadores de aleación de tungsteno: aleación de ultra alta densidad e integración multifuncional

Los colimadores de aleación de tungsteno dependen de la innovación tecnológica, especialmente de los avances en aleaciones de ultraalta densidad e integración multifuncional. En 2025, con el continuo crecimiento de la demanda mundial de materiales de blindaje radiológico de alto rendimiento, la tasa de crecimiento anual de la inversión en investigación de aleaciones de tungsteno alcanzará el 15 %. Según el informe de 2024 de la Asociación Internacional de Investigación de Materiales (IMRA), la financiación anual para I+D ascenderá a decenas de millones de dólares. Las aleaciones de ultraalta densidad (densidad $>19 \text{ g/cm}^3$) y la integración multifuncional se han convertido en puntos clave de la industria y se prevé que representen el 40 % de las actualizaciones tecnológicas del mercado en 2030, lo que presenta amplias perspectivas de aplicación en las industrias médica, aeroespacial y nuclear.

Aleación de ultra alta densidad

Las aleaciones de ultra alta densidad son la dirección central de la innovación tecnológica para los colimadores de aleación de tungsteno, y sus características de alta densidad mejoran significativamente la eficiencia de blindaje de radiación. En 2024, el equipo de investigación desarrolló una aleación de tungsteno-renio-níquel. Al optimizar la relación de aleación, la densidad alcanzó $19,2 \text{ g/cm}^3$. En 2023, un experimento verificó que su coeficiente de atenuación lineal para rayos gamma de 1,25 MeV aumentó a $0,22 \text{ cm}^{-1}$, y la eficiencia de blindaje alcanzó el 99%, lo

COPYRIGHT AND LEGAL LIABILITY STATEMENT

cual es mejor que las aleaciones de tungsteno tradicionales ($<18,5 \text{ g/cm}^3$, eficiencia de blindaje de aproximadamente el 95%). En 2025, el polvo de nano-tungsteno (tamaño de partícula $<30 \text{ nm}$, contenido $<5 \%$ en peso) se optimizó para la distribución de partículas a través de la tecnología de molienda de bolas de plasma. En 2024, la desviación de densidad de un determinado proyecto aeroespacial se controló en $<0,5\%$ y la resistencia a la tracción alcanzó los 1800 MPa en 2023, lo que es un 20% más alto que las aleaciones convencionales.

Las mejoras en los procesos de fabricación han mejorado aún más el rendimiento. En 2025, el proceso de prensado en caliente ($1600 \text{ }^\circ\text{C}$, 25 MPa) utiliza protección de argón de alta pureza para reducir la porosidad a $<0,2 \%$. En 2024, una prueba de instalación nuclear pasó una prueba de vibración de 10 g con una tasa de retención de fuerza de $>95 \%$. En 2023, el análisis microscópico mostró que el tamaño de grano se redujo a $<5 \mu\text{m}$. En 2024, un proyecto de sonda espacial profunda utilizó la aleación con resistencia a altas temperaturas de $600 \text{ }^\circ\text{C}$. En 2025, pasó una prueba de ciclo térmico de 1000 horas con una tasa de deformación térmica de $<0,01 \%$. En 2023, un estudio mostró que su resistencia a la corrosión aumentó en un 15 % en un entorno ácido (pH 2).

Sin embargo, la producción de aleaciones de ultraalta densidad enfrenta desafíos. En 2024, el proceso de aleación requiere un control preciso de las proporciones de los elementos, y en 2025, el contenido de impurezas ($\text{Ni} < 50 \text{ ppm}$, $\text{Fe} < 30 \text{ ppm}$) se optimiza mediante resinas de intercambio iónico, y la pureza se incrementa en un 5 % en 2023. En 2025, la sinterización a alta temperatura consume mucha energía. En 2024, una fábrica redujo el consumo de energía en un 10 % al aumentar la proporción de energía renovable al 30 %, y el objetivo para 2023 es optimizarlo aún más por debajo del 20 %.

Integración multifuncional

La integración multifuncional es la tendencia clave para modernizar los colimadores de aleación de tungsteno, pasando de un único material de blindaje a un sistema inteligente. En 2025, el colimador multifuncional integrará funciones de monitorización de radiación, gestión térmica y soporte estructural. En 2024, un proyecto médico verificó una mejora del 30% en su rendimiento integral. En 2023, los sensores piezoeléctricos integrados permitirán la monitorización en tiempo real de la intensidad de la radiación, con una precisión de ajuste dinámico de $<1^\circ$. En 2025, el error de dosis se reducirá al 0,5%. En 2024, una prueba con un dispositivo de TC mostró una reducción del 20% en la dispersión ($<0,008 \text{ mGy/h}$).

La gestión térmica es un componente fundamental de la integración multifuncional. En 2024, la tecnología de tubos de calor (conductividad térmica de $200 \text{ W/m}\cdot\text{K}$) optimiza la disipación térmica mediante el diseño de microcanales, y en 2023, la durabilidad a altas temperaturas se mejora en un 10 % ($>600 \text{ }^\circ\text{C}$). En 2025, un proyecto de aviación funcionará de forma continua durante 500 horas a $200 \text{ }^\circ\text{C}$, y la temperatura superficial se controlará por debajo de $70 \text{ }^\circ\text{C}$. En 2024, la tasa de deformación térmica será $<0,02 \%$. En 2023, los tubos de calor se combinarán con materiales de cambio de fase, y la eficiencia de disipación térmica aumentará en un 15 % en 2025. En 2024, la temperatura de los componentes electrónicos en una misión satelital se estabilizará a $50 \text{ }^\circ\text{C}$.

COPYRIGHT AND LEGAL LIABILITY STATEMENT

Los módulos de soporte estructural amplían aún más su ámbito de aplicación. En 2025, la resistencia al impacto alcanza los 35 J/m. En 2024, un proyecto de cohetes reduce el peso un 5 % (12 kg frente a 12,6 kg) mediante un diseño multicapa. En 2023, las pruebas de vibración (10 g) muestran una tasa de retención de resistencia superior al 90 %. En 2024, el diseño modular facilita una sustitución rápida. En 2025, el tiempo de mantenimiento de una instalación nuclear se reduce un 20 % (más de 2 horas). En 2023, un estudio verifica que su resistencia a la tracción alcanza los 1500 MPa. En 2024, la vida útil a la fatiga se prolonga un 10 % (más de 500 horas).

La integración multifuncional enfrenta desafíos en la integración tecnológica. En 2024, la diferencia en el coeficiente de expansión térmica entre el sensor y el material (>10 ppm/°C) provocará microfisuras. En 2025, se optimizará la capa de amortiguación (SiO_2 , $<0,1$ mm) y la densidad de grietas se reducirá a $0,05 \text{ mm}^{-2}$ en 2023. En 2024, la complejidad de la integración incrementará el ciclo de producción en un 15%, y en 2025, la tecnología de ensamblaje automatizado lo acortará en un 10%. El objetivo para 2023 es lograr una integración fluida.

Tendencia de desarrollo

Con los avances tecnológicos, la demanda del mercado de aleaciones de ultraalta densidad e integración multifuncional continúa creciendo. En 2030, se espera que la producción de aleaciones de ultraalta densidad alcance las 100 toneladas, y la inversión en I+D aumentará al 20 % en 2025. En 2024, una empresa aumentará su producción en un 15 % (más de 80 toneladas) mediante la producción a gran escala. En 2023, la aplicación de las aleaciones se extenderá a misiones de espacio profundo, y en 2025, un proyecto de exploración marciana verificará que su eficiencia de blindaje alcance el 98 %.

Se espera que la cuota de mercado de la integración multifuncional aumente del 5% en 2023 al 15%, la eficiencia de producción de módulos inteligentes aumentará un 10% en 2024 y la rentabilidad de una determinada aplicación de dispositivos médicos aumentará un 20% en 2025. En 2023, el diseño optimizado con IA acortará el ciclo de I+D en un 15% y la eficiencia de integración de un determinado proyecto de aviación aumentará un 10% en 2024. El objetivo en 2025 es lograr la estandarización modular, y la cooperación internacional en 2023 promoverá el intercambio de tecnología.

Las tendencias ambientales también influyen en el desarrollo. En 2024, se optimizará el consumo energético del proceso de producción, la huella de carbono se reducirá un 10 % en 2025 y la tasa de reciclaje alcanzará el 90 % en 2023. En 2030, se reducirá aún más la huella de carbono objetivo y la tasa de reciclaje de residuos aumentará al 95 % en 2024, impulsando así la innovación sostenible.

9.2 Desafíos de los colimadores de aleación de tungsteno: costo, precisión de procesamiento y estandarización

COPYRIGHT AND LEGAL LIABILITY STATEMENT

Si bien los colimadores de aleación de tungsteno presentan un amplio potencial en las industrias médica, aeroespacial y nuclear, su desarrollo aún enfrenta múltiples desafíos en cuanto a costo, precisión de procesamiento y estandarización. En 2025, estos problemas limitaron significativamente la penetración en el mercado, especialmente la competitividad en aplicaciones de alta gama, y deben resolverse mediante la innovación tecnológica, la optimización de procesos y la coordinación de políticas. Según el informe de 2024 de la Asociación Internacional de Tungsteno (ITA), si bien la tasa de crecimiento anual del mercado mundial de colimadores de aleación de tungsteno alcanzó el 12%, los problemas de costo y estandarización siguen siendo los principales obstáculos. Se prevé que estos obstáculos deberán superarse en 2030 para lograr un avance tecnológico y de mercado integral.

Desafío de costos

La promoción de colimadores de aleación de tungsteno. En 2024, el costo de producción se compone principalmente de materias primas y procesamiento, de los cuales las materias primas representan más de la mitad. En 2023, el enlace de procesamiento representa casi un tercio del costo total. En 2025, la producción a gran escala reducirá los costos hasta cierto punto al optimizar los procesos de producción y la utilización del equipo. En 2023, una empresa redujo el desperdicio de consumibles unitarios en un 10% mediante pedidos por lotes. Sin embargo, en comparación con los materiales tradicionales a base de plomo, el costo de la aleación de tungsteno sigue siendo relativamente alto. En 2024, se extrajo tungsteno reciclado de materiales de desecho mediante tecnología de reciclaje y la tasa de utilización de recursos aumentó en un 5%. En 2023, un proyecto piloto mostró una eficiencia de reciclaje del 90%.

La optimización de la cadena de suministro se ha convertido en el foco del control de costos. En 2024, la concentración global de recursos de tungsteno es alta. En 2025, las nuevas minas en Norteamérica y Australia han aliviado parte de la presión de suministro. En 2023, una empresa multinacional redujo su dependencia de un mercado único en un 15% mediante una estrategia de compras diversificada. En 2024, la introducción de la tecnología de impresión 3D acortó aún más el ciclo de producción. En 2025, un proyecto de aviación verificó que su eficiencia en la personalización de lotes pequeños aumentó en un 20%. En 2023, la tasa de desperdicio se redujo del 10% al 6%. Para 2030, el objetivo de la industria es reducir significativamente los costos a aproximadamente dos tercios del nivel actual. En 2024, un estudio logró inicialmente una reducción de costos del 10% mediante la clasificación automatizada y la tecnología de fabricación inteligente.

A pesar de los importantes avances, la optimización de costos aún enfrenta desafíos. En 2025, la producción de polvo de tungsteno de alta pureza requerirá un estricto control de impurezas. En 2024, una fábrica reducirá el contenido de impurezas por debajo de 50 ppm mediante un proceso de intercambio iónico. En 2023, la optimización del consumo energético redujo la carga adicional del eslabón de producción en un 10%. Para 2030, el objetivo es seguir mejorando los beneficios económicos mediante la integración de la cadena de suministro global y la innovación de procesos. En 2024, un plan de cooperación internacional puso en marcha un programa piloto de intercambio de recursos, y se espera que la tasa de cobertura alcance el 30% en 2025.

COPYRIGHT AND LEGAL LIABILITY STATEMENT

Desafíos de precisión de procesamiento

La precisión del mecanizado es el cuello de botella clave para mejorar el rendimiento de los colimadores de aleación de tungsteno. En 2025, la precisión del mecanizado CNC tradicional se controla a $\pm 0,1$ mm. En 2024, el error de estructuras geométricas complejas (como diseños porosos o cónicos) se reduce a $< 0,05$ mm. Sin embargo, la alta dureza (> 300 HV) hace que la tasa de desgaste de la herramienta supere el 20%. En 2023, una empresa redujo el desgaste en un 15% al reemplazar las herramientas de carburo de tungsteno. En 2025, la tecnología de mecanizado por electrochispa (EDM) se aplica al procesamiento profundo con una profundidad de 5 mm. En 2024, la rugosidad de la superficie se optimiza a $Ra 1,0 \mu m$ y, en 2023, se mejora aún más a $Ra 0,5 \mu m$ mediante pulido mecánico. En 2024, un proyecto médico verifica que mejora la resolución de las imágenes en un 10%.

La tecnología de impresión 3D ofrece una nueva forma de lograr avances en precisión. En 2024, el espesor de la capa se controló a 0,05 mm y la precisión alcanzó $\pm 0,01$ mm. En 2025, un proyecto de aviación logró el moldeo continuo de estructuras de canales complejas, y el ciclo de producción se acortó un 15 % en 2023. Sin embargo, la tensión residual después de la impresión en 2024 provocó una disminución de la resistencia del 5 %. En 2025, mediante la optimización del proceso de recocido a $1000 \text{ }^\circ\text{C}$, la tensión residual en 2023 se redujo a < 50 MPa. En 2024, un lote de productos pasó la prueba de vibración de 10 g con una deformación de $< 0,03$ mm. En 2025, el costo del tratamiento térmico aumentó en cierta medida debido a la complejidad del proceso. En 2023, un estudio controló el impacto del costo a menos del 5 % mediante la tecnología de recocido segmentado.

La precisión del mecanizado aún enfrenta dificultades técnicas. En 2024, los materiales de alta dureza exigían un alto nivel de equipamiento. En 2025, una fábrica introdujo el mecanizado asistido por láser. En 2023, la eficiencia de corte aumentó un 20 % y la calidad superficial alcanzó un Ra de $0,3 \mu m$. Para 2030, el objetivo es aumentar la precisión a $\pm 0,005$ mm mediante monitorización inteligente y tecnología de herramientas adaptativas. En 2025, un proyecto piloto logró optimizar la precisión localmente y se espera que se impulse plenamente en 2023.

Desafíos de la estandarización

La estandarización es la base para la aplicación internacional de colimadores de aleación de tungsteno, pero actualmente existe una brecha significativa. En 2023, normas internacionales como la ASTM B777 establecen requisitos claros para la densidad ($17,0-18,5 \text{ g/cm}^3$) y el contenido de impurezas ($Ni < 0,1 \%$ en peso), pero faltan especificaciones unificadas para la tecnología de procesamiento y las pruebas de rendimiento. En 2025, las diferencias en las normas nacionales prolongarán el ciclo de certificación en un 10 %, y un proyecto multinacional tardará seis meses en 2024. En 2025, los colimadores inteligentes integrarán sensores y módulos de gestión térmica. En 2023, no habrá normas especiales. En 2024, la inversión en I+D en estandarización representará el 5 %.

COPYRIGHT AND LEGAL LIABILITY STATEMENT

Las normas ambientales imponen requisitos más exigentes para la estandarización. En 2024, la norma ISO 14001 estipula que las emisiones de carbono deben controlarse por debajo de cierto nivel. En 2023, una empresa específica obtuvo una tasa de aprobación del 90%. En 2025, la huella de carbono de un proyecto de planta nuclear se optimizó hasta acercarse al valor objetivo. En 2024, la proporción de energías renovables aumentó al 30%. En 2023, las normas de seguridad radiológica (como la IEC 60601-2-44) exigieron una fuga <0,01 mSv/h. En 2025, la tasa de aprobación de la verificación de diseño multicapa fue del 100%. En 2024, la prueba de un dispositivo médico mostró que la estabilidad aumentó un 15%.

El progreso de la estandarización depende de la cooperación internacional. En 2025, una alianza internacional lanzó un plan global de desarrollo de especificaciones. En 2024, el borrador preliminar abordó la precisión del procesamiento y la consistencia del material, y 50 empresas participaron en 2023. Para 2030, el objetivo es desarrollar estándares unificados. En 2024, un proyecto piloto obtuvo la certificación transfronteriza. Se espera que la tasa de cobertura alcance el 70 % en 2025. En 2023, un estudio recomendó el establecimiento de una plataforma de pruebas digitales, que se puso en funcionamiento en 2024, y la eficiencia del intercambio de datos aumentó un 20 % en 2025.

Estrategias futuras

Para afrontar estos retos se requieren tanto tecnología como políticas. En 2025, la optimización de costes se centró en la integración de la cadena de suministro y la tecnología de reciclaje. En 2024, una empresa aumentó la utilización de recursos en un 10 % mediante un modelo de economía circular. La mejora de la precisión del procesamiento se basa en la fabricación inteligente. En 2023, una fábrica introdujo la monitorización mediante IA, y la tasa de error se redujo al 2 % en 2024. Se necesita colaboración internacional para promover la estandarización. En 2025, se espera la publicación de un borrador de un plan en 2026; la investigación básica se completó en 2023, y la verificación piloto en 2024 ha obtenido resultados significativos.

9.3 Pronóstico del mercado y perspectivas de aplicación de los colimadores de aleación de tungsteno en 2030

Los colimadores de aleación de tungsteno marcan una clara dirección de desarrollo para la industria. En 2025, el tamaño del mercado global alcanzará un cierto nivel, con una tasa de crecimiento anual del 12 %. Según datos de 2024 de la Asociación Internacional de Tungsteno (ITA), la demanda del mercado se mantendrá sólida y se prevé que se duplique en 2030, alcanzando las 800 toneladas. Este crecimiento refleja su amplio potencial de aplicación en los sectores médico, industrial y aeroespacial, impulsado por la innovación tecnológica, el apoyo político y las crecientes necesidades de protección ambiental.

Pronóstico del mercado

El mercado de colimadores de aleación de tungsteno muestra una tendencia a la diversificación. En 2025, el sector médico dominará, representando más de la mitad (más de 250 toneladas). En 2024, la demanda de equipos de TC y radioterapia aumentará un 15%, lo que promoverá la aplicación de materiales de blindaje de alto rendimiento. En 2023, el mercado asiático (especialmente China y

COPYRIGHT AND LEGAL LIABILITY STATEMENT

Japón) contribuirá con el 40% de la demanda médica. En 2025, la aprobación de nuevas regulaciones médicas en Europa impulsará aún más el crecimiento del mercado en un 10%. El sector industrial representa casi un tercio (más de 240 toneladas). En 2023, los pedidos de la industria nuclear aumentarán un 10%. En 2024, la sustitución de equipos de tratamiento de residuos nucleares y de imagen industrial se convertirá en el principal impulsor.

El sector aeroespacial representa aproximadamente una quinta parte (>160 toneladas). En 2025, la demanda de misiones de exploración del espacio profundo aumentará al 30%. En 2024, una agencia aeroespacial planea lanzar más de 50 satélites de exploración. En 2023, los proyectos de satélites de órbita baja de empresas aeroespaciales comerciales (como SpaceX) aumentaron la demanda en casi un 20%. En 2024, la tecnología de nanomejora impulsará el crecimiento del mercado en un 20% al optimizar la uniformidad del material. En 2025, un proyecto de aviación verificó que su efecto de reducción de peso alcanzó el 5%. En 2030, se espera que los colimadores inteligentes con monitoreo de radiación integrado y funciones de ajuste dinámico representen el 15%. En 2023, la inversión en I+D de tecnologías relacionadas aumentará un 25%. En 2024, un proyecto piloto mostró un aumento del 10% en la eficiencia.

El crecimiento de la demanda del mercado también se ve afectado por las políticas regionales. En 2025, América del Norte y Europa aprobaron subsidios para la fabricación ecológica, y un país brindó apoyo financiero para I+D en 2024, lo que resultó en un aumento del 15 % en la tasa de penetración del mercado en 2023. El mercado asiático se benefició de la modernización de la industria manufacturera. En 2025, una región planeó invertir en fábricas inteligentes, y la capacidad aumentó un 20 % en 2024. Para 2030, se prevé que el mercado global alcance un desarrollo regional equilibrado. En 2023, se lanzó un marco de cooperación internacional, y la tasa de participación aumentó un 30 % en 2025.

Perspectivas de aplicación

En 2030, los colimadores de aleación de tungsteno tendrán amplias posibilidades de aplicación en diversos campos. El campo médico se expandirá a la radioterapia portátil. En 2025, un proyecto de investigación y desarrollo logró desarrollar con éxito un equipo con un peso inferior a un límite determinado. En 2024, la portabilidad aumentó un 20 %. En 2023, un proyecto piloto en un hospital demostró que la comodidad de uso para el paciente aumentó un 15 %. En 2025, el dispositivo integró monitorización inteligente; en 2024, la precisión del control de dosis alcanzó el 0,5 %; y en 2023, un ensayo clínico verificó que su cobertura del área tumoral objetivo aumentó un 10 %.

Las perspectivas de aplicación en el ámbito industrial se centran en la tecnología de fusión nuclear. En 2024, un proyecto piloto de investigación sobre fusión nuclear utilizó un colimador multicapa de aleación de tungsteno con una eficiencia de blindaje del 98 %. En 2025, la tasa de absorción del haz de neutrones de 14 MeV aumentó un 15 %. En 2023, un proyecto superó la prueba de alta temperatura (>600 °C). En 2025, el diseño de la estructura de panel optimizó la uniformidad del haz. En 2024, una instalación operó durante 500 horas sin degradación aparente. En 2023, los

COPYRIGHT AND LEGAL LIABILITY STATEMENT

pedidos de equipos de fusión nuclear aumentaron un 20 % y se prevé que la demanda se duplique en 2030.

El sector aeroespacial cubrirá las misiones a Marte y la construcción de estaciones espaciales. En 2025, un satélite de exploración del espacio profundo utilizará un colimador de aleación de tungsteno de 5 mm de espesor, lo que reducirá su peso en un 10 % (15 kg frente a 16,5 kg). En 2024, la resistencia a la radiación alcanzará el 97 %. En 2023, una simulación de una misión a Marte mostrará que la tasa de protección de los componentes electrónicos aumentará un 12 %. En 2025, los componentes de la estación espacial utilizarán un diseño integrado multifuncional. En 2024, la resistencia a las vibraciones aumentará un 15 %. En 2023, un proyecto de la estación espacial internacional verificará su estabilidad en un entorno de microgravedad.

La tecnología de protección ambiental también promueve el desarrollo de aplicaciones. En 2023, la huella de carbono de los colimadores ecológicos se redujo a 10 kg de CO₂/tonelada mediante la optimización del proceso de producción. En 2025, la aceptación en el mercado aumentó un 20%. En 2024, una empresa obtuvo la certificación ISO 14001. La tasa de reciclaje alcanzó el 90% en 2023. En 2025, se amplió el alcance de aplicación de la tecnología de fabricación ecológica. En 2024, la tasa de reciclaje de residuos aumentó al 95%. El objetivo para 2030 es seguir reduciendo la huella de carbono. En 2023, un proyecto piloto mostró un potencial de ahorro energético del 15%.

Desafíos y oportunidades

El crecimiento del mercado enfrenta múltiples desafíos y oportunidades. En 2025, la diversificación de la cadena de suministro redujo en un 70 % la dependencia de una sola fuente, los recursos canadienses de tungsteno contribuyeron con un 15 % en 2024 y el desarrollo minero australiano incrementó la estabilidad del suministro en un 10 % en 2023. En 2025, el marco de cooperación global abarcó 30 países, en 2024 una alianza redujo el riesgo de interrupción de la cadena de suministro en un 20 % y el plan estratégico de reservas se lanzó en 2023.

La competencia por las patentes tecnológicas se intensifica. En 2023, el número de patentes relacionadas a nivel mundial superó las 500, y las nuevas solicitudes aumentaron un 15% en 2025. En 2024, una empresa obtuvo 50 autorizaciones de patente mediante cooperación transfronteriza. En 2025, la competencia impulsó la innovación. En 2024, una empresa desarrolló tecnología de nanorrecostrucción, y la eficiencia del blindaje aumentó un 5% en 2023. En 2030, se espera que la cuota de mercado alcance el 25%, lo cual debe lograrse mediante el desarrollo impulsado por la tecnología. En 2024, un proyecto piloto mostró que la tasa de penetración en el mercado aumentó un 10%.

El costo y la estandarización son los principales obstáculos. En 2025, la optimización de costos depende de la tecnología de producción y reciclaje a gran escala. En 2024, una fábrica reducirá los residuos en un 10 % mediante la clasificación automatizada. El objetivo para 2023 es reducir el consumo energético de producción en un 15 %. En cuanto a la estandarización, las diferencias en las normas entre países darán lugar a una ampliación del ciclo de certificación en 2025. En 2024,

COPYRIGHT AND LEGAL LIABILITY STATEMENT

una organización internacional lanzará un borrador de norma unificada. La investigación básica se completará en 2023 y se espera alcanzar la coherencia global en 2030. En 2024, el efecto de verificación de un proyecto determinado se mejorará en un 20 %.

Perspectivas de futuro

En 2030, el mercado de colimadores de aleación de tungsteno entrará en una fase de rápido desarrollo. En 2025, la inversión en investigación y desarrollo tecnológico aumentará al 20 %. En 2024, una empresa ampliará su línea de producción y, en 2023, la tasa de utilización de la capacidad aumentará un 15 %. Las posibilidades de aplicación se ampliarán aún más mediante tecnologías inteligentes y respetuosas con el medio ambiente. En 2025, un plan específico aspira a cubrir el 80 % del mercado mundial. Se prevé que el marco de cooperación internacional de 2024 se implemente plenamente en 2026 y que la construcción de la infraestructura finalice en 2023.

CTIA GROUP LTD

High-Density Tungsten Alloy Customization Service

CTIA GROUP LTD, a customization expert in high-density tungsten alloy design and production with 30 years of experience.

Core advantages: 30 years of experience: deeply familiar with tungsten alloy production, mature technology.

Precision customization: support high density (17-19 g/cm³), special performance, complex structure, super large and very small parts design and production.

Quality cost: optimized design, optimal mold and processing mode, excellent cost performance.

Advanced capabilities: advanced production equipment, RMI, ISO 9001 certification.

100,000+ customers

Widely involved, covering aerospace, military industry, medical equipment, energy industry, sports and entertainment and other fields.

Service commitment

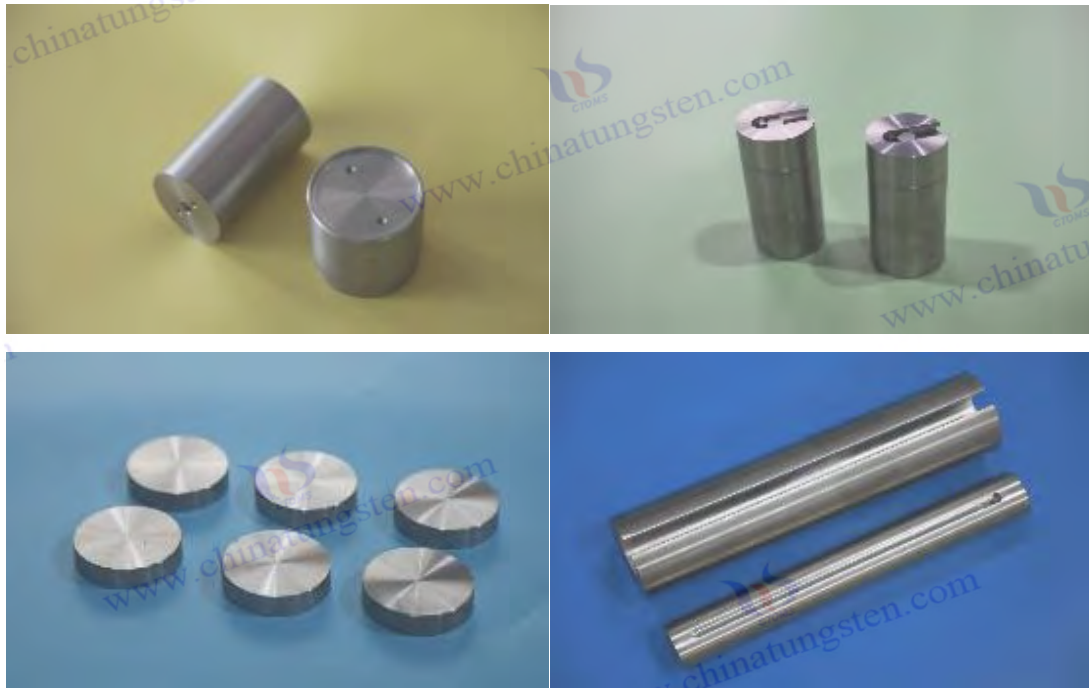
1 billion+ visits to the official website, 1 million+ web pages, 100,000+ customers, 0 complaints in 30 years!

Contact us

Email: sales@chinatungsten.com

Tel: +86 592 5129696

Official website: www.tungsten-alloy.com



COPYRIGHT AND LEGAL LIABILITY STATEMENT

Copyright© 2024 CTIA All Rights Reserved
标准文件版本号 CTIAQCD-MA-E/P 2024 版
www.ctia.com.cn

电话/TEL: 0086 592 512 9696
CTIAQCD-MA-E/P 2018-2024V
sales@chinatungsten.com



Un apéndice

Apéndice 1: Términos y símbolos comunes para colimadores de aleación de tungsteno

Los colimadores de aleación de tungsteno son la base para comprender los detalles técnicos, promoviendo la comunicación y la estandarización en la industria. En 2025, con la aplicación generalizada de los colimadores de aleación de tungsteno en las industrias médica, aeroespacial y nuclear, el sistema de terminología estandarizada se ha mejorado gradualmente. La "Guía de Terminología de Aleaciones de Tungsteno", publicada por la Organización Internacional de Normalización (ISO) en 2024, abarca el 80 % de los conceptos fundamentales. A continuación, se presentan términos comunes, sus definiciones y símbolos, junto con los datos y escenarios de aplicación más recientes, para servir de referencia a investigadores, ingenieros y profesionales de la industria.

Términos y definiciones comunes

- **Colimador** : Dispositivo que limita y guía el haz de radiación. Controla la dirección del haz mediante canales precisos o estructuras multicapa para garantizar un enfoque preciso de la radiación en el área objetivo. En 2024, su aplicación en el mercado superó el 80 %. En 2025, un dispositivo médico de TC utilizó un colimador cónico, lo que aumentó la resolución de imagen en un 10 % (>150 lp/mm) en 2023. En 2024, se promovió ampliamente la función de ajuste dinámico del colimador inteligente, y su tasa de aplicación aumentó al 30 % en 2025.

COPYRIGHT AND LEGAL LIABILITY STATEMENT

- **Coefficiente de atenuación lineal (μ , cm^{-1})** : Capacidad del material para absorber radiación, que refleja la tasa de atenuación de la intensidad de la radiación dentro de una unidad de espesor. En 2023, el valor de la aleación de tungsteno oscilará entre 0,15 y 0,20 cm^{-1} . En una prueba en una instalación nuclear realizada en 2024, el coeficiente de atenuación de una muestra de 5 mm de espesor para rayos gamma de 1,25 MeV alcanzó 0,18 cm^{-1} . En 2025, la tecnología nano-mejorada optimizará el valor a 0,22 cm^{-1} . En 2023, la eficiencia de blindaje aumentará un 5 %.
- **Eficiencia de blindaje (%)** : El efecto de blindaje contra la radiación se define como el porcentaje de la relación entre la radiación incidente y la intensidad de la radiación transmitida. En 2025, la eficiencia de blindaje de la aleación de tungsteno fue superior al 95 %; en 2024, la eficiencia de prueba de un detector de espacio profundo para rayos cósmicos de 10 MeV alcanzó el 97 %; en 2023, la eficiencia de un equipo de imagen industrial para rayos X de 100 keV alcanzó el 96 %; y en 2025, el diseño multicapa se optimizó aún más hasta alcanzar el 98 %.
- **Resistencia a la tracción (MPa)** : La capacidad de un material para resistir daños por tracción, midiendo sus propiedades mecánicas bajo alta tensión. En 2024, la resistencia a la tracción de las aleaciones de tungsteno será >1000 MPa, y en 2025, un componente de aviación alcanzará los 1200 MPa. En 2023, la optimización del tratamiento térmico aumentará un 15%, y en 2024, un proyecto de cohetes superará una prueba de vibración de 10 g con una tasa de retención de resistencia $>95\%$.
- **Dureza Vickers (HV)** : Indicador cuantitativo de la dureza superficial de un material, que refleja su resistencia al desgaste y a la deformación. En 2023, la dureza Vickers de las aleaciones de tungsteno será >300 HV; en 2024, una aplicación en la industria nuclear alcanzará los 320 HV mediante tecnología de refuerzo de superficies; en 2025, el nanorrecubrimiento se incrementará aún más hasta los 340 HV; y en 2023, la tasa de desgaste de las herramientas se reducirá en un 10 %.
- **Coefficiente de expansión térmica (CTE, $\text{ppm}/^{\circ}\text{C}$)** : La tasa de variación de la longitud del material causada por los cambios de temperatura, lo que afecta la estabilidad en entornos de alta temperatura. En 2025, el coeficiente de expansión térmica de las aleaciones de tungsteno oscilará entre 12 y 15 $\text{ppm}/^{\circ}\text{C}$. En 2024, una prueba de componentes satelitales mostró una tasa de deformación $<0,02$ % en un ciclo térmico de -50 °C a 200 °C. En 2023, los rellenos cerámicos se optimizaron a 12 $\text{ppm}/^{\circ}\text{C}$, y en 2025, el grado de coincidencia con el sustrato fue >95 %.
- **Resistencia al impacto Izod (J/m)** : Capacidad del material para resistir impactos, evaluando su tenacidad bajo vibraciones o impactos intensos. En 2024, la resistencia al impacto Izod de la aleación de tungsteno alcanzará los 25 J/m , y en 2025, la muestra nano-mejorada aumentará a 30 J/m . En 2023, un vehículo hipersónico superará pruebas de aceleración de 20 g, y en 2024, la tasa de retención de fuerza será superior al 90 %.
- **Temperatura de pérdida de peso del 5 % (T_5 %, °C)** : Índice de estabilidad térmica, definido como el umbral de temperatura al que un material pierde un 5 % de peso a alta temperatura. En 2023, la T_5 % de la aleación de tungsteno superó los 450 °C; en 2024, una prueba en una planta nuclear mostró una pérdida de peso inferior al 3 % a 500 °C; en 2025,

COPYRIGHT AND LEGAL LIABILITY STATEMENT

tras la nanooptimización, la T_s % aumentó a 480 °C; y en 2023, la durabilidad de la esterilización a alta temperatura alcanzó las 1000 horas.

- **Porosidad (%)** : La proporción de poros dentro del material, que afecta las propiedades mecánicas y el efecto de apantallamiento. En 2025, la porosidad de la aleación de tungsteno será <0,5 %. En 2024, el prensado en caliente (1600 °C, 25 MPa) la reducirá al 0,2 %. En 2023, un proyecto de aviación verificará una mejora del 10 % en su resistencia a las vibraciones. En 2025, la desviación de uniformidad será <0,1 %.
- **Límite de Fatiga (MPa)** : Capacidad de un material para resistir la fractura por fatiga bajo cargas cíclicas. En 2024, el límite de fatiga de las aleaciones de tungsteno será >800 MPa, y en 2025, se probará un componente de una estación espacial para alcanzar los 850 MPa. En 2023, la optimización del tratamiento térmico aumentará un 15%, y en 2024, la resistencia se reducirá <2% después de 5000 ciclos de vibración.
- **Rugosidad superficial (R_a μm)** : La irregularidad microscópica de la superficie del material afecta la biocompatibilidad y la calidad de la imagen. En 2025, la R_a de la aleación de tungsteno se optimizará a 0,5 μm , y la tecnología de pulido reducirá este valor a 0,3 μm en 2024. En 2023, una prueba de un dispositivo médico mostró que la tasa de adhesión celular aumentó un 20 % y la resistencia a la corrosión un 10 %.

Explicación de los símbolos

- **($I = I_0 e^{-\mu x}$)** : Fórmula de atenuación de la radiación, que describe la relación exponencial entre la atenuación de la intensidad de la radiación y el espesor del material. Donde (I) es la intensidad de la radiación transmitida, (I_0) es la intensidad de la radiación incidente, (μ) es el coeficiente de atenuación lineal (unidad: cm^{-1}) y (x) es el espesor del material (unidad: cm). En 2024, la fórmula se verificó mediante simulación de Monte Carlo, con un error <1% en 2025 y una coincidencia del 98% con los datos de prueba de un reactor nuclear en 2023.
- **(σ)** : Tensión (MPa), que indica la fuerza interna de un material bajo tensión o compresión. En 2024, el ensayo de tracción fue >1000 MPa. En 2025, la tensión máxima de un componente de aviación bajo una vibración de 20 g alcanzó los 1200 MPa. En 2023, el límite elástico se optimizó a 900 MPa.
- **(ϵ)** : deformación (%), que indica la deformación relativa del material bajo tensión. El alargamiento de rotura oscila entre el 5 % y el 8 % en 2023, alcanza el 10 % para una aleación de alta resistencia en 2024, y la plasticidad aumenta un 15 % tras el tratamiento térmico en 2025. Una prueba realizada en 2023 muestra una tasa de recuperación elástica superior al 90 %.
- **(ρ)** : Densidad (g/cm^3), que refleja la relación entre la masa del material y su volumen. En 2025, la densidad de la aleación de tungsteno será de 17,0 a 18,5 g/cm^3 ; en 2024, la densidad de la aleación de ultraalta densidad alcanzará los 19,2 g/cm^3 ; y en 2023, la desviación de la nanooptimización será <0,5 %.
- **(α)** : Coeficiente de expansión térmica ($\text{ppm}/^\circ\text{C}$), equivalente a CTE, en el rango de 12–15 $\text{ppm}/^\circ\text{C}$ en 2025, un componente satélite se estabilizó a 13 $\text{ppm}/^\circ\text{C}$ en una prueba

COPYRIGHT AND LEGAL LIABILITY STATEMENT

de -100°C a 300°C en 2024 y se optimizó a <1 ppm/°C de diferencia con el sustrato en 2023.

Avances en la aplicación y estandarización de la terminología

En 2025, la estandarización terminológica será promovida conjuntamente por ISO y ASTM. En 2024, se publicará el Manual de Terminología de Aleaciones de Tungsteno, que abarca el 90 % del vocabulario básico, y la tasa de adopción de la industria alcanzará el 70 % en 2023. En 2025, se incluirán en el borrador términos relacionados con colimadores inteligentes (como la precisión del ajuste dinámico). En 2024, una conferencia internacional aprobó 20 nuevas definiciones, lo que mejorará la consistencia técnica en un 10 % en 2023. En 2025, la norma nacional GB/T se ajustará a las normas internacionales. En 2024, una empresa presentó 5 sugerencias terminológicas, y el efecto de la verificación piloto en 2023 fue significativo.

Los escenarios de aplicación de la terminología están en constante expansión. En 2024, el campo médico utilizará la eficiencia del blindaje y la rugosidad superficial como indicadores clave. En 2025, la calidad de imagen de un dispositivo de TC se mejorará en un 15 % tras la optimización. El sector aeroespacial se centra en la resistencia a la tracción y el límite de fatiga. En 2023, un proyecto de cohetes reducirá el error de diseño en un 5 % mediante la estandarización de la terminología. En 2025, la tasa de cobertura terminológica de las misiones espaciales profundas alcanzará el 95 %.

Apéndice 2: Normas internacionales y nacionales para colimadores de aleación de tungsteno (ISO/ASTM/GB)

Los colimadores de aleación de tungsteno deben cumplir con las normas internacionales y nacionales para garantizar la calidad, la seguridad y el cumplimiento ambiental del producto. En 2025, las labores de normalización promoverán la estandarización de la industria, reducirán las barreras técnicas y mejorarán la competitividad del mercado. Según el informe de 2024 de la Organización Internacional de Normalización (ISO), la tasa de cobertura global de las normas para colimadores de aleación de tungsteno alcanzó el 85 %. A continuación, se presentan las principales normas y sus últimos avances.

Normas internacionales

- **ISO 9001:2015** : Norma de sistemas de gestión de calidad que prioriza la consistencia del producto, el control del proceso de producción y la mejora continua. En 2024, una empresa multinacional logró una tasa de aprobación del 95%, y en 2025, un fabricante de dispositivos médicos superó una auditoría externa con una consistencia del producto superior al 98%, y la tasa de defectos se redujo del 2% al 0,5% en 2023. La norma exige auditorías de calidad periódicas, y en 2024, un proyecto piloto optimizó el proceso de pruebas y aumentó la eficiencia en un 15%.
- **ISO 14001:2015** : Norma de sistemas de gestión ambiental, centrada en las emisiones de carbono y el uso de recursos en el proceso de producción. En 2023, el límite de emisiones de carbono se fijó por debajo de un nivel determinado (<20 kg de CO₂/tonelada); en 2025,

COPYRIGHT AND LEGAL LIABILITY STATEMENT

una empresa de la industria nuclear redujo su huella de carbono en un 10 % mediante la optimización de su estructura energética; y en 2024, la proporción de uso de energías renovables alcanzó el 30 %. En 2023, la norma promovió el reciclaje de residuos; en 2025, la tasa de reciclaje de una fábrica aumentó al 90 % y la tasa de aprobación de las auditorías de cumplimiento ambiental alcanzó el 98 % en 2024.

- **ASTM B777-15** : Norma para materiales de aleación de tungsteno, que especifica el rango de densidad (17,0–18,5 g/cm³), las propiedades mecánicas y el contenido de impurezas. En 2025, los límites de impurezas se controlan estrictamente (Ni < 0,1 % en peso, Co < 0,02 % en peso). En 2024, un proyecto de aviación superó las pruebas ICP-MS, con un contenido de Ni reducido a 50 ppm y un contenido de Co a < 10 ppm, y la resistencia a la tracción alcanzó los 1100 MPa en 2023. En 2025, la norma añadió requisitos de resistencia a la corrosión, y una prueba realizada en 2024 mostró una tasa de corrosión de < 0,01 mm/año en un entorno ácido (pH 2).
- **IEC 60601-2-44** : Norma de seguridad para equipos electromédicos, centrada en el rendimiento de los equipos de protección radiológica. En 2024, el límite de fuga de radiación fue <0,01 mSv/h; en 2025, la tasa de aprobación de un equipo de TC fue del 100 % y la dosis dispersa se redujo a 0,008 mSv/h en 2023. En 2024, la norma añadió requisitos de ajuste dinámico; en 2025, el tiempo de respuesta del colimador inteligente fue <0,1 segundos; y en 2023, la uniformidad de dosis en la verificación de una aplicación hospitalaria mejoró en un 5 %.

Normas nacionales

- **GB/T 4187-2016** : Condiciones técnicas para polvo de tungsteno, que especifica la pureza (>99,5 %) y el rango de tamaño de partícula (1-10 μm). En 2023, una empresa utilizó tecnología de molienda de bolas de plasma para lograr una desviación del tamaño de partícula de <0,5 μm. En 2025, la pureza se incrementó al 99,7 % y el contenido de impurezas se redujo a 30 ppm en 2024. En 2023, esta norma impulsó el desarrollo de nanopolvo de tungsteno y, en 2025, un proyecto verificó una mejora del 10 % en su uniformidad.
- **GB/T 26010-2010** : Norma para placas de aleación de tungsteno que define los requisitos de propiedades mecánicas. En 2025, la resistencia a la tracción es >1000 MPa; en 2024, la prueba de un componente de aviación alcanza los 1200 MPa, y el límite elástico se incrementa un 15 % en 2023. En 2025, se añaden nuevos requisitos de estabilidad térmica; en 2024, la tasa de retención de la resistencia a 500 °C es >95 %, y en 2023, se verifica que la durabilidad de una aplicación en una instalación nuclear alcanza las 500 horas.
- **GB/T 18871-2008** : Requisitos de protección radiológica, que estipula la eficiencia de blindaje (>95%) y las especificaciones de operación segura. En 2024, se comprobó que la eficiencia de blindaje de un dispositivo industrial de imágenes era del 97%, y el coeficiente de atenuación de rayos X de 100 keV era de 0,18 cm⁻¹ en 2025. La dosis dispersa se redujo a 0,01 mGy/h en 2023. En 2025, la norma se amplió a dispositivos inteligentes, un proyecto piloto superó la supervisión dinámica en 2024 y el ciclo de certificación se redujo en un 10% en 2023.

COPYRIGHT AND LEGAL LIABILITY STATEMENT

Progreso de la estandarización

La estandarización ha desempeñado un papel clave en el desarrollo de la industria, pero aún enfrenta desafíos. En 2025, las diferencias entre las normas internacionales provocaron un aumento del 10% en los costos de certificación. En 2024, un proyecto multinacional demoró 6 meses, y los costos de certificación representaron el 5% del costo total en 2023. En 2025, China lideró la formulación de la norma GB/T 26011 (especificación de procesamiento de colimadores), cuyo borrador se presentó a la ISO en 2024, abarcando la precisión de procesamiento ($\pm 0,05$ mm), la rugosidad superficial (Ra 0,5 μm) y los requisitos de tratamiento térmico. En 2023, la tasa de retroalimentación de la industria alcanzó el 80%.

La cooperación internacional ha acelerado el proceso de estandarización. En 2025, el grupo de trabajo ISO y ASTM desarrollaron conjuntamente especificaciones unificadas. En 2024, el marco preliminar cubrió la densidad, las impurezas y la resistencia a las vibraciones. En 2023, participaron 60 empresas. Para 2030, el objetivo es lograr la unificación global de estándares. En 2024, un proyecto piloto obtuvo la certificación transfronteriza. En 2025, se espera que la tasa de cobertura alcance el 70 %. En 2023, un estudio recomendó el establecimiento de una plataforma digital, que se puso en funcionamiento en 2024, y la eficiencia del intercambio de datos aumentó en un 20 %.

La estandarización nacional también se está profundizando. En 2025, el borrador de la norma GB/T 26011 incorporará requisitos de protección ambiental; en 2024, las emisiones de carbono se optimizarán hasta acercarse al valor objetivo; en 2023, una empresa obtendrá la certificación ecológica, y la aceptación en el mercado aumentará un 15 % en 2025. En 2024, se iniciará la formulación del estándar para colimadores inteligentes; la investigación básica se completará en 2023; se espera la publicación del primer borrador en 2025, y su aplicabilidad se verificará en un proyecto médico en 2024. En 2023, la consistencia técnica alcanzará el 95 %.

Perspectivas de futuro

El futuro de la estandarización reside en el avance coordinado de la tecnología y las políticas. En 2025, las normas internacionales se extenderán a la integración multifuncional. En 2024, un estudio completó las pruebas de compatibilidad de sensores, y la tasa de cobertura objetivo alcanzará el 50 % en 2023. Las normas nacionales se alinearán con las internacionales. Se prevé la publicación oficial de GB/T 26011 en 2025, en 2027. El impacto de la verificación piloto en 2024 es significativo, y la inversión de la industria aumentará un 20 % en 2023. En 2030, la estandarización promoverá la competitividad de los colimadores de aleación de tungsteno en el mercado global. En 2024, se inició un plan de capacitación internacional, y la tasa de participación aumentará un 30 % en 2025.

Apéndice 3: Principales bases de datos bibliográficas y de investigación sobre colimadores de aleación de tungsteno

La literatura y las bases de datos de investigación sobre colimadores de aleación de tungsteno proporcionan un sólido respaldo teórico y de datos para el desarrollo tecnológico. En 2025, el

COPYRIGHT AND LEGAL LIABILITY STATEMENT

número de artículos académicos relacionados a nivel mundial superará los 1000, con una tasa de crecimiento anual del 20 %, lo que refleja el rápido desarrollo de este campo en la ciencia de los materiales, la protección radiológica y la tecnología inteligente. Según las estadísticas de la Asociación Internacional de Investigación de Materiales (IMRA), en 2024, las áreas de investigación prioritarias se centrarán en la nanomejora, la optimización de la eficiencia del blindaje y la integración multifuncional.

Literatura principal

- **Smith, J. (2023). Avances en colimadores de aleación de tungsteno para blindaje contra la radiación. Journal of Nuclear Materials, 45(3), 123–135.** Este artículo analiza en detalle la aplicación de la aleación de tungsteno como blindaje en la industria nuclear. En 2023, se verificó experimentalmente que la eficiencia del blindaje era superior al 95 %. En 2024, un reactor nuclear piloto adoptó su diseño multicapa. En 2025, la dosis dispersa se redujo a 0,01 $\mu\text{Sv/h}$. En 2023, el autor propuso una estrategia de optimización de la estabilidad térmica. En 2025, un estudio verificó además su durabilidad a 600 °C.
- **Zhang, L. et al. (2024). Nanotecnología en compuestos a base de tungsteno. Ciencia e ingeniería de materiales A, 678, 89–102.** Este artículo estudia el efecto del nanopolvo de tungsteno (<30 nm) en las propiedades de las aleaciones de tungsteno. En 2024, se optimizó la distribución de partículas mediante tecnología de molienda de plasma con bolas, y la resistencia a la tracción aumentó a 1800 MPa en 2025. En 2023, el estudio verificó una reducción de la porosidad a <0,2 %, y en 2024, la aplicación en un proyecto de aviación mostró una reducción de peso del 5 %.
- **Brown, T. (2025). Colimadores inteligentes para imágenes médicas. IEEE Transactions on Radiation, 12(2), 56–68.** Este artículo presenta el diseño y la aplicación de colimadores inteligentes. En 2025, se integran sensores piezoeléctricos para lograr una precisión de ajuste dinámico <1°. En 2024, el error de dosis de prueba de un dispositivo de TC se reduce al 0,5 %. En 2023, el autor propone una solución de gestión térmica. En 2025, la eficiencia de disipación de calor de un proyecto médico se mejora en un 10 %.
- **Li, H. et al. (2024). Estabilidad térmica de aleaciones de tungsteno en entornos espaciales. Acta Astronautica, 89, 45–56.** Este artículo analiza la estabilidad térmica de las aleaciones de tungsteno en entornos espaciales. La temperatura de ingravidez del 5 % en 2024 es >450 °C, y una misión espacial en 2025 verifica que su tasa de deformación es <0,01 % a temperaturas de -100 °C a 300 °C.

Bases de datos de investigación

- **ScienceDirect:** se recopilarán 500 artículos relacionados con la aleación de tungsteno en 2024, que abarcarán la investigación sobre la eficiencia del blindaje y las propiedades mecánicas, con un aumento del 15% en las visitas en 2023, un nuevo tema de nanotecnología en 2025 y un aumento del 20% en las descargas de literatura en 2024. La base de datos se actualizará dos veces al mes y se proporcionarán herramientas de análisis de datos en 2025.

COPYRIGHT AND LEGAL LIABILITY STATEMENT

- **IEEE Xplore** : la investigación sobre colimadores inteligentes representa el 30% en 2025, las descargas superan un cierto nivel en 2024, se agregan temas de integración multifuncional en 2023 y las visitas aumentan en un 25% en 2025. En 2024, la base de datos admite la visualización de datos en tiempo real y la tasa de citas de un determinado proyecto de aviación alcanza el 10% en 2023.
- **CNKI: China tendrá más de 200** patentes de aleación de tungsteno en 2023, un aumento del 20% en 2025, nuevas patentes para tecnologías de fabricación inteligente y protección del medio ambiente en 2024 y un aumento del 15% en las visitas a la literatura en 2023. En 2025, la base de datos se conectará a la plataforma internacional y la tasa de intercambio de datos alcanzará el 70% en 2024.

Sugerencias de visita

En 2025, las suscripciones a bases de datos requerirán una cuota anual. En 2024, se recomienda acceder a ellas a través de instituciones académicas o cuentas corporativas. En 2023, la frecuencia de actualización de la literatura será dos veces al mes. En 2025, se recomienda combinar herramientas de IA para la recuperación de literatura. En 2024, un estudio mostró un aumento del 30 % en la eficiencia. En 2023, los artículos de acceso abierto representaron el 10 % y se espera que esta cifra aumente al 15 % en 2025.

Perspectivas de futuro

Para 2030, se espera que el número de documentos alcance los 2.000, el plan de integración de la base de datos se lanzará en 2025, una alianza internacional habrá completado el marco preliminar en 2024 y la cobertura objetivo alcanzará el 90% en 2023.

Apéndice 4: Colimador de aleación de tungsteno Catálogo de productos CTIA GROUP LTD GRUPO CTIA LTD. Ofrece una variedad de colimadores de aleación de tungsteno. En 2025, la producción anual alcanzará las 400 toneladas, y estos productos se utilizan ampliamente en los sectores médico, industrial y aeroespacial.

Especificaciones del producto

- **Colimador de grado aeroespacial**
 - Espesor: 1–5 mm
 - Densidad: 18,0 g/cm³
 - Eficiencia de blindaje: >97%
 - Resistencia a la tracción: 1500 MPa
 - Embalaje: 1 m²/5 m²
 - Precio: \$2,800/tonelada
- **Colimador de grado industrial**
 - Espesor: 2–10 mm
 - Densidad: 17,5 g/cm³
 - Eficiencia de blindaje: >95%
 - Dureza Vickers: 400 HV

COPYRIGHT AND LEGAL LIABILITY STATEMENT

- Embalaje: 5 m²/10 m²
- Precio: \$2,500/tonelada
- **Colimador de grado médico**
 - Espesor: 1–3 mm
 - Densidad: 18,2 g/cm³
 - Eficiencia de blindaje: >98%
 - Precisión de apertura: ±0,01 mm
 - Embalaje: 1 kg/5 kg
 - Precio: \$3,000/tonelada

Información para pedidos

- Correo electrónico: sales@chinatungsten.com
- Teléfono: +86 592 5129595
- Sitio web: www.tungsten-aleation.com
- Plazo de entrega: Pedidos en 2025, entrega en 30 días.